

การรู้จำขึ้นของข้าวโดยแบบจำลองมาร์คอฟ

นางสาว ปวีณา เดิศอัมพพร

สถาบันวิทยบริการ

วิทยานิพนธ์นี้เป็นส่วนหนึ่งของการศึกษาตามหลักสูตรปริญญาวิทยาศาสตรมหาบัณฑิต

สาขาวิชาวิทยาศาสตร์คอมพิวเตอร์ ภาควิชาวิศวกรรมคอมพิวเตอร์

คณะวิศวกรรมศาสตร์ จุฬาลงกรณ์มหาวิทยาลัย

ปีการศึกษา 2545

ISBN 974-17-0852-1

ลิขสิทธิ์ของจุฬาลงกรณ์มหาวิทยาลัย

RICE GENE RECOGNITION BY MARKOV MODELS

Miss Paveena Lertampaiporn

A Thesis Submitted in Partial Fulfillment of the Requirements

for the Degree of Master of Science in Computer Science

Department of Computer Engineering

Faculty of Engineering

Chulalongkorn University

Academic Year 2002

ISBN 974-17-0852-1

หัวข้อวิทยานิพนธ์  
โดย  
สาขาวิชา  
อาจารย์ที่ปรึกษา

การรักษาอีนของข้าวโดยแบบจำลองมาრคอฟ  
นางสาวปวีณา เลิศคำไฟพร  
วิทยาศาสตร์คอมพิวเตอร์  
ผู้ช่วยศาสตราจารย์ ดร. บุญเสริม กิจศิริกุล

คณะกรรมการคุณวิศวกรรมศาสตร์ จุฬาลงกรณ์มหาวิทยาลัย อนุมัติให้นับวิทยานิพนธ์ฉบับนี้เป็นส่วน  
หนึ่งของการศึกษาตามหลักสูตรปริญญาบัณฑิต

*Nuea* ..... คณบดีคณวิศวกรรมศาสตร์  
(ศาสตราจารย์ ดร. สมศักดิ์ ปัญญาแก้ว)

คณะกรรมการสอบบัณฑิต

*ประภาส จันทร์กุลธรรม* ..... ประธานกรรมการ  
(รองศาสตราจารย์ ดร. ประภาส จันทร์กุลธรรม)

*ดร. น.* ..... อาจารย์ที่ปรึกษา  
(ผู้ช่วยศาสตราจารย์ ดร. บุญเสริม กิจศิริกุล)

*เกเรชรา ปานงาม* ..... กรรมการ  
(อาจารย์ ดร. เศรษฐา ปานงาม)

*ดร. ส.* ..... กรรมการ  
(อาจารย์ คงชัย ใจนึงกังสดาล)

## บทคัดย่อวิทยานิพนธ์

ปรีณา เลิศคำไฟพร : การรู้จำสิ่งของข้าวโดยแบบจำลองมาრ์คอฟ. (RICE GENE RECOGNITION BY MARKOV MODELS) อ.ที่ปรึกษา : ผศ. ดร.บุญเสริม กิตติริกฤต,  
จำนวนหน้า 78 หน้า. ISBN 974-17-0852-1.

ปัจจุบันเทคโนโลยีที่เกี่ยวข้องกับงานด้านดีเอ็นเอได้รับการพัฒนาให้มีประสิทธิภาพสูงขึ้น ทำให้สามารถทำงานที่เกี่ยวข้องกับสายดีเอ็นเอได้รวดเร็วมากขึ้น สิ่งที่เก็บข้อมูลเหล่านี้มีจำนวนมากขึ้นตามไปด้วย ทำให้เกิดงานวิจัยในสาขาใหม่ที่เรียกว่า ชีวสารสนเทศศาสตร์ ซึ่งเป็นสาขาที่เกี่ยวข้องกับการตีความหมายและการหาข้อมูลจากข้อมูลดีเอ็นเอที่มีจำนวนมาก ตัวอย่างของงานทางด้านชีวสารสนเทศศาสตร์ เช่น การทำนายhaarupแบบของโปรดีน การทำนายhaarupแบบของยืน เป็นต้น

วัตถุประสงค์ของวิทยานิพนธ์นี้ เพื่อพัฒนาโปรแกรมค้นหาข้าวโดยใช้มาร์คอฟโมเดลระดับ 5 โดยในขั้นตอนแรกต้องมีการเก็บรวบรวมข้อมูลสายนิวคลีโอไทด์ข้าวที่มีการหายใจเรียบร้อยแล้ว จากนั้นแบ่งข้อมูลออกเป็น 2 ส่วน โดยแบ่งเป็นข้อมูลตอน และข้อมูลทดสอบ ขั้นตอนนำข้อมูลสอน มาหาค่าพารามิเตอร์ของเมตริกซ์หนักสำหรับ จุดเริ่มต้นของยืน จุดสิ้นสุดของยืน ดอร์โนร์ และ แอคเชพเตอร์ จากนั้นหาค่าความนำจะเป็นเริ่มต้น และความนำจะเป็นในการเปลี่ยนสถานะของมาร์คอฟโมเดล และสุดท้าย ทดสอบความถูกต้องในการค้นหาข้าวของโปรแกรมโดยหาค่า sensitivity และค่า specificity ในขั้นตอนการทดสอบนั้นจะใช้ข้อมูลทดสอบจำนวน 557 ยืน จะได้ค่า Sensitivity เท่ากับ 0.775 และค่า Specificity เท่ากับ 0.81

ภาควิชา วิศวกรรมคอมพิวเตอร์  
สาขาวิชา วิทยาศาสตร์คอมพิวเตอร์  
ปีการศึกษา 2545

ลายมือชื่อนิสิต: ..... ปีก วงศ์ ไกรฤทธิ์  
ลายมือชื่ออาจารย์ที่ปรึกษา: ..... *sp*

## **AN ABSTRACT**

# # 4370385521 : MAJOR COMPUTER SCIENCE

KEY WORD: BIOINFORMATICS / GENE FINDING / MARKOV MODEL / RICE / WEIGHT MATRIX

PAVEENA LERTAMPAIPORN : RICE GENE RECOGNITION BY MARKOV MODELS,

THESIS ADVISOR: BOONSERM KIJSIRIKUL ,PhD., 78 pp. ISBN 974-17-0852-1.

In recent years, development of the technology for efficient, automated DNA sequencing has led to the accumulation of large databases of DNA and protein sequences and a new field of study known as "Bioinformatics" has begun to take shape as researchers work to interpret and draw conclusions from this wealth of new information. Some of the researches in this area include prediction of protein structure and prediction of gene structure.

The objective of this research is to develop a rice gene-finding program by using a 5<sup>th</sup> order Markov model. First, we collect datasets of annotated rice gene sequences and divide them into training and test sets. We then calculate weight matrices for start sites, stop sites, donors and acceptors. After that, we train the Markov model for finding initial probabilities and transition probabilities. Finally, we test the performance of the rice gene-finding program based on the values of sensitivity and specificity. The program was tested on the testing set containing 557 genes. The result of testing indicates that the program has 0.775 sensitivity and 0.81 specificity.

Department Computer Engineering  
Field of study Computer Science  
Academic year 2002

Student's signature..... ปีเตา เรืองอรุณ  
Advisor's signature..... *bon bu*

## กิตติกรรมประกาศ

ผู้ช่วย  
ศาสตราจารย์ ดร.บุญเสริม กิจศิริกุล อาจารย์ที่ปรึกษาวิทยานิพนธ์ ซึ่งท่านได้สละเวลาในการให้คำปรึกษาและคำแนะนำ ตลอดจนช่วยตรวจแก้ไขวิทยานิพนธ์ด้วยความเอาใจใส่อย่างดีเยี่ยม ผู้วิจัย  
ขอขอบขอนับพระคุณในความกรุณาเป็นอย่างสูง

ขอขอบพระคุณ รองศาสตราจารย์ นพ. ประสิทธิ์ ผลิตผลการพิมพ์ ศูนย์พัฒนา  
วิศวกรรมและเทคโนโลยีชีวภาพแห่งชาติ ที่ท่านได้ให้คำแนะนำและคำปรึกษา

ขอขอบพระคุณ ผู้ช่วยศาสตราจารย์ ดร. สมจารี บริยานนท์ คณะพาณิชยศาสตร์  
และการบัญชี ภาควิชาสถิติ ที่ท่านได้ให้คำแนะนำและ ความช่วยเหลือในการทำวิทยานิพนธ์

ขอขอบพระคุณ ดร. ชิน ธรรมรงค์ธรรม ศูนย์พัฒนาวิศวกรรมและเทคโนโลยีชีวภาพ  
แห่งชาติ ที่ท่านได้ให้ข้อมูล และเอกสารที่ใช้ในการทำวิทยานิพนธ์

ท้ายนี้ผู้วิจัยได้ขอขอบพระคุณ บิดามารดา รวมถึงทุกคนในครอบครัวที่  
ให้การสนับสนุนและกำลังใจแก่ผู้วิจัยเสมอมาจนสำเร็จการศึกษา

**สถาบันวิทยบริการ  
จุฬาลงกรณ์มหาวิทยาลัย**

# สารบัญ

หน้า

|                         |   |
|-------------------------|---|
| บทคัดย่อภาษาไทย.....    | ๑ |
| บทคัดย่อภาษาอังกฤษ..... | ๒ |
| กิตติกรรมประกาศ.....    | ๓ |
| สารบัญ.....             | ๔ |
| สารบัญตาราง.....        | ๘ |
| สารบัญภาพ.....          | ๙ |

## บทที่

|  |    |
|--|----|
| 1. บทนำ.....   | ๑  |
| ความเป็นมาและความสำคัญของปัญหา.....                              | ๑  |
| วัตถุประสงค์.....  | ๓  |
| ขอบเขตการวิจัย.....  | ๓  |
| ขั้นตอนการดำเนินการวิจัย.....                                    | ๔  |
| ประโยชน์ที่คาดว่าจะได้รับ.....                                   | ๔  |
| 2. ความรู้พื้นฐานเกี่ยวกับพันธุศาสตร์ไมโครกลและมาร์คอฟโมเดล..... | ๕  |
| พันธุศาสตร์ไมโครกล.....  | ๕  |
| มาร์คอฟโมเดล.....  | ๑๒ |
| งานวิจัยที่เกี่ยวข้อง.....                                       | ๑๓ |
| 3. ขั้นตอนวิธีในการดำเนินการวิจัย.....                           | ๑๔ |
| การเก็บข้อมูลสอนและข้อมูลทดสอบ.....                              | ๒๑ |
| วิธีที่ใช้ในการค้นหายืน.....                                     | ๒๒ |
| การนำเสนอที่เกี่ยวข้องกับการควบคุมการแสดงออกของยืน.....          | ๒๓ |
| การหาคุณสมบัติทางสถิติของลำดับเบสในสายดีเอ็นเอ.....              | ๒๖ |
| ขั้นตอนของการค้นหายืน.....                                       | ๓๐ |

## สารบัญ (ต่อ)

บทที่

หน้า

|   |    |
|---|----|
| การพัฒนาโปรแกรม .....   | 36 |
| วิธีการทดสอบของโปรแกรม .....  | 37 |
| 4 ผลการทดลอง .....  | 39 |
| ผลที่ได้จากการหาค่าพารามิเตอร์ของโปรแกรม .....                        | 39 |
| ผลที่ได้จากการหาค่าทางสถิติของโคดอนในสายนิวคลีโอไทด์ข้าว .....        | 46 |
| ผลการทดสอบโปรแกรม .....   | 52 |
| 5 สรุปผลการวิจัย .....  | 55 |
| สรุปผลการวิจัย .....  | 55 |
| ปัญหาและข้อจำกัดที่ได้พบจากการวิจัย .....                             | 56 |
| ข้อเสนอแนะ .....  | 57 |
| รายการอ้างอิง .....   | 58 |
| ภาคผนวก   |    |
| ภาคผนวก ก ข้อมูลสอน .....   | 59 |
| ภาคผนวก ข ข้อมูลความถี่ของเบสรอบปริมาณต่างๆ และ เมตริกซ์น้ำหนัก ..... | 67 |
| ภาคผนวก ค โปรแกรมค้นหารายีนข้าว .....                                 | 73 |
| ภาคผนวก ง รูปแบบ FASTA .....  | 76 |
| ประวัติผู้เขียนวิทยานิพนธ์ .....                                      | 78 |

## สารบัญตาราง

ตาราง

หน้า

|  |    |
|--|----|
| ตารางที่ 2.1 ค่าความน่าจะเป็นในการเปลี่ยนสถานะของไมเดลบาง                          | 17 |
| ตารางที่ 2.2 ค่าความน่าจะเป็นในการเปลี่ยนสถานะของไมเดลลบ                           | 17 |
| ตารางที่ 2.3 ค่าลอกการวิ่งที่ใช้ในการแยกแยะหรือจัดประเภทข้อมูล                     | 18 |
| ตารางที่ 4.1 ความถี่ของโอดอนทั้ง 64 โอดอน ในสายนิวคลีโอไทด์ข้าวที่ใช้เป็นข้อมูลสอน | 47 |
| ตารางที่ 4.2 แสดงผลการทดสอบโปรแกรม   | 53 |
| ตารางที่ 4.3 ผลการนำโปรแกรมขยายอินตัวอื่นมาทดสอบหายน์ในสายนิวคลีโอไทด์ข้าว         | 54 |
| ตารางที่ ข.1 ความถี่ของการพบเบสรอบจุดเริ่มต้นของยืน                                | 67 |
| ตารางที่ ข.2 เมตริกซ์น้ำหนักของจุดเริ่มต้นของยืน                                   | 68 |
| ตารางที่ ข.3 ความถี่ของการพบเบสรอบจุดสิ้นสุดของยืน                                 | 69 |
| ตารางที่ ข.4 เมตริกซ์น้ำหนักของจุดสิ้นสุดของยืน                                    | 69 |
| ตารางที่ ข.5 ความถี่ของการพบเบสรอบดอร์เนอร์  | 70 |
| ตารางที่ ข.6 เมตริกซ์น้ำหนักของดอร์เนอร์   | 70 |
| ตารางที่ ข.7 ความถี่ของการพบเบสรอบแอคเชปเตอร์                                      | 71 |
| ตารางที่ ข.8 เมตริกซ์น้ำหนักของแอคเชปเตอร์   | 72 |



# สารบัญภาพ

## ภาพประกอบ

หน้า

|   |    |
|---|----|
| รูปที่ 2.1 โครงสร้างของดีเอ็นเอ .....   | 6  |
| รูปที่ 2.2 ลักษณะอาร์เอ็นเอ .....   | 8  |
| รูปที่ 2.3 รหัสทางพันธุกรรมหรือโคดอน .....  | 9  |
| รูปที่ 2.4 ยีน .....  | 10 |
| รูปที่ 2.5 เอ็กซอน .....  | 11 |
| รูปที่ 2.6 มาρ์คอฟไม่เดลของสายดีเอ็นเอ .....                                      | 14 |
| รูปที่ 2.7 มาρ์คอฟไม่เดล ของสายดีเอ็นเอหลังจากเพิ่มจุดเริ่มต้นและจุดสุดท้าย ..... | 16 |
| รูปที่ 3.1 วิธีการค้นหาบริเวณที่ไม่ใช่จุดเริ่มต้นของยีน .....                     | 23 |
| รูปที่ 3.2 วิธีการค้นหาบริเวณที่ไม่ใช่จุดสิ้นสุดของยีน .....                      | 24 |
| รูปที่ 3.3 วิธีการค้นหาบริเวณที่ไม่ใช่ดอร์โนอร์ของยีน .....                       | 25 |
| รูปที่ 3.4 วิธีการค้นหาบริเวณที่ไม่ใช่แอคเชพเตอร์ของยีน .....                     | 25 |
| รูปที่ 3.5 แบบจำลองภาพรวมหั้งหมด .....  | 26 |
| รูปที่ 3.6 ไม่เดลส่วนที่เป็นยีน .....   | 27 |
| รูปที่ 3.7 แสดงการอ่านสายนิวคลีโอไทด์ 3 แบบ .....                                 | 28 |
| รูปที่ 3.8 ไม่เดลเอ็กซอนที่มีการทำหนาตามตำแหน่งของโคดอน .....                     | 28 |
| รูปที่ 3.9 วิธีคำนวณหาความน่าจะเป็นของมาρ์คอฟไม่เดลระดับที่ 5 .....               | 29 |
| รูปที่ 3.10 การคิด Reading Frame และ Remainder ของเอ็กซอนแรก .....                | 31 |
| รูปที่ 3.11 การคิด Reading Frame และ Remainder ของเอ็กซอนกลาง .....               | 32 |
| รูปที่ 3.12 การคิด Reading Frame และ Remainder ของเอ็กซอนสุดท้าย .....            | 32 |
| รูปที่ 3.13 การคิด Reading Frame และ Remainder ของเอ็กซอนเดียว .....              | 33 |
| รูปที่ 3.14 ขั้นตอนวิธีการค้นหา_yin .....   | 35 |
| รูปที่ 3.15 ผลที่ได้จากการไปร์แกรม .....  | 36 |
| รูปที่ 3.16 แสดงบริเวณที่เป็น TP TN FP และ FN .....                               | 37 |
| รูปที่ 4.1 ความถี่ของเบสรอบ ๆ ATG ที่เป็นจุดเริ่มต้นของยีน .....                  | 39 |
| รูปที่ 4.2 ความถี่ของเบสรอบ ๆ ATG ที่ไม่ใช่จุดเริ่มต้นของยีน .....                | 40 |
| รูปที่ 4.3 ความถี่ของเบสรอบ ๆ TAA TGA หรือ TAG ที่เป็นจุดสิ้นสุดของยีน .....      | 41 |
| รูปที่ 4.4 ความถี่ของเบสรอบ ๆ TAA TGA หรือ TAG ที่ไม่ใช่จุดสิ้นสุดของยีน .....    | 41 |

|   |    |
|---|----|
| รูปที่ 4.5 ความถี่ของเบสระหง่านตำแหน่งที่ -3 ถึง 5 รอบๆ GT ที่เป็นดอร์เนอร์ของยีน.....    | 42 |
| รูปที่ 4.6 ความถี่ของเบสระหง่านตำแหน่งที่ -3 ถึง 5 รอบๆ GT ที่ไม่ใช่ดอร์เนอร์ของยีน.....  | 42 |
| รูปที่ 4.7 ความถี่ของเบสระหง่านตำแหน่งที่ -22 ถึง 1 รอบๆ แอกเซพเตอร์ของยีน.....           | 43 |
| รูปที่ 4.8 ความถี่ของเบสระหง่านตำแหน่งที่ -22 ถึง 1 รอบๆ AG ที่ไม่ใช่แอกเซพเตอร์ของยีน 43 | 43 |
| รูปที่ 4.9 ชีเคนโลโก้แสดงจุดเริ่มต้นของยีนข้าว (ATG).....                                 | 44 |
| รูปที่ 4.10 ชีเคนโลโก้แสดงจุดสิ้นสุดของยีนข้าว (TAG TAA และ TGA).....                     | 45 |
| รูปที่ 4.11 ชีเคนโลโก้แสดงดอร์เนอร์ของยีนข้าว (GT).....                                   | 45 |
| รูปที่ 4.12 ชีเคนโลโก้แสดงแอกเซพเตอร์ของยีนข้าว (AG).....                                 | 46 |
| รูปที่ 4.13 ความถี่ของการดอมิโนชนิดต่างๆ ในยีนข้าว.....                                   | 48 |
| รูปที่ 4.14 เปรียบเทียบการพบรกรดอะมิโนในยีนข้าว กับยีนมนุษย์.....                         | 49 |
| รูปที่ 4.15 เปรียบเทียบการพบรกรดอะมิโนในยีนข้าว กับยีนแบคทีเรีย E.coli.....               | 49 |
| รูปที่ 4.16 เปรียบเทียบการพบรกรดอะมิโนในยีนข้าว กับยีนแมลงวันผลไม้.....                   | 50 |
| รูปที่ 4.17 เปรียบเทียบการพบรกรดอะมิโนในยีนข้าว กับยีนหนู.....                            | 50 |
| รูปที่ 4.18 เปรียบเทียบการพบรกรดอะมิโนในยีนข้าว กับยีนพืชขนาดเล็กชนิดหนึ่ง.....           | 51 |
| รูปที่ 4.19 เปรียบเทียบการพบรกรดอะมิโนในยีนข้าว กับ สิ่งมีชีวิตชนิดต่างๆ.....             | 51 |
| รูปที่ ค.1 โปรแกรมค้นหา yin-xaa.....  | 73 |
| รูปที่ ค.2 การนำข้อมูลเข้าสู่โปรแกรม.....   | 74 |
| รูปที่ ค.3 การแสดงผลลัพธ์ของโปรแกรม.....  | 75 |
| รูปที่ ง.1 ตัวอย่าง FASTA format.....   | 76 |

## บทที่ 1

### บทนำ

#### ความเป็นมาและความสำคัญของปัจจุบัน

ปัจจุบันพัฒนาการทางคณิตศาสตร์และอินเตอร์เน็ตได้รับการพัฒนาจนก้าวหน้าไปไกลมาก ทำให้มีขีดความสามารถในการประมวลผลข้อมูลสูงขึ้นกว่าเดิม จากประสิทธิภาพที่ดีขึ้นมาก ของคณิตศาสตร์ ประจำบกบการสร้างเครื่องมือเพื่อศึกษาสิ่งมีชีวิตในระดับโมเลกุลได้มากขึ้น การพัฒนาศาสตร์ทางด้านคณิตศาสตร์กับชีววิทยาจึงเกิดขึ้น โดยเฉพาะอย่างยิ่งการถอดรหัสพันธุกรรม ซึ่งมีข้อมูลทางพันธุกรรมมากมายที่จะต้องถอดรหัส และต้องใช้ขีดความสามารถเชิงการคำนวณและเทคโนโลยีที่สูงตามด้วย ข้อมูลทางพันธุกรรมและการขยายวิธีการที่เกี่ยวกับการประมวลผล จึงเป็นที่มาของศาสตร์แขนงใหม่ที่กำลังได้รับความสนใจ และจะเป็นประโยชน์ต่อมนุษย์อย่างมาก คือ ชีวสารสนเทศศาสตร์ (Bioinformatics)

ชีวสารสนเทศศาสตร์เป็นการนำสารสนเทศมาประยุกต์ใช้เพื่อจัดการกับข้อมูลทางชีวภาพ และเนื่องจากฐานข้อมูลทางชีวภาพมีการขยายตัวอย่างต่อเนื่องและรวดเร็ว ดังนั้นนักวิทยาศาสตร์และนักวิจัยจึงหันมาสนใจพัฒนาที่จะต้องพึงพาคณิตศาสตร์และเทคโนโลยีสารสนเทศเพื่อให้ตามทันข้อมูลที่มีการเติบโตและเปลี่ยนแปลงอย่างรวดเร็ว การวิจัยด้านไบโอบอร์เมดิกสมิหลาส่วนนับดึงแต่การค้นหาข้อมูล การใช้ฐานข้อมูลชีวภาพที่มีให้บริการทางอินเตอร์เน็ต การวิเคราะห์ลำดับนิวคลีโอไทด์ (Nucleotide) ของดีเอ็นเอ (DNA) หรืออาร์เอ็นเอ (RNA) หรือลำดับกรดอะมิโนของโปรตีนที่ได้จากการทดลอง การพยากรณ์ลำดับนิวคลีโอไทด์หรือกรดอะมิโนในสั่นง่ายจะเป็นยืนยันว่ามีการแสดงออกอย่างไร หรือมีบทบาทหน้าที่ในสิ่งมีชีวิตอย่างไร การศึกษาโครงสร้าง 3 มิติ ซึ่งรวมไปถึงการศึกษาสิ่งคุณสมบัติทางด้านกายภาพและชีวภาพของโครงสร้างต่างๆ ด้วย

นักวิทยาศาสตร์ในหลายประเทศให้ความสำคัญกับการทำวิจัยที่เกี่ยวข้องกับโครงการทางด้านการถอดรหัสพันธุกรรมของสิ่งมีชีวิตต่างๆ ตัวอย่างที่เห็นได้ชัด เช่น โครงการมนุษย์ในมี (Human Genome Project - HGP) เป็นโครงการระหว่างประเทศที่ร่วมมือกันทำงานหลายองค์กรโดยใช้เงินลงทุนจำนวนมาก ใช้นักวิทยาศาสตร์ นักชีววิทยา นักคณิตศาสตร์ นักศึกษา และวิเคราะห์ โดยช่วยกันจัดทำข้อมูลสายรหัสพันธุกรรม และระบบเก็บเป็นฐานข้อมูลกลางที่เรียกว่า genomics หรือดาวน์โหลดมาปรับปรุงข้อมูลและใช้ร่วมกัน สำหรับรหัสพันธุกรรมนี้ เป็นเครื่องที่สำคัญและจะให้ประโยชน์แก่ mankind ชาติมหาศาลา

## บทที่ 1

### บทนำ

#### ความเป็นมาและความสำคัญของปัจจุบัน

ปัจจุบันพัฒนาการทางคณิตศาสตร์และอินเตอร์เน็ตได้รับการพัฒนาจนก้าวหน้าไปไกลมาก ทำให้มีขีดความสามารถในการประมวลผลข้อมูลสูงขึ้นกว่าเดิม จากประสิทธิภาพที่ดีขึ้นมาก ของคณิตศาสตร์ ประจวบกับการสร้างเครื่องมือเพื่อศึกษาสิ่งมีชีวิตในระดับโมเลกุลได้มากขึ้น การพัฒนาศาสตร์ทางด้านคณิตศาสตร์กับชีววิทยาจึงเกิดขึ้น โดยเฉพาะอย่างยิ่งการถอดรหัสพันธุกรรม ซึ่งมีข้อมูลทางพันธุกรรมมากมายที่จะต้องถอดรหัส และต้องใช้ขีดความสามารถเชิงการคำนวณและเทคนิคที่สูงตามด้วย ข้อมูลทางพันธุกรรมและการขยายวิธีการที่เกี่ยวกับการประมวลผล จึงเป็นที่มาของศาสตร์แขนงใหม่ที่กำลังได้รับความสนใจ และจะเป็นประโยชน์ต่อมนุษย์อย่างมาก คือ ชีวสารสนเทศศาสตร์ (Bioinformatics)

ชีวสารสนเทศศาสตร์เป็นการนำสารสนเทศมาประยุกต์ใช้เพื่อจัดการกับข้อมูลทางชีวภาพ และเนื่องจากฐานข้อมูลทางชีวภาพมีการขยายตัวอย่างต่อเนื่องและรวดเร็ว ดังนั้นนักวิทยาศาสตร์และนักวิจัยจึงหนีไม่พ้นที่จะต้องพึ่งพาคณิตศาสตร์และเทคโนโลยีสารสนเทศเพื่อให้ตามทันข้อมูลที่มีการเติบโตและเปลี่ยนแปลงอย่างรวดเร็ว การวิจัยด้านไบโอดิจิทัลส่วนใหญ่ นับด้วยแต่การค้นหาข้อมูล การใช้ฐานข้อมูลชีวภาพที่มีให้บริการทางอินเตอร์เน็ต การวิเคราะห์ลำดับนิวคลีโอไทด์ (Nucleotide) ของดีเอ็นเอ (DNA) หรืออาร์เอ็นเอ (RNA) หรือลำดับกรดอะมิโนของโปรตีนที่ได้จากการทดสอบ การพยากรณ์ลำดับนิวคลีโอไทด์หรือกรดอะมิโนนี้ ว่าจะเป็นยืนยันว่ามีการแสดงออกอย่างไร หรือเป็นบทบาทหน้าที่ในสิ่งมีชีวิตอย่างไร การศึกษาโครงสร้าง 3 มิติ ซึ่งรวมไปถึงการศึกษาถึงคุณสมบัติทางด้านกายภาพและชีวภาพของโครงสร้างต่างๆ ด้วย

นักวิทยาศาสตร์ในหลายประเทศให้ความสำคัญกับการทำวิจัยที่เกี่ยวข้องกับโครงการทางด้านการถอดรหัสพันธุกรรมของสิ่งมีชีวิตต่างๆ ตัวอย่างที่เห็นได้ชัด เช่น โครงการเขียวเมจิก (Human Genome Project - HGP) เป็นโครงการระหว่างประเทศที่ร่วมมือกันทำงานหลายองค์กรโดยใช้เงินลงทุนจำนวนมาก ใช้นักวิทยาศาสตร์ นักชีววิทยา นักคณิตศาสตร์ มาร่วมกันศึกษาและวิเคราะห์ โดยช่วยกันจัดทำข้อมูลสายรหัสพันธุกรรม และทราบเม็ดเป็นฐานข้อมูลกลางที่เรียกว่า ชีวะดีเอ็นเอ ให้สามารถนำไปปรับปรุงข้อมูลและใช้ร่วมกัน การทำวิจัยนี้เป็นเรื่องที่สำคัญและจะให้ประโยชน์แก่มวลมนุษย์ชาติมหาศาล เพราะรหัสพันธุกรรมที่ได้จะเกี่ยวข้องกับ

การรู้ถึงการเกิดโรคต่างๆ เกี่ยวกับการผลิตยาไว้กษาโรค การปรับปรุงพันธุ์ การศึกนิ่งตลอดจนการใช้ประโยชน์ในเรื่องการสร้างอาหารและปัจจัยสื่อฯ แต่เนื่องจากในงานถอดรหัสพันธุกรรมจะต้องเกี่ยวข้องกับการอ่านสายรหัสที่มีแต่ลำดับเบสที่แทนด้วยตัวอักษร A T G C จำนวนยาวมากๆ และการแปลความหมายของสายรหัส ซึ่งเป็นงานที่เกี่ยวข้องกับข้อมูลที่มีขนาดใหญ่มาก แต่ต้องใช้เวลานาน จึงเลี่ยงไม่ได้ที่นักวิจัยจะต้องนำเทคโนโลยีทางด้านการจัดการและระบบคอมพิวเตอร์ที่ใช้ในการจัดการข้อมูลเข้ามาช่วย เพื่อให้การดำเนินการต่างๆ เป็นไปแบบอัตโนมัติมากขึ้น และมีความนำไปสู่สูงขึ้น

ในการวิจัยทางด้านการถอดรหัสพันธุกรรมนั้น นักวิจัยจะเริ่มจากการนำสายรหัสมาหาขอบเขตของยีนที่มีอยู่ในสายรหัสนั้นๆ แล้วจึงนำยีนที่ได้ไปหาขอบเขตของเอ็กซอน (Exon) และอินทรอน (intron) อีกทั้งจำนวนของเอ็กซอน และ อินทรอน ที่มีในขอบเขตของยีนนั้นๆ แล้วจึงนำยีนที่ตัดอินทรอนออกแล้วไปอ่านแล้วแปลงออกมานเป็นรหัสโปรตีน ซึ่งจากสายโปรตีนที่ได้นี้ นักวิจัยจะนำไปเป็นว่าสายโปรตีนเส้นนี้มีการแสดงออกอย่างไร หรือมีบทบาทหน้าที่อย่างไรในสิ่งมีชีวิต

สำหรับขั้นตอนที่ถ่ายทอดมาจากสำหรับนักวิจัยในการถอดรหัสพันธุกรรม ก็คือ การค้นหาขอบเขตยีน (Gene Finding) สาเหตุที่การค้นหา\_yein ในสายนิวเคลียต์ด้วยถ่ายทอดมาจากลักษณะสำคัญ 2 ประการของยีน ประการแรก ก็เนื่องมาจากวิธีที่ในสายนิวเคลียต์ด้วยถัดนั้นสามารถมียีนอยู่ในสายนี้จำนวนเท่าไหร่ได้ และไม่รู้ว่า ณ ตำแหน่งใดจะเป็นตำแหน่งเริ่มต้นของยีน และ ณ ตำแหน่งใดจะเป็นตำแหน่งสิ้นสุดของยีน และไม่รู้จำนวนที่เปลี่ยนของยีนในสายนิวเคลียต์ด้วย ความถูกต้องของวิธีที่สอง ก็เดียวจากลักษณะเฉพาะของยีนในสิ่งมีชีวิต (Eukaryote) หรือยีนในสัตว์หรือพืชชั้นสูงนั้น ภายในยีนยังประกอบไปด้วยเอ็กซอน และอินทรอน ซึ่งไม่รู้จำนวนว่ามีจำนวนเอ็กซอน และ อินทรอนจำนวนเท่าไร และไม่รู้ขนาดความยาวที่แน่นอนอีกด้วย กัน จากปัญหาความถูกต้องที่กล่าวมาแล้วจึงทำให้เกิดการพัฒนาโปรแกรมคอมพิวเตอร์ที่จะช่วยอำนวยความสะดวกให้กับนักวิจัยในค้นหาขอบเขตของยีน และขอบเขตของเอ็กซอน และ อินทรอน เนื่องจากคอมพิวเตอร์สามารถจะทำงานที่ถูกต้องและนำไปใช้ในงานค้นหาขอบเขตของสิ่งมีชีวิตที่แตกต่างกัน เช่น GeneMark (Borodovsky and McIninch, 1993) Glimmer (Salzberg, Pertea, Delcher, Gardner, and Tettelin, 1999) Pombe (Chan and Zhang, 1998) และ โปรแกรมอื่นๆ โปรแกรมเหล่านี้พัฒนาขึ้นโดยมีวัตถุประสงค์หลักในการค้นหาขอบเขตยีนของสิ่งมีชีวิตที่แตกต่างกัน เช่น Glimmer จะใช้ค้นหา\_yein ในสายนิวเคลียต์ด้วยถัดนั้นของสิ่งมีชีวิตจำพวกแบคทีเรีย Genie จะใช้ค้นหา\_yein ในสายนิวเคลียต์ด้วยถัดนั้นของสิ่งมีชีวิตสัมภพ GRAIL จะ

ใช้คันหนายืนในสายนิวคลีโอไทด์ของมนุษย์ท่านนั้น ส่วน Pombe ถูกพัฒนาขึ้นเพื่อใช้คันหนายืนในสายนิวคลีโอไทด์ของยีสต์โดยเฉพาะ โปรแกรมที่ช่วยค้นหาขอบเขตของยีนนี้ ส่วนมากถูกพัฒนาขึ้นโดยใช้ข้อมูลสายนิวคลีโอไทด์ของมนุษย์และสัตว์มีกระดูกสันหลังมาเป็นข้อมูลในการที่จะให้โปรแกรมเรียนรู้ในการคันหนายืน สำหรับวิธีการหรือเทคนิคที่ใช้ในการพัฒนาโปรแกรมจะแตกต่างกันไป ตัวอย่างของเทคนิคที่ใช้กัน เช่น ปัจจุบันเน็ตเวิร์ก (Neural Network) มาร์คคอฟโมเดล (Markov chain model) ฮิดเดนมาร์คคอฟโมเดล (Hidden Markov Model-HMM) ต้นไม้ตัดสินใจ (Decision Tree) การแก้ปัญหาโดยอาศัยกฎ (Rule-Based) การวิเคราะห์จำแนกประเภทแบบเส้นตรง (Linear Discriminant Analysis) และฟังก์ชันแยกประเภทแบบยกกำลังสอง (Quadratic Discriminant Function)

จากปัญหาและความจำเป็นที่กล่าวมาแล้วจึงทำให้เกิดวิทยานิพนธ์ ซึ่งมีวัตถุประสงค์ เพื่อพัฒนาโปรแกรมที่ช่วยในการค้นหาขอบเขตยีนในสายนิวคลีโอไทด์ของข้าว ขอบเขตของ เอ็กซอน และ อินทรอน ที่อยู่ภายใต้ยีนข้าว โดยจะใช้ข้อมูลสายนิวคลีโอไทด์ข้าวที่มีการหายใจ แล้ว มาเป็นข้อมูลสอน (Training Set) ที่ใช้ในการให้โปรแกรมเรียนรู้ สำหรับสาเหตุที่ต้องการ พัฒนาโปรแกรมที่เน้นหายืนเฉพาะในสายนิวคลีโอไทด์ของข้าว ก็เนื่องมาจากประเทศไทยเป็น ประเทศเกษตรกรรม มีการส่งออกข้าวเป็นสินค้านำลัก ดังนั้นข้าวจึงเป็นพืชเศรษฐกิจที่สำคัญมาก ของประเทศไทยและข้าวที่ยังเป็นอาหารหลักของมนุษย์เกือบ 3 พันล้านคนทั่วโลก

## วัตถุประสงค์

เพื่อพัฒนาโปรแกรมที่ใช้ในการคันหนายืนในสายนิวคลีโอไทด์ข้าว

## ขอบเขตการวิจัย

1. ใช้ข้อมูลสายนิวคลีโอไทด์ข้าวในฐานข้อมูลทางชีวภาพที่มีให้บริการในอินเตอร์เน็ต เป็นข้อมูลสอน
2. ค้นหาขอบเขตของยีนข้าว เอ็กซอน และ อินทรอน ที่อยู่ภายใต้ยีนข้าว
3. พัฒนาโปรแกรมที่ใช้คันหนายืนข้าวในสายนิวคลีโอไทด์ข้าว ที่สามารถใช้บนเครื่องคอมพิวเตอร์ส่วนบุคคล

## ขั้นตอนการดำเนินการวิจัย

1. ศึกษาและหาข้อมูลเกี่ยวกับเรื่องยีนและโครโมโซม
2. หาข้อมูลเกี่ยวกับยีนเข้าว่า
3. ศึกษาวิธีการอ่านข้อมูลสายนิวเคลียสจากฐานข้อมูลที่มีในอินเตอร์เน็ตและเครื่องมือสแกนนิวเคลียสไทยเข้าว่าที่จะใช้

4. ศึกษาวิธีการหรือทฤษฎีที่จำเป็นต้องรู้ในการพัฒนาโปรแกรม
5. กำหนดขอบเขตของการวิจัย
6. ศึกษางานวิจัยที่เกี่ยวข้อง
7. ออกแบบและพัฒนาโปรแกรม
8. ทดสอบและแก้ไขโปรแกรม
9. สรุปผลการวิจัย และ เรียบเรียงวิทยานิพนธ์

## ประโยชน์ที่คาดว่าจะได้รับ

1. สามารถช่วยนักวิจัยที่ทำงานด้านยีนเข้าว่าในการหา\_yinเข้าว่าและอีกช้อนอินทรอนในสายนิวเคลียสไทยของเข้าว่า
2. ได้โปรแกรมที่ทำงานในการค้นหา\_yinที่เฉพาะเจาะจงกับยีนเข้าว่าเท่านั้น
3. ได้โปรแกรมที่ผ่านการเรียนรู้ข้อมูลที่เป็น\_xxxข้อมูลนิวเคลียสไทยของยีนเข้าว่าโดยเฉพาะ

## บทที่ 2

### ความรู้พื้นฐานเกี่ยวกับพันธุศาสตร์โนโลหะและมาร์คอฟโมเดล

#### พันธุศาสตร์โนโลหะ

โครโนโซม (Chromosome) คือส่วนประกอบในนิวเคลียส (nucleus) ของเซลล์ ซึ่งมียีน (Gene) เป็นจำนวนมากหลายอยู่ โครโนโซมนั้นประกอบด้วยเส้นใยบางๆ ของสารนิวคลีอิโพรตีน หรือที่เรียกว่า เส้นไยโครมาติน โครมาตินนี้ประกอบด้วยโนโลหะของดีเอ็นเอและโปรตีน ดีเอ็นเอก็เป็นกรดนิวคลีอิกชนิดหนึ่งพบมากในนิวเคลียส ต่างกับอาร์เอ็นเอซึ่งเป็นกรดนิวคลีอิกอีกชนิดที่ใกล้เคียงดีเอ็นเอมาก แต่จะพบมากในไซโตพลาสซึม

#### 1. จีโนม (Genome)

จีโนม หมายถึง ส่วนประกอบที่เกี่ยวข้องกับการถ่ายทอดทางพันธุกรรมที่มีอยู่ในโครโนโซมทั้งหมดของสิ่งมีชีวิตชนิดใดชนิดหนึ่ง และโดยหน้าที่ยังหมายถึงชุดคำสั่งหรือวิธีการทั้งหมดที่ใช้ในการสร้างและดำเนินชีวิต แบ่งเป็นเส้นอนพิมพ์เขียวสำหรับการสร้างโครงสร้างของเซลล์ทุกเซลล์ พร้อมด้วยกิจกรรมที่เซลล์แต่ละเซลล์ต้องทำตั้งแต่เกิดจนตาย

จีโนมอยู่บนดีเอ็นเอและโนโลหะของดีเอ็นเอกับตัวอยู่กับโนโลหะของโปรตีนในอัตราส่วนเท่าๆ กัน ประกอบกันขึ้นเป็น โครโนโซม ซึ่งโครโนโซมจะอยู่ภายในนิวเคลียสของเซลล์

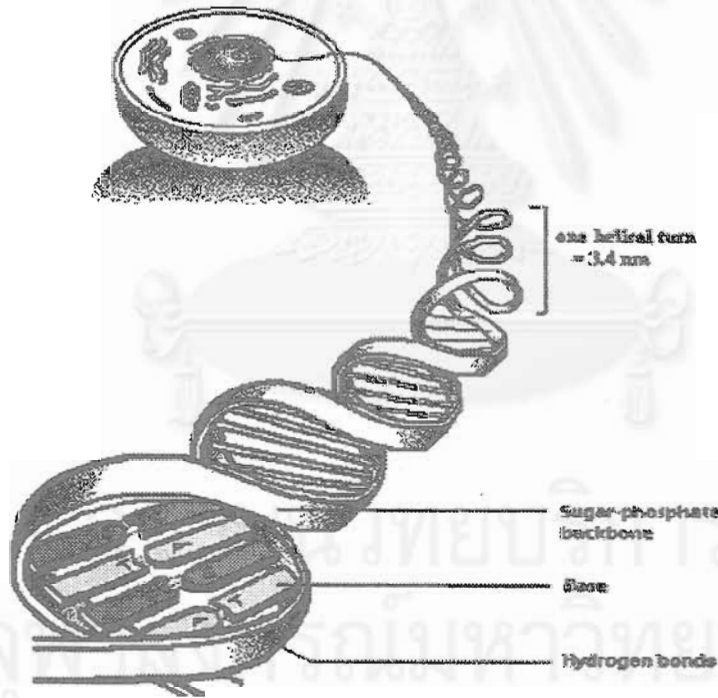
ในมนุษย์นอกจากเซลล์เม็ดเลือดแดงที่ไม่มีนิวเคลียสแล้ว เซลล์อื่นๆ จะมีโครโนโซมอยู่ภายในทั้งสิ้น โดยปกติมีจำนวน 46 โครโนโซม จำนวนโครโนโซมของสิ่งมีชีวิตจะเป็นจำนวนเลขคู่ เช่น 0 เพว่าได้จากการสมพันธุ์ของพ่อและแม่อย่างตะคริว เราสามารถจัดโครโนโซมที่มีลักษณะเหมือนกันแต่มาจากพ่อและแม่เป็นคู่ได้ จึงนิยมกล่าวถึงจำนวนโครโนโซมเป็นจำนวนคู่ โครโนโซมของมนุษย์มีจำนวน 23 คู่ สิ่งมีชีวิตแต่ละชนิดมีจำนวนโครโนโซมที่แน่นอน สิ่งมีชีวิตต่างชนิดกันมักจะมีจำนวนโครโนโซมไม่เท่ากัน

#### 2. โนโลหะดีเอ็นเอ (DNA)

โนโลหะของดีเอ็นเอที่อยู่บนโครโนโซมนี้ความยาวมาก เมื่ออยู่ในโครโนโซมจึงอยู่ในลักษณะที่ขนาดเข้าด้วยกัน แต่ละโนโลหะของดีเอ็นเอแบ่งออกเป็นหน่วยย่อย ๆ เรียกว่า นิวคลีอิโคเทตดียูนิต (nucleotide unit) ซึ่งประกอบไปด้วยหมู่ฟอสฟेट น้ำตาลดีอฟอซีโรเบส

(deoxyribose) และสารประกอบในตัวเจนที่เรียกว่า นิวคลีอิโกร์ด (nucleotides) นิวคลีอิโกร์ดที่จับตัวกันอยู่บนดีเอ็นเอนี้เรียกว่า เบส (base) เบสในดีเอ็นเอมีเพียง 4 ชนิดได้แก่ กัวนีน (guanine) ไซโตซีน (cytosine) ไทมีน (thymine) และอะดีโนน (adenine) นิยมเรียกย่อ ๆ ว่า G C T และ A ตามลำดับ ดีเอ็นเอมีลักษณะเป็นเส้นนิวคลีอิโกร์ด 2 เส้นพันกันแบบเชือกพื้น บางครั้ง จึงนิยมเรียกไม่เลกุลของดีเอ็นเอว่า เชือกดีเอ็นเอ (DNA strand) เส้นนิวคลีอิโกร์ดเกิดจากการจับตัวกันของเบสกับน้ำตาลดีออกซีโรบส์ น้ำตาลดีอักซีโรบส์จะจับหมู่ฟอสเฟต หมู่ฟอสเฟตจับกับน้ำตาลดีอักซีโรบส์ แล้วน้ำตาลดีอักซีโรบส์ก็จับเบสอีก เป็นเช่นนี้เรื่อยไปแบบลูกลิ่ว ส่วนการเกิดเป็นเส้นคู่นั้น เมื่อจากเบสของเส้นหนึ่งจับกับเบสของอีกเส้นหนึ่งด้วยไฮดรเจนบอนด์ โดยที่กัวนีน (หรือ G) จับคู่กับ ไซโตซีน (หรือ C) และ อะดีโนน (หรือ A) จับคู่กับ ไทมีน (หรือ T) แต่ละคู่นี้เรียกว่า คู่เบส (base pair) เป็นคู่ที่แน่นอน ไม่มีการสับคู่ ดังแสดงในรูปที่ 2.1

### THE STRUCTURE OF DNA



รูปที่ 2.1 โครงสร้างของดีเอ็นเอ

การเรียงลำดับของคู่เบสมีความสำคัญอย่างยิ่ง เพราะเป็นรหัสที่สื่อถึงข้อมูลขันจำเป็นแห่งชีวิต ในคนมีคู่เบสประมาณ 3,000 ล้านคู่ ประกอบขึ้นเป็นจีโนมของคน ถ้าหากนำโมเลกุล ดีเอ็นเอที่มวดอยู่ในคริโนซิมมาปีดออก จะมีความยาวถึง 1.5 เมตร แต่กว้างเพียงเศษ 1 ส่วน

**ลักษณะ** ชีสายดีเอ็นเอที่เด็กจนมองไม่เห็นนี้มีรหัสบันทึกข้อมูลที่จำเป็นในการสร้างและการทำงานชีวิตสำหรับสิ่งมีชีวิตทุกชีวิตอยู่ ตั้งแต่สิ่งมีชีวิตเซลล์เดียวอย่างแบคทีเรียไปจนกระทั่งสัตว์หลายเซลล์ที่ซับซ้อนอย่างมนุษย์

นอกจากที่ดีเอ็นเอจะมีการเก็บข้อมูลที่จำเป็นในการสร้างและการทำงานชีวิตแล้ว ดีเอ็นเอยังมีประโยชน์ในการใช้เป็นแม่แบบในการสร้างโมเลกุลอาร์ดีเอ็นเออีกด้วย โดยการคลายเกลี้ยงสายน้ำเงินิกลีโอล่าดีของดีเอ็นเอออก เพื่อเป็นแม่แบบให้นิวคลีโอล่าดีโนโลหะเดี่ยวเข้ามาจับคู่กับเป็นสายพ่อน้ำเงินิกลีโอล่าดีเดิม แต่ในขั้นตอนการนี้ อะดีนีน (A) จะจับคู่กับ ยูราซีล (U) และ กอร์นีน (G) จะจับคู่กับ ไซโตซีน (C) และจะไม่ใช้สายน้ำเงินิกลีโอล่าดีของดีเอ็นเอหั้งสองเดือนพร้อมกัน แต่ จะใช้สายดีเอ็นเอต้นแบบเพียงเส้นเดียวเป็นช่วงๆ ตามความจำเป็นของการใช้อาร์ดีเอ็นเอชนิดนั้น ๆ และเนื่องจากโมเลกุลของอาร์ดีเอ็นเอถูกสร้างขึ้นมาจากการสายดีเอ็นเอเพียงช่วงเดียว อาร์ดีเอ็นเอจึงเป็นสายพ่อน้ำเงินิกลีโอล่าดีสายเดียว ซึ่งอาร์ดีเอ็นเอนี้จะนำเข้าไปใช้ประโยชน์ในการสังเคราะห์โปรตีนต่อไป

### 3. อาร์ดีเอ็นเอ

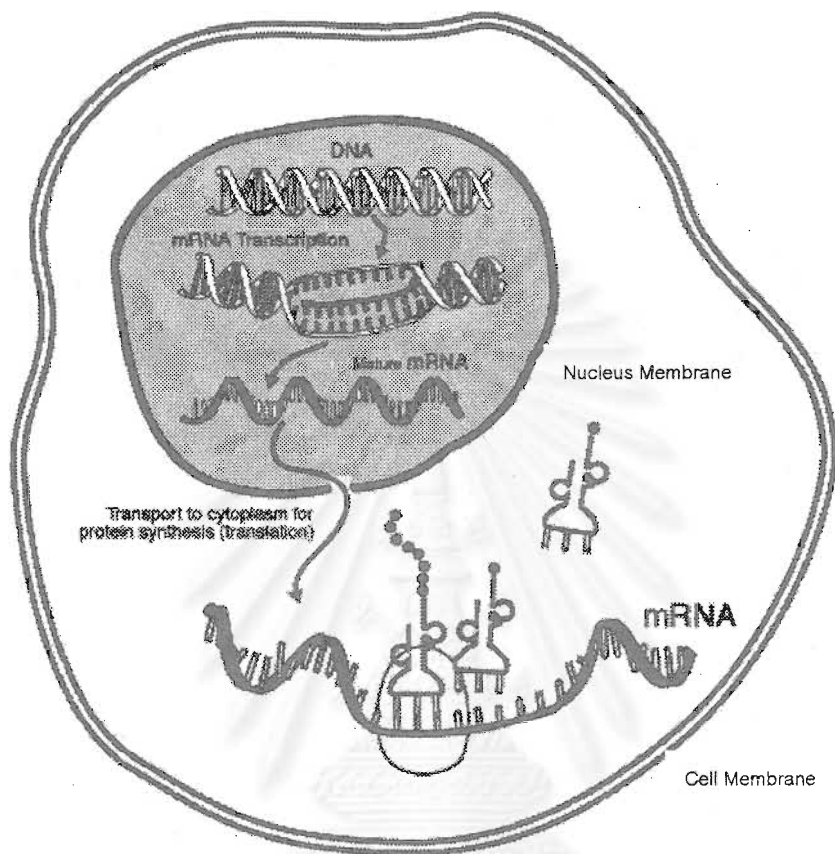
อาร์ดีเอ็นเอ แบ่งออกได้เป็น 3 ชนิด ตามลักษณะโครงสร้างและหน้าที่การทำงาน ดังนี้ คือ tRNA rRNA และ mRNA (Rastogi and Sharma, 1995)

3.1 tRNA (transfer RNA) มีขนาดเล็กมาก ถึงแม้ tRNA จะถูกสร้างขึ้นมาโดยลอกลำดับเบสจากดีเอ็นเอเช่นเดียวกับอาร์ดีเอ็นเอชนิดอื่นๆ แต่เบสของมันมีการเปลี่ยนแปลงเพิ่มเติมมากมาย เพื่อให้มีหน้าที่เฉพาะเจาะจงในขั้นตอนการสังเคราะห์โปรตีน กล่าวคือ ปลายด้านหนึ่งของ tRNA จะมีแอนติโคดอน (anticodon) ซึ่งเป็นเบสที่จับคู่กันได้กับเบสที่เป็นรหัส หรือโคดอน (Codon) บนสาย mRNA ่วนสาย mRNA ่วนปลายอีกด้านของ tRNA ทำหน้าที่พากัดอะมิโนแอพะสำหรับรหัสดังกล่าวเพื่อนำมาเข้ามต่อเป็นสายพ่อน้ำเงินิกลีโอล่าดีไปต่อ

3.2 rRNA (ribosomal RNA) รวมกันเข้ากับโปรตีนประกอบเป็นริบโซเม (ribosome)

3.3 mRNA (messenger RNA) เป็นอาร์ดีเอ็นเอ ที่มีบทบาทสำคัญที่สุดในการกำหนดลำดับของกรดอะมิโนที่มาเรียงตัวกันเป็นโพลีเปปไทด์ ทั้งนี้ เพราะ mRNA เป็นตัวรับคำสั่งจากดีเอ็นเอ โดยถอดรหัสในรูปของลำดับเบสที่เรียงตัวกันอยู่ในดีเอ็นเอ ขั้นตอนการทำรหัสนี้เรียกว่า หวานสคริปชัน (transcription) ดังจะเห็นในรูปที่ 2.2 รหัสหรือโคดอนบน mRNA นี้อาจจะ

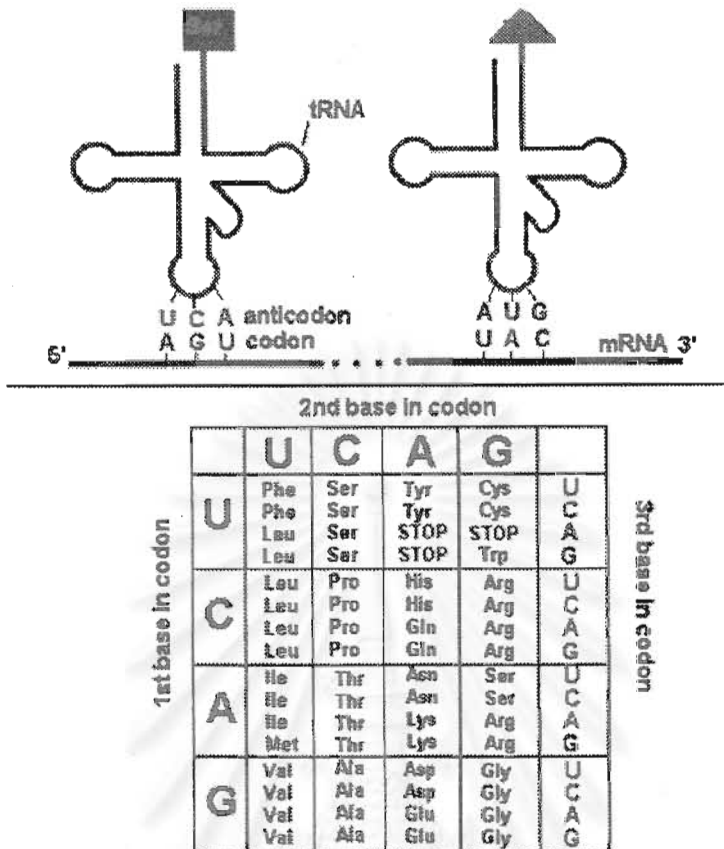
ถูกแปลงรหัส (translation) ที่ไรโบซิม เพื่อสร้างโพลี-peptid ที่เข้าพาระเจาะจงตามต้องการ mRNA ถูกสร้างขึ้นเมื่อเซลล์หรือสิ่งมีชีวิตนั้นๆ ต้องการสังเคราะห์โปรตีนที่จำเป็น



รูปที่ 2.2 ลักษณะของอาร์เอ็นเอ

#### 4. รหัสทางพันธุกรรม และการสังเคราะห์โปรตีน

รหัสพันธุกรรมจะอยู่บนดีเอ็นเอ และถูกถ่ายทอดไปยัง mRNA เพื่อนำไปสร้างโปรตีนอีกทอดหนึ่ง เมื่อเราพิจารณาถึงไม่เลกูลดีเอ็นเอและอาร์เอ็นเอ จะพบสิ่งที่เหมือนกันคือหน่วยของเบสเท่านั้นที่มีอยู่ร่วงทั้งหมด 4 แบบ คือ A T ( หรือ U ในอาร์เอ็นเอ ) C และ G ซึ่งเบสเหล่านี้ก็คือ รหัสทางพันธุกรรมนั้นเอง การผสานกันของเบสทั้ง 4 แบบเข้าด้วยกันสามารถใช้เป็นภาษาสื่อความหมายในการนำกรดอะมิโน 20 ชนิดมาเรียงตัวกัน ซึ่งสามารถทำได้หรือเดียว คือ ต้องใช้เบสอย่างน้อย 3 ตัวผสานกัน หรือที่เรียกว่า รหัสสามตัว หรือ โคดอน ดังรูปที่ 2.3

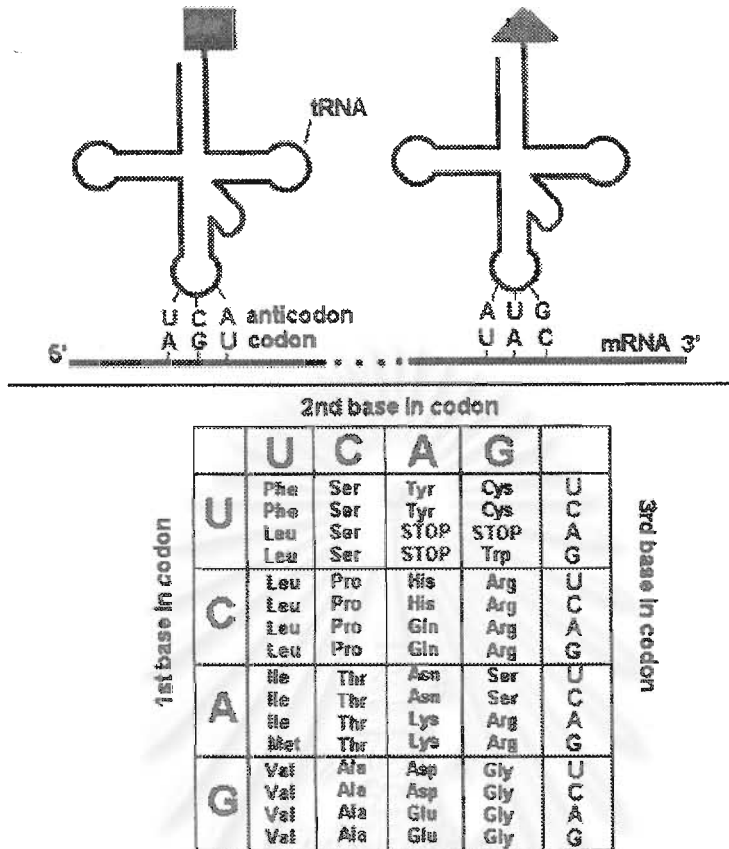


## The Genetic Code

รูปที่ 2.3 รหัสทางพันธุกรรมหรือโคดอน

จะเห็นได้ว่ากรดอะมิโนส่วนใหญ่มีรหัสได้มากกว่า 1 แบบ เช่น Ser สามารถมีรหัสได้เป็น UCU หรือ UCC หรือ UCA หรือ UCG หรือ AGU หรือ AGC และพบว่าบางรหัสไม่ได้มีเพียงตัวกำหนดกรดอะมิโน แต่เป็นตัวบอกรากุจุดเริ่มต้น หรือจุดสุดท้ายของการสร้างโพลีเปปไทด์

เนื่องจากดีเอ็นเอเป็นตัวควบคุมกำหนดการสร้างโปรตีน ขบวนการสังเคราะห์โปรตีนจึงต้องเริ่มจากการรับคำสั่งจากดีเอ็นเอ ซึ่งกระทำโดยการถ่ายทอดลำดับเบสจากดีเอ็นเอมายัง mRNA หรือการทำทรานสคริปชันนั่นเอง ขบวนการนี้เกิดขึ้นในนิวเคลียส จากนั้น mRNA ก็จะเดินทางออกจากนิวเคลียสเข้ามาสู่ไซโตพลาสมิม โดยมาร่วมเข้ากับไรบโซมซึ่งจะใช้เป็นสถานที่ในการสร้างโปรตีน ในขณะเดียวกัน tRNA ก็ทำหน้าที่นำพาเอกสารดอะมิโนเข้ามาในบริเวณไรบโซม จากนั้นการแปลรหัสหรือทรานสเลชันก็เกิดขึ้น กล่าวคือ กรดอะมิโนก็จะถูกนำมาเรียงตัวตามลำดับของรหัสบน mRNA โดยมีเอนไซม์ พลังงาน และแฟคเตอร์ต่างๆ มาช่วยในทุกขั้นตอน สายของกรดอะมิโนดังกล่าวจะเชื่อมต่อโยงเป็นสายโพลีเปปไทด์ เมื่อการแปลรหัสใน mRNA หมด



## The Genetic Code

รูปที่ 2.3 รหัสทางพันธุกรรมหรือโคดอน

จะเห็นได้ว่ากรดอะมิโนส่วนใหญ่มีรหัสได้มากกว่า 1 แบบ เช่น Ser สามารถมีรหัสได้เป็น UCU หรือ UCC หรือ UCA หรือ UCG หรือ AGU หรือ AGC และพบว่าบางรหัสไม่ได้เข้าเป็นตัวกำหนดกรดอะมิโน แต่เป็นตัวบอกจุดเริ่มต้น หรือจุดสุดท้ายของการสร้างโพลี-peปไทด์

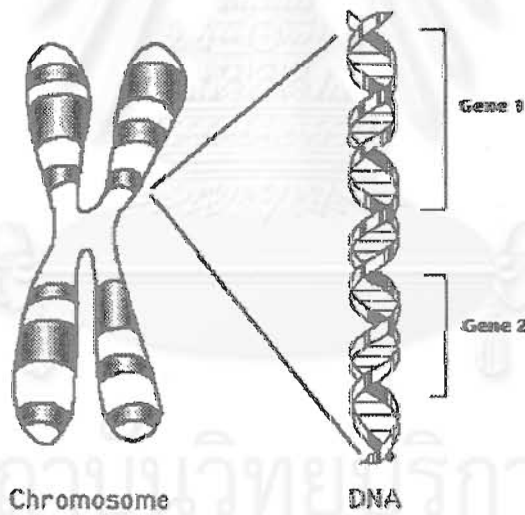
เนื่องจากดีเอ็นเอก็เป็นตัวควบคุมกำหนดการสร้างโปรตีน ขบวนการสังเคราะห์โปรตีนจึงต้องเริ่มจากการรับคำสั่งจากดีเอ็นเอ ซึ่งจะทำโดยการถ่ายทอดลำดับเบสจากดีเอ็นเอมายัง mRNA หรือการทำทรานสคริปชันผ่านเอง ขบวนการนี้เกิดขึ้นในนิวเคลียส จากนั้น mRNA ก็จะเดินทางออกจากนิวเคลียสเข้ามาสู่ไซโตพลาสซึม โดยมาร่วมเข้ากับไรบอโซมซึ่งจะใช้เป็นสถานที่ในการสร้างโปรตีน ในขณะเดียวกัน tRNA ก็ทำหน้าที่นำพาเอกสารดอะมิโนเข้ามาในบริเวณไรบอโซม จากนั้นการแปลรหัสหรือทรานสเลชันก็เกิดขึ้น กล่าวคือ กรดอะมิโนก็จะถูกนำมาเรียงตัวตามลำดับของรหัสบน mRNA โดยมีเอนไซม์ พลังงาน และแฟคเตอร์ต่างๆ มาร่วมในทุกขั้นตอน สายของกรดอะมิโนดังกล่าวจะเชื่อมต่อโยงเป็นสายโพลี-peปไทด์ เมื่อการแปลรหัสใน RNA หมด

สิ่งทั้งสามแล้ว สายพันธุ์เปปไทด์ที่สร้างขึ้นก็จะถูกปล่อยออกมานอกไป biome กลไกเป็นไมเลกุลของโปรตีนตามที่ต้องการ

สิ่งมีชีวิตทั้งหมดมีโปรตีนเป็นองค์ประกอบส่วนใหญ่ และมีบทบาทสำคัญยิ่งเนื่องจากเป็นตัวกำหนดหน้าที่ของเซลล์ เราทราบว่าเซลล์แต่ละส่วนในร่างกายไม่เหมือนกัน เช่น เซลล์ผู้เมื่อเซลล์หังศีรษะ เซลล์ตับ มีความแตกต่างกันออกไปทั้งหน้าตาและหน้าที่ สิ่งที่กำหนดหน้าที่กำหนดความแตกต่างเหล่านี้คือโปรตีนที่อยู่ในเซลล์นั้นเอง

### 5. ยีน (Gene)

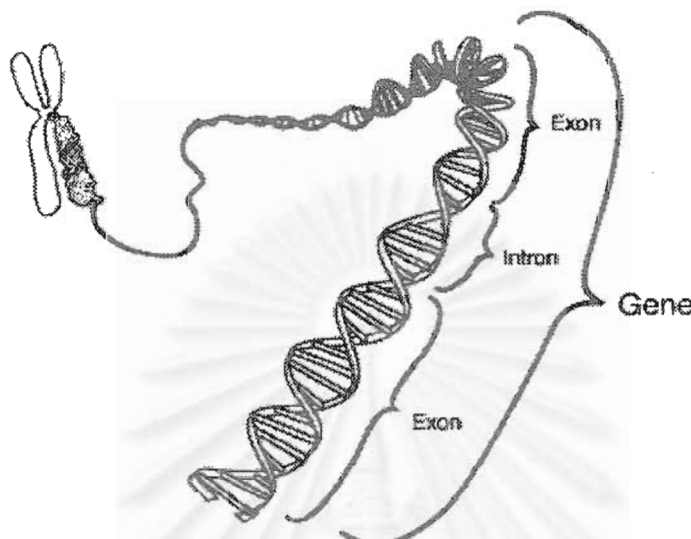
ยีน หมายถึง หน่วยถ่ายทอดพันธุกรรมที่มีอยู่หนึ่ง ชิ้นที่จริงก็คือ ชุดของคู่เบสหลายคู่ที่มารียงลำดับกันนั้นเอง แต่ถูกจัดเป็นชุดหรือเป็นยีนหนึ่งๆ เนื่องจากการเรียงลำดับคู่เบสในส่วนนั้นประกอบขึ้นเป็นรหัสที่สื่อถึงข้อมูลได้ประการหนึ่ง



รูปที่ 2.4 ยีน

รูปที่ 2.4 แสดงให้เห็นว่าในโครงโมโนโซมหนึ่ง ๆ จะประกอบด้วยยีนเรียงต่อกันไปโดยจะมีช่วงที่เป็นลำดับเบสที่ไม่ได้เป็นยีนคันระหว่างยีนด้วย ยีนแต่ละยีนมีขนาดไม่เท่ากัน ถึงแม้จะอยู่ในจีโนมเดียวกัน ดังนั้นยีนบางยีนอาจมีขนาดใหญ่เป็นหลายพันคู่เบส แต่บางยีนอาจจะมีขนาดเล็กกว่ามาก และในจีโนมหนึ่ง ๆ จะมีคู่เบสที่เป็นรหัสข้อมูลสำหรับสร้างโปรตีนเพียงแค่ร้อยละ 10

เท่านั้น และลำดับคู่เบสเหล่านี้ที่สามารถเป็นรหัสใช้สร้างโปรตีนนี้เรียกว่า เอ็กซอน (exon หรือ exon sequence) ดังแสดงในรูปที่ 2.5



รูปที่ 2.5 เอ็กซอน

ส่วนคู่เบสที่เหลืออีกร้อยละ 90 เป็นคู่เบสที่ไม่เป็นรหัสข้อมูลและอยู่ระหว่างจัดการจ่ายท้าไปในยีน ซึ่งจะไม่ถูกแปลงเป็นโปรตีน เรียกว่า อินทรอน (Intron หรือ intron sequence) คาดว่าดุลยภาพหรือสัดส่วนที่ลงตัวของจีโนมมันต้องอาศัยคู่เบสอื่นๆ ที่ไม่แสดงว่าเป็นรหัสเลยด้วย แต่คู่เบสเหล่านี้ทำหน้าที่อะไร ขณะนี้ยังไม่ทราบแต่สันนิษฐานกันว่าอาจจะทำหน้าที่ควบคุมลำดับคู่เบส หรือเป็นตัวกันระหว่างส่วนต่างๆ ในยีนก็เป็นได้

## 6. กรรมวิธีการหารหัสพันธุกรรม

### วิธีการหารหัสพันธุกรรมประกอบด้วย 3 ขั้นตอนหลัก คือ

6.1 ทำการเรียงตัวของเบสบนเส้นดีเอ็นเอ (sequencing) ทำได้โดยตัดเส้นดีเอ็นเอ เป็นชิ้น ๆ หลังจากนั้นนำชิ้นดีเอ็นเอที่ตัดแล้วเข้าเครื่องอ่านอัตโนมัติ เพื่อทำการเรียงตัวของเบสในแต่ละชิ้นของดีเอ็นเอ

6.2 ประกอบเข้าด้วยกันใหม่ (assembly) นำชิ้นของดีเอ็นเอที่ได้รับการอ่านจากเครื่องแล้วนำมาเรียงกันใหม่ โดยนำชิ้นดีเอ็นเอด้วยชิ้นที่มีมาრคเกอร์ (marker) เหมือนกันมาซ้อนกัน (overlap) จนกระทั่งได้ลำดับการเรียงตัวของเบสบนเส้นดีเอ็นเอทั้งหมด

6.3 ระบุตำแหน่งของยีน (annotation) เมื่อทราบการเรียงตัวของเบสบนเส้นดีเอ็นเอทั้งหมดแล้ว จึงค้นหาตำแหน่งของยีนทั้งหมด ซึ่งมีอยู่เพียงประมาณ 3 % ในข้อมูลทั้งหมด บนเส้นดีเอ็นเอด้วยนั้น ทั้งนี้อาจทำโดยการค้นหารัศมีของเส้นและสิ่งของยีน หรือโดยการเปรียบเทียบกับยีนที่รู้จักแล้ว

## จีโนมข้าว (Rice Genomic)

จีโนมข้าวมีขนาดประมาณ 400 เมกะเบส (400 ล้านคู่เบส) ซึ่งเป็นค่าประมาณที่มากจากวิธีการทำพันธุศาสตร์ ขนาดที่แน่นอนของจีโนมข้าวจะทราบได้เมื่อทำการลำดับเบสจีโนมข้าวเสร็จเรียบร้อยแล้ว โดย ณ ปัจจุบันยังไม่เสร็จ แต่บริษัท Syngenta (USA) ประกาศว่าได้ทำการลำดับเบสของจีโนมข้าวเสร็จเรียบร้อยแล้วแต่ไม่เปิดเผยข้อมูลสู่สาธารณะ

ข้าวเป็นพืชใบเดี่ยวนี้ชื่อทางจีนัส (genus) ว่า *Oryza* (เขียนแทนด้วย O) ซึ่งจากจีนัสยังแบ่งเป็นอีก 2 สปีชีส์ (Species) ได้แก่ *sativa* และ *glaberrima* ข้าวในสปีชีส์ *O.sativa* เป็นพันธุ์ข้าวที่เพาะปลูกกันในเกือบทั่วโลก แต่ข้าวในสปีชีส์ *O.glaberrima* จะเพาะปลูกกันเฉพาะในประเทศไทยอาฟริกา ดังนั้นพันธุ์ข้าวเจ้าที่พบเห็นเพาะปลูกกันโดยทั่วไปจะอยู่ในสปีชีส์ *O.sativa* ซึ่งในข้าวเจ้าสปีชีส์ *O.sativa* ก็ยังมีอีกหลายสายพันธุ์ในทางวิทยาศาสตร์จะเรียกว่า ซับสปีชีส์(Subspecies) ซึ่งมี 2 ซับสปีชีส์ที่สำคัญ คือ *indica* (มีอีกชื่อหนึ่งว่า *kasalath*) และ *japonica* (มีอีกชื่อหนึ่งว่า *nipponbare*) ซึ่งจะแบ่งคร่าวๆตามพื้นที่ที่เพาะปลูก โดย *japonica* จะเพาะปลูกกันในแถบเอเชียตะวันออก เช่นญี่ปุ่น และจีนตอนเหนือ เป็นต้น ซึ่งสายพันธุ์ *japonica* นี้เป็นสายพันธุ์ที่ใช้ในการทำโครงการจีโนมข้าว โดยทุกประเทศที่เข้าร่วมโครงการนี้จะใช้ข้าวสายพันธุ์ *japonica* เมื่อถูกน้ำ ซึ่งประเทศไทยเป็นหนึ่งในประเทศที่เข้าร่วมโครงการนี้ โครงการนี้จะแบ่งให้กับประเทศไทย โดยในข้างต้นจะมีครमทั้งสิ้น 12 คู่ โดยครมครุที่ 1 จะถูกจัดขึ้นโดยญี่ปุ่นและเกาหลี ครมครุที่ 2 โดยประเทศไทยและญี่ปุ่น ครมครุที่ 3 และ 10 โดยอเมริกา คู่ที่ 4 โดยประเทศไทย คู่ที่ 5 โดยไนจีเรีย ครมครุที่ 6 7 และ 8 โดยญี่ปุ่น ครมครุที่ 9 โดยประเทศไทย ครมครุที่ 11 โดยอเมริกา แคนาดา และ อินเดีย และสุดท้ายครมครุที่ 12 โดยประเทศไทย ผู้ร่วมแสดงความคิดเห็น ผลกระทบวิจัยที่ได้จากการจีโนมข้าวจะถูกส่งไปรวมกับเก็บไว้ที่ฐานข้อมูลนิวเคลียติก็อตี้ด์ของข้าวที่อยู่ในอินเตอร์เน็ต เช่น NCBI (National Center for

Biotechnology Information) EBI (European Bioinformatics Institute) DDBJ (Genome Net-Japan)

เนื่องจากข้าวจัดเป็นสิ่งมีชีวิตประเภททึ่กการีอิด (Eukaryote) ดังนั้นในยืนของข้าวจึงจะประกอบไปด้วย เอ็คซอน และอินทรอน ในขณะที่ยืนของสิ่งมีชีวิตประเภทโปรかれารีอิด (Prokaryote) เช่น แบคทีเรีย จะไม่มีอินทรอนในยืนทำให้สิ่งมีชีวิตประเภททึ่กการีอิดมีขั้นตอนการหายใจยากกว่าและซับซ้อนกว่าโปรかれารีอิด

### กฎภูบองเบย์ (Bay's Theorem)

สมมติว่า  $A_1, A_2, \dots, A_n$  เป็นเหตุการณ์ในเซมเพลสเปซ (Sample Space) S เดียวกัน และเป็นส่วนประกอบภายใน S โดยที่  $A_1 \cup A_2 \cup \dots \cup A_n = S$  และ  $A_i \cap A_j \neq \emptyset$  เมื่อ  $i \neq j$  และ  $i, j = 1, 2, \dots, n$

ถ้า B เป็นเหตุการณ์อีกเหตุการณ์หนึ่งใน S เหตุการณ์ B จะหาได้จากยืนยันของเหตุการณ์ต่างๆที่ไม่เกิดขึ้นร่วมกันดังนี้

$$B = (A_1 \cap B) \cup (A_2 \cap B) \cup \dots \cup (A_n \cap B)$$

$$\text{โดย } (A_i \cap B) \cap (A_j \cap B) = \emptyset \text{ เมื่อ } i \neq j$$

โดยกฎความน่าจะเป็น จะได้

$$\begin{aligned} P(B) &= (A_1 \cap B) + (A_2 \cap B) + \dots + (A_n \cap B) \\ &= \sum P(A_i \cap B) \\ &= \sum P(A_i) P(B / A_i) \end{aligned}$$

จากนิยามความน่าจะเป็นแบบมีเงื่อนไข ถ้าหาก  $P(A_k / B)$  จะได้ว่า

$$P(A_k / B) = \frac{P(A_k \cap B)}{P(B)} \quad \text{เมื่อ } k = 1, 2, \dots, n$$

$$= \frac{P(A_k) P(B / A_k)}{P(B)}$$

แทนค่า  $P(B)$  ด้วย  $\sum P(A_i) P(B / A_i)$  จะได้

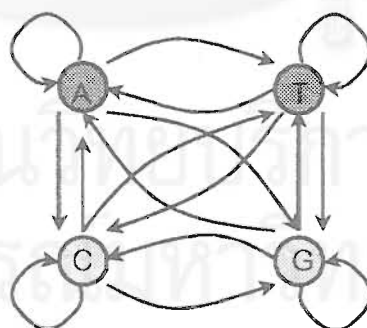
$$P(A_k / B) = \frac{P(A_k) P(B / A_k)}{\sum P(A_i) P(B / A_i)}$$

ดังนั้น ถ้าให้เงื่อนไขของเหตุการณ์  $B$  แล้วจะหาความน่าจะเป็นของเหตุการณ์  $A_k$  ได้ ซึ่งก็คือ Bayes' Theorem

### มาร์คอฟโมเดล (Markov Model)

มาร์คอฟโมเดล หมายถึง แบบจำลองของลำดับของเหตุการณ์ที่เกิดขึ้น โดยที่โอกาสของ การเกิดเหตุการณ์ต่อๆ ไป จดได้ ในลำดับ ขึ้นกับเหตุการณ์ที่เกิดขึ้นก่อนหน้านั้นเท่านั้น

การวิเคราะห์ลำดับเบสหรือกรดอะมิโนก็สามารถทำได้โดยการสมมติว่าลำดับเบสจะ เป็น A T C หรือ G ขึ้นอยู่กับว่าเบสที่อยู่ด้านซ้ายเป็นอะไรเท่านั้น หรือ โอกาสที่จะพบกรดอะมิโนใน อะไร ณ ตำแหน่งใดตำแหน่งหนึ่งขึ้นอยู่กับว่ากรดอะมิโนที่อยู่ด้านซ้ายเป็นอะไร ตัวอย่างของ มาร์คอฟโมเดล สำหรับสายดีเอ็นเอ (Durbin, Eddy, Krogh, and Mitchison, 1998) สามารถ เขียนได้ดังรูปที่ 2.6



รูปที่ 2.6 มาร์คอฟโมเดลของสายดีเอ็นเอ

จะเห็นว่ามีสถานะที่ใช้สี่แทนตัวอักษร 4 ตัว คือ A C G และ T ซึ่งเป็นตัวอักษรแทน เปสในดีเอ็นเอ ตัวแปรความน่าจะเป็นของ A จะเกี่ยวเนื่องกับลูกศรแต่ละอันในรูป ซึ่งการจะ

พิจารณาค่าความน่าจะเป็นจะคิดเทียบกับค่าอื่นที่เป็นค่าที่เกิดขึ้นก่อนจะเกิด A ค่าความน่าจะเป็นนี้จะเรียกว่าค่าความน่าจะเป็นในการเปลี่ยนสถานะ (Transition probabilities)  $a_{st}$  ซึ่งสามารถเขียนได้ดังนี้

$$a_{st} = P(x_i = t | x_{i-1} = s, x_{i-2} = k, \dots) = P(x_i = t | x_{i-1} = s)$$

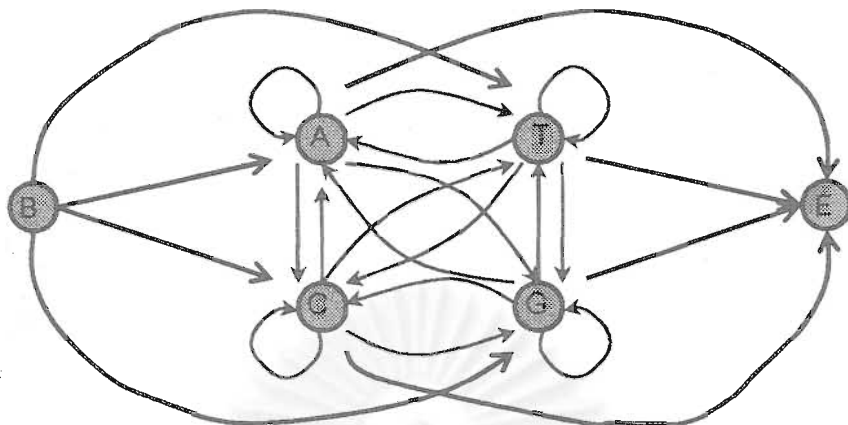
สำหรับทุก ๆ โมเดลความน่าจะเป็นของชีวี uneven จะได้ความน่าจะเป็นของชีวี uneven เท่ากับ

$$\begin{aligned} P(x) &= P(x_L, x_{L-1}, \dots, x_1) \\ &= P(x_L | x_{L-1}, \dots, x_1) P(x_{L-1} | x_{L-2}, \dots, x_1) \dots P(x_1) \end{aligned} \quad (2.1)$$

แต่จากคุณสมบัติของมาร์คอฟโมเดล คือ ค่าความน่าจะเป็นของสัญลักษณ์  $x_i$  จะขึ้นเฉพาะกับค่าที่มาก่อนมัน ซึ่งก็คือ  $x_{i-1}$  เช่น  $P(x_i | x_{i-1}, \dots, x_1) = P(x_i | x_{i-1}) = a_{x_{i-1} x_i}$  ดังนั้น จากสมการที่ (2.1) จะได้ว่า

$$\begin{aligned} P(x) &= P(x_L | x_{L-1}) P(x_{L-1} | x_{L-2}) \dots P(x_2 | x_1) P(x_1) \\ &= P(x_1) \prod_{i=2}^L a_{x_{i-1} x_i} \end{aligned} \quad (2.2)$$

เพื่อหลีกเลี่ยงความไม่สอดคล้องกันของคุณสมบัติซึ่งอาจเกิดในสมการ (2.2) ดังนั้นจึงควรเพิ่ม state เริ่มต้น (B) และ สุดท้าย (E) ลงไประดับ โดยกำหนด  $x_0 = B$  เป็นจุดเริ่มต้นซึ่งต้องเพิ่มในสมการ (2.2) ดังนั้นค่าความน่าจะเป็นของตัวอักษรแรกในชีวี uneven จะเป็น  $P(x_1 = S) = a_{BS}$  และค่าความน่าจะเป็นของตัวอักษรสุดท้ายจะเป็น  $P(E | x_L = t) = a_{Et}$  เพื่อให้สอดคล้องกับสัญลักษณ์ใหม่ที่เพิ่มเข้าไป จะได้โมเดลใหม่ดังรูปที่ 2.7



รูปที่ 2.7 マーคคอฟโมเดล ของสายดีเอ็นเคนหลังจากเพิ่มจุดเริ่มต้นและจุดสุดท้าย

สำหรับด้วยอย่างต่อไปนี้แสดงการนำเอาマーคคอฟโมเดลมาใช้แยกแยะว่าบริเวณใดเป็น CpG Island (บริเวณที่พบเบส C และ G จำนวนมากก่อนที่จะพบจุดเริ่มต้นของยีน) โดยการนำข้อมูลเบสที่อยู่ในช่วง CpG Island มาสร้างเป็นโมเดลบาง และ ส่วนเบสที่ไม่ได้อยู่ในบริเวณดังกล่าวมาสร้างเป็นโมเดลぶ

ค่าความน่าจะเป็นในการเปลี่ยนสถานะ (Transition Probabilities) สำหรับ โมเดลบาง หรือบริเวณที่เป็น CpG Island หาได้ดังนี้

$$a_{st}^+ = \frac{C_{st}^+}{\sum_t C_{st}^+}$$

โดย  $C_{st}^+$  คือ จำนวนครั้งที่ t ตามหลัง s ในบริเวณ CpG Island ซึ่งค่านี้จะนำไปเป็นตัวประมาณ Maximum Likelihood สำหรับค่าความน่าจะเป็นในการเปลี่ยนสถานะ ส่วน  $a_{st}^-$  หรือ ค่าความน่าจะเป็นในการเปลี่ยนสถานะสำหรับโมเดลลบ ซึ่งคิดในทำนองเดียวกัน

ผลที่ได้จากการคำนวณค่าความน่าจะเป็นในการเปลี่ยนสถานะ จะได้ดังตารางที่ 2.1 และตารางที่ 2.2

ตารางที่ 2.1 ค่าความน่าจะเป็นในการเปลี่ยนสถานะของโนเมเดลบาก

| + | A     | C     | G     | T     |
|---|-------|-------|-------|-------|
| A | 0.180 | 0.274 | 0.426 | 0.120 |
| C | 0.171 | 0.368 | 0.274 | 0.188 |
| G | 0.161 | 0.339 | 0.375 | 0.125 |
| T | 0.079 | 0.355 | 0.384 | 0.182 |

ตารางที่ 2.2 ค่าความน่าจะเป็นในการเปลี่ยนสถานะของโนเมเดลลบ

| - | A     | C     | G     | T     |
|---|-------|-------|-------|-------|
| A | 0.300 | 0.205 | 0.285 | 0.210 |
| C | 0.322 | 0.298 | 0.078 | 0.302 |
| G | 0.248 | 0.246 | 0.298 | 0.208 |
| T | 0.177 | 0.239 | 0.292 | 0.292 |

โดยที่แต่ละແຄນแสดงค่าความถี่ เช่น ในແຄນแรกสุดของตารางบน เป็นกรณีที่ A ถูกตามด้วยเบสห้อง 4 เปส โดย A ที่ตามด้วย A จะมีความถี่ 0.180 A ตามด้วย C มีความถี่ 0.274 A ตามด้วย G มีความถี่ 0.426 A ตามด้วย T มีความถี่ 0.120

ในการที่จะใช้มโนเดลนี้ในการแยกแยะหรือจัดประเภท เราจะใช้ Log-odds ratio ซึ่งนิยามดังนี้

$$\begin{aligned}
 S(x) &= \log \left[ \frac{P(x | Model +)}{P(x | Model -)} \right] = \sum_{i=1}^L \log \left[ \frac{a_{x_{i-1} x_i}^+}{a_{x_{i-1} x_i}^-} \right] \\
 &= \sum_{i=1}^L \beta_{x_{i-1} x_i}
 \end{aligned}$$

โดย  $x$  คือ ชีเควน และ  $\beta_{x_i, x_j}$  คือ ค่าลอกการทึมที่ใช้ในการแยกแยะหรือจัดประเภทข้อมูลที่ได้มาจากการคำนวณน่าจะเป็นในการเปลี่ยนสถานะของโมเดลบางและโมเดลลบ ซึ่งผลของค่า  $\beta$  แสดงดังตารางที่ 2.3 ข้างล่าง

ตารางที่ 2.3 ค่าลอกการทึมที่ใช้ในการแยกแยะหรือจัดประเภทข้อมูล

| $\beta$ | A      | C     | G     | T      |
|---------|--------|-------|-------|--------|
| A       | -0.740 | 0.419 | 0.580 | -0.803 |
| C       | -0.913 | 0.302 | 1.812 | -0.685 |
| G       | -0.624 | 0.461 | 0.331 | -0.730 |
| T       | -1.169 | 0.537 | 0.939 | -0.679 |

### งานวิจัยที่เกี่ยวข้อง

1. Pombe: A Gene Finding and Exon-Intron Structure Prediction System for Fission Yeast โดย Ting Chen และ Michael Q.Zhang (1998)

งานวิจัยนี้เกี่ยวข้องกับการพัฒนาโปรแกรมที่ชื่อว่า Pombe ซึ่งเป็นโปรแกรมที่ใช้หาบีนที่มีอยู่ภายในสายเนิร์คลีโอไทด์ของพิชชันยีสต์ (Fission Yeast) โดยเฉพาะ โปรแกรมนี้พัฒนาขึ้นโดยใช้วิธีการวิเคราะห์จำแนกประเภทแบบเลียนตัวในการพิจารณาเพื่อหาข้อบ่งบอก ขอบเขตและจำนวนของเอ็กซอน และ อินทรอนที่มีอยู่ภายในสายเนิร์คลีโอไทด์ของพิชชันยีสต์ สรุปข้อมูลสายเนิร์คลีโอไทด์ที่งานวิจัยนี้ใช้จะเป็นข้อมูลจาก GenBank จำนวน 131 สายเนิร์คลีโอไทด์

2. Modeling DNA Splice Regions by Learning Bayesian Networks โดย Denver Dash และ Vanathi Gopalakrishnan (2001)

งานวิจัยนี้เกี่ยวข้องกับการนำ Bayesian Networks มาใช้เรียนรู้ข้อมูลสายเนิร์คลีโอไทด์เพื่อแยกหา จุดเริ่มต้นของการทำหางานสคริปชัน (Transcription) ในสายเนิร์คลีโอไทด์ และ หาดอร์เนอร์ (เบส GT) และแอคเซปเตอร์ (เบส AG) ของอินทรอนภายในแมสเซนเจอร์อาร์เอ็นเอ (mRNA) ของยีนในสิ่งมีชีวิตประเภททุกๆ คาวีโอต

3. GenID in *Drosophila* โดย Genis Parra, Enrique Blanco and Roderic Guigo (2000)

งานวิจัยนี้เกี่ยวกับการนำรีชีแก้ปัญหาโดยอาศัยกฎ (Hierarchical rule-based system) มาใช้ในการค้นหายีนในสิ่งมีชีวิตประเภทแมลงวันผลไม้ (*Drosophila melanogaster*) โดยใช้ข้อมูลสอนที่เป็นสายพันธุ์โลไทด์ของแมลงวันผลไม้จำนวน 416 สายพันธุ์โลไทด์ซึ่งเป็นชุดข้อมูลจาก Martin Reese และคณะ (Reese, 2000) และทดสอบด้วยข้อมูลทดสอบขนาด 5,689,206 คู่เบส ที่มีจำนวน 416 ยีนอยู่ภายในสายพันธุ์โลไทด์นั้น

4. Interpolated Markov models for eukaryotic gene finding โดย Salzberg SL, Pertea M, Delcher AL, Gardner MJ, Tettelin H (1999)

งานวิจัยนี้เกี่ยวกับการพัฒนาโปรแกรมค้นหายีนที่ชื่อ Glimmer ที่พัฒนาขึ้นเพื่อสิ่งมีชีวิตประเภทแบคทีเรียและยูเครา iota ที่มีขนาดเล็ก เช่น *Arabidopsis thaliana* เป็นต้น ข้อมูลที่ใช้เป็นข้อมูลสอนมาจากการ GenBank เป็นข้อมูลของสิ่งมีชีวิต *Plasmodium falciparum* จำนวน 108 ข้อมูลจากทั้งหมด 14 โครโนโซม และใช้マーคคอฟโมเดลลำดับที่ 2 ในกระบวนการหานิวเคลียต์ที่เกี่ยวข้องกับการควบคุมการแสดงออกของยีน (Search by signal) สำหรับการทดสอบโปรแกรมจะใช้ข้อมูลทดสอบซึ่งเป็นยีนจำนวน 209 ยีนจากโครโนโซมที่ 2 ของ *P. falciparum*

5 GeneMark Parallel Gene recognition for Both DNA strands โดย Mark Borodovsky and James McIninch (1993)

งานวิจัยนี้เกี่ยวกับการนำมาร์คคอฟโมเดลลำดับที่ 5 มาใช้ในการค้นหายีนในสิ่งมีชีวิตประเภทแบคทีเรียจำนวน 10 ชนิด หนู และมนุษย์

6. A *Plasmodium falciparum* Genefinder โดย Anthony Ian Wirth (2000)

งานวิจัยนี้เกี่ยวกับการพัฒนาโปรแกรมเพื่อค้นหายีนในสิ่งมีชีวิตสปีชีร์ย์ *Plasmodium falciparum* ซึ่งเป็นสิ่งมีชีวิตประเภทเชื้อโรคที่ทำให้เกิดโรคตัวมาลาเรีย ซึ่งภายในเยื่อบุของสิ่งมีชีวิตชนิดนี้ส่วนใหญ่จะไม่มีอินทรอนแทรกอยู่ รวมทั้งทดสอบโปรแกรม และนำผลการทดสอบโปรแกรมไปเปรียบเทียบกับโปรแกรมที่ใช้สายพันธุ์โลไทด์ของมนุษย์เป็นข้อมูลสอน

### บทที่ 3

## ขั้นตอนวิธีในการดำเนินการวิจัย

โดยส่วนมากงานที่เกี่ยวข้องกับการหาอีนพักจะเน้นออกแบบเพื่อวัดถูประสงค์หลักใน การค้นหาอีนในสายนิวคลีโอไทด์ของมนุษย์ จึงทำให้ซอฟท์แวร์เหล่านี้มีประสิทธิภาพน้อยในการค้นหาอีนในสิ่งมีชีวิตที่มีสปีชีีย์ต่างจากมนุษย์ จากงานวิจัยของ Reese และคณะ (Reese, 2000) ได้ทดลองโดยนำเยื่อ *Drosophila melanogaster* ซึ่งเป็นเยื่อของสัตว์ประเทศาเมลงวันผลไม้ชนิดหนึ่งมาใช้กับโปรแกรมค้นหาอีนที่ถูกสอนโดยข้อมูลมนุษย์ จากผลการทดลองแสดงถึงประสิทธิภาพของการนำโปรแกรมหาค้นหาอีนที่ใช้ข้อมูลมนุษย์เป็นข้อมูลสอน ซึ่งมีประสิทธิภาพไม่ดีเท่ากับโปรแกรมที่ใช้ข้อมูลของเมลงวันผลไม้เป็นข้อมูลสอน ทั้งนี้จากการวิจัยนั้นได้สรุปว่า โปรแกรมค้นหาอีนจะทำงานได้ดีกว่า ถ้ามีการเตรียมข้อมูลสอนที่มีความเฉพาะเจาะจงกับ สิ่งมีชีวิตชนิดนั้นๆโดยเฉพาะ เพราะแม้กระทั้งสิ่งมีชีวิตในกลุ่มเดียวกัน เช่น พืช ก็ยังมีลักษณะเฉพาะที่ต่างกัน เช่น ความแตกต่างของปริมาณเบส CG (CG content หรือ Isoshore) และความแตกต่างของพีซีกกลุ่มใบเลี้ยงเดียว (Monocot plants) และใบเลี้ยงคู่ (Dicot plants) เป็นต้น ดังนั้น จึงทำให้เกิดแนวความคิดในการพัฒนาโปรแกรมค้นหาอีนที่เฉพาะเจาะจงกับอีนข้าง

### การเก็บข้อมูลสอนและข้อมูลทดสอบ

เริ่มต้นจากการเก็บรวบรวมข้อมูลสายนิวคลีโอไทด์ของข้าวจากฐานข้อมูลขององค์กร National Center for Biotechnology Information (NCBI) หรือ GenBank ที่เว็บไซด์ [www.ncbi.nlm.nih.gov](http://www.ncbi.nlm.nih.gov) โดยใช้เฉพาะข้อมูลข้าวที่ได้ทำการค้นหาอีนไว้เรียบร้อย (annotated) แล้วเพื่อนำมาใช้เป็นข้อมูลสอน และทดสอบโปรแกรม การเก็บข้อมูลสายนิวคลีโอไทด์จะเก็บในรูปแบบ FASTA Format ซึ่งเป็นรูปแบบของการเก็บข้อมูลสายดีเอ็นเอที่นิยมกันเนื่องจากอ่านเข้าใจง่าย หลังจากได้ข้อมูลมาแล้วจะต้องมีการทำความสะอาดข้อมูลเนื่องจากเป็นข้อมูลที่เก็บไว้ในฐานข้อมูลทางอินเตอร์เน็ตอาจมีข้อผิดพลาดได้ จึงต้องมีการตรวจสอบดังนี้ คือ เริ่มต้นจากตรวจสอบว่าอีนแต่ละยีนแต่ละยีนเริ่มต้นด้วยจุดเริ่มต้นของยีน (Start Codons) หรือไม่ และตรวจสอบว่าในแต่ละยีนต้องมีอย่างน้อย 1 เอิกซอน และขนาดของยีนต้องหารด้วย 3 ลงตัว หลังจากนั้นดูว่า อินทรอนแต่ละ อินทรอนนั้นต้นด้วย GT หรือ ดอว์เนอว์ (donor site) และจบด้วย AG หรือ แอคเชพเตอว์ (acceptor site) ซึ่งดอว์เนอว์และแอคเชพเตอว์นี้เป็นลักษณะเฉพาะของยีนข้าวและยีนสิ่งมีชีวิตประเทศาเมลงวันผลไม้โดยที่ใช้บอกขอเป็นข้อของอินทรอนแต่ละอินทรอน ต่อมาตรวจสอบว่า ไม่มีจุดสิ้นสุด สิ้นสุดด้วย TAA หรือ TAG หรือ TGA (Stop Codon) และสุดท้ายตรวจสอบว่า ไม่มีจุดสิ้นสุด

ของยีนแทรกอยู่ภายในส่วนของเอ็กซอน หลังจากทำการสารสอดข้อมูลแล้วจะได้ข้อมูลสายนิวคลีอิโไทด์ข้าวจำนวน 237 สายนิวคลีอิโไทด์ จากข้อมูลจำนวน 237 สายนี้จะมาจากการไม่แน่นที่ 1 – 8 โครงการกลุ่มที่ยังไม่รู้ว่าจะจัดอยู่ในครั้งไม่แน่ (Unknown) ในการแบ่งกลุ่มข้อมูลนั้นจะแบ่งเป็น ข้อมูลสอน (Training set) จำนวน 217 สายซึ่งจะมาจากทุกครั้งไม่แน่ สำหรับชื่อสายนิวคลีอิโไทด์ที่ใช้เป็นข้อมูลสอนและขนาดสามารถดูได้ที่ภาคผนวก ก และข้อมูลทดสอบ (Testing set) จำนวน 20 สาย ซึ่งก็มาจากทุกครั้งไม่แน่ เช่นกัน

### วิธีที่ใช้ในการค้นหาข้อมูล

หลังจากได้ข้อมูลที่จะใช้สอนและทดสอบโปรแกรมแล้วจะต้องเลือกวิธีที่ใช้ในการค้นหา บีน สำหรับวิธีโดยทั่วไปที่ใช้ในการค้นหาบีน มีทั้งหมด 3 วิธี คือ

1. วิธีการเทียบสายนิวคลีอิโไทด์ใหม่กับสายนิวคลีอิโไทด์ที่รู้จักแล้วหรือสายนิวคลีอิโไทด์ที่หาไปร่วมนี้ได้แล้วซึ่งมาจากฐานข้อมูลโปรตีน (Search by Sequence Similarity) สำหรับโปรแกรมที่ใช้วิธีนี้ คือ BLASTX

2. วิธีhabriogenที่เกี่ยวข้องกับการควบคุมการแสดงออกของยีน (Search by Signal) วิธีนี้จะนำหาน้ำหนาส่วนต่าง ๆ ที่สำคัญในยีน เช่น ส่วนโปรดิวเตอร์ (Promoter) บริเวณที่มีRNA-polymarajib (Ribosome Binding site) บริเวณที่ควบคุมการสร้างโปรตีน (regulatory elements) จุดเริ่มต้นของยีน (Start Codon) ลำดับเบสซ้ำ (repetitive sequence) บริเวณที่เป็น CpG Islands บริเวณที่มีการเติม poly-A เป็นต้น เพื่อที่จะใช้ลักษณะพิเศษเหล่านี้ช่วยในการค้นหาบีน

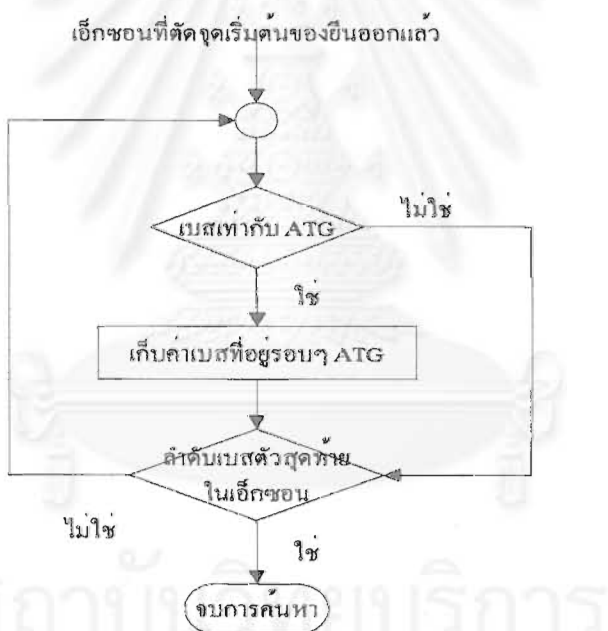
3. วิธีหาคุณสมบัติทางสถิติของลำดับเบสในสายดีเอ็นเอ (Search by Content) วิธีนี้จะให้ค่าสถิติเกี่ยวกับคุณสมบัติของดีเอ็นเอ เช่น หาความถี่ในการเกิดเบสที่ตำแหน่งของโคดอนต่างๆ ความแตกต่างเกี่ยวกับความถี่ในการเกิดกรดอะมิโนชนิดต่างๆ สัดส่วนการใช้โคดอน (Codon preference) เป็นต้น ซึ่งค่าเหล่านี้จะแตกต่างกันไปในสิ่งมีชีวิตที่ต่างชนิดกัน

สำหรับในงานวิจัยนี้จะเลือกใช้ 2 วิธี คือ วิธีการหาบริเวณที่เกี่ยวข้องกับการควบคุมการแสดงออกของยีน (Search by Signal) และ วิธีการหาคุณสมบัติทางสถิติของลำดับเบสในสายดีเอ็นเอ (Search by Content)

## การหาบริเวณที่เกี่ยวข้องกับการควบคุมการแสดงออกของยีน (Search by Signal)

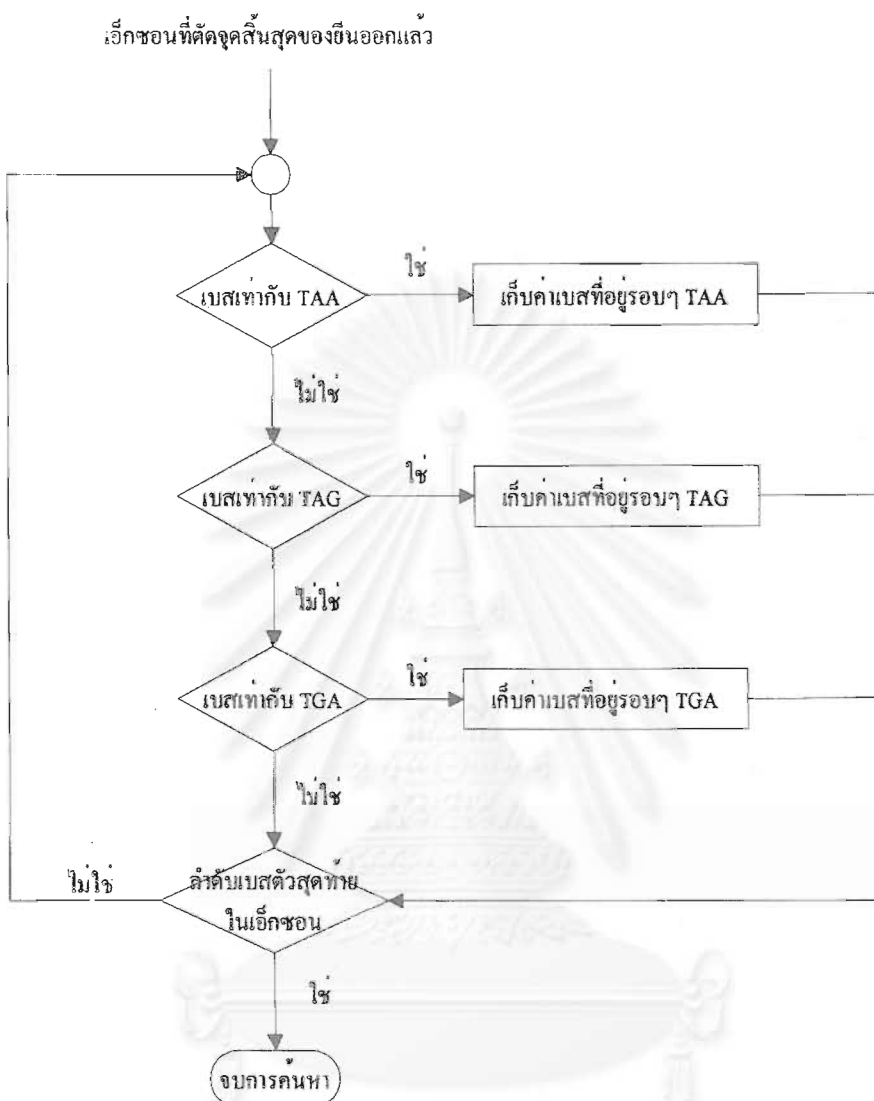
การหาบริเวณที่เกี่ยวข้องกับการควบคุมการแสดงออกของยีน จะใช้เมตริกซ์น้ำหนัก (Weight Matrix) ซึ่งเป็นการหาความถี่ของเบสแต่ละชนิด ที่แต่ละตำแหน่งของลำดับเบสในบริเวณควบคุม จากนั้นหารด้วยความถี่ของการพบเบสที่แต่ละตำแหน่งของบริเวณที่ไม่ใช่บริเวณควบคุมตัวเลขที่ได้จะแสดงโอกาสของการพบเบสนั้นๆ หากน้อยกว่าปกติเป็นกีเท่าไนแต่ละตำแหน่งจากนั้นเอาค่าความน่าจะเป็นที่ได้ไปหาลอกการวิธีมของตัวเลขนั้นๆ สำหรับบริเวณการควบคุมการแสดงออกของยีนที่เลือกใช้ในการหานี้จะมี 4 บริเวณ ดังนี้

1. จุดเริ่มต้นของยีน (ATG) โดยจะเก็บข้อมูลความถี่ของเบสระหว่างตำแหน่งที่ -8 ถึง 5 รอบๆ ATG ที่ทำหน้าที่เป็นจุดเริ่มต้นของยีน และ เก็บข้อมูลความถี่ของเบสระหว่างตำแหน่งที่ -8 ถึง 5 รอบๆ ATG ได้ ที่ไม่ได้ทำหน้าที่เป็นจุดเริ่มต้นของยีน ดังแสดงในรูปที่ 3.1



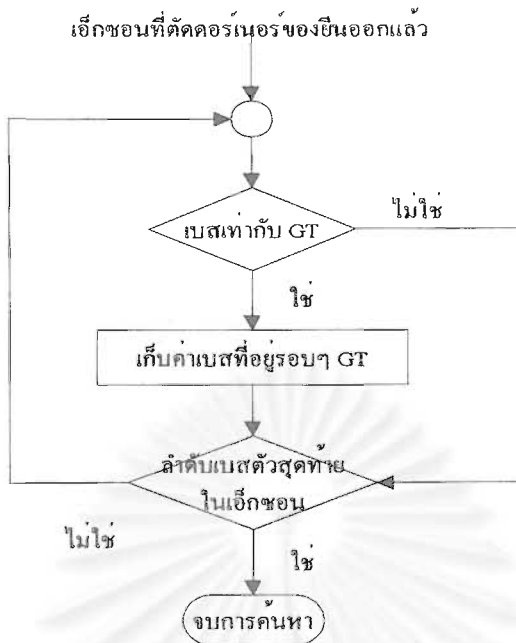
รูปที่ 3.1 วิธีการค้นหาบริเวณที่ไม่ใช่จุดเริ่มต้นของยีน

2. จุดสิ้นสุดของยีน (TAA TGA และ TAG) โดยจะเก็บข้อมูลความถี่ของเบสระหว่างตำแหน่งที่ -5 ถึง 3 รอบๆ TAA TGA หรือ TAG ที่ทำหน้าที่เป็นจุดสิ้นสุดของยีน และ เก็บข้อมูลความถี่ของเบสระหว่างตำแหน่งที่ -5 ถึง 3 รอบๆ TAA TGA หรือ TAG ที่ไม่ได้ทำหน้าที่เป็นจุดสิ้นสุดของยีน ดังแสดงในรูปที่ 3.2



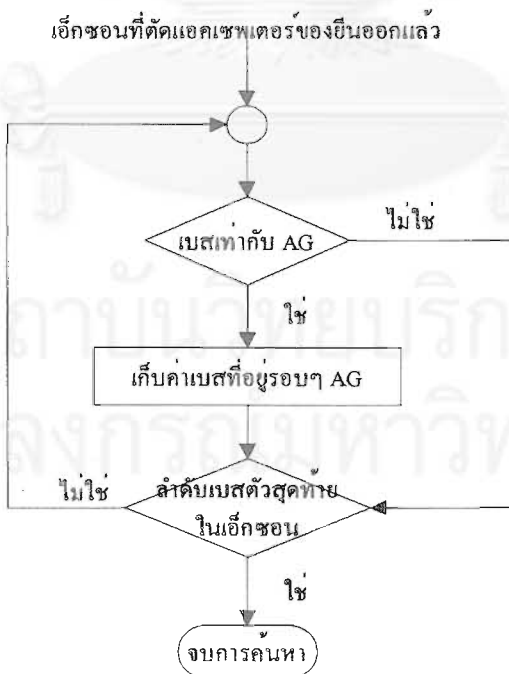
ຮູບທີ 3.2 ວິທີການຄັ້ນຫາບົຣິເວັນທີ່ໄມ້ໃໝ່ຈຸດສິນສູດຂອງຍືນ

3. ດອວັນເນອົງ (GT) ໂດຍຈະເກີບຂໍ້ອຸ່ມລຸຂອງເບລະວ່າງຕໍ່ແໜ່ງທີ່ -3 ລື້ງ 5 ຮອບາ GT ທີ່ກຳ  
ໜ້າທີ່ເປັນດອວັນເນອົງຂອງຍືນ ແລະ ເກີບຂໍ້ອຸ່ມຄວາມດື່ນຂອງເບລະວ່າງຕໍ່ແໜ່ງທີ່ -3 ລື້ງ 5 ຮອບາ GT  
ດີ່າທີ່ໄມ້ໄດ້ກຳທຳໜ້າທີ່ເປັນດອວັນເນອົງຂອງຍືນ ດັ່ງແສດງໃນຮູບທີ່ 3.3



ຮູບທີ 3.3 ວິທີກາຣົນຫາບົວລິເວັນທີ່ມີໃຊ້ຄອງເນອົວຂອງບືນ

4. ແອກເຫັນເຕີຣ໌ (AG) ໂດຍເກັບຂໍ້ມູນຂອງເບສະໜວງຕຳແໜ່ງທີ່ -22 ລຶ້ງ 1 ລອບໆ AG ທີ່  
ທຳນັ້ນທີ່ແອກເຫັນເຕີຣ໌ຂອງບືນ ແລະ ເກັບຂໍ້ມູນຄວາມຖືຂອງເບສະໜວງຕຳແໜ່ງທີ່ -22 ລຶ້ງ 1 ລອບໆ  
AG ໄດ້ ທີ່ມີໄດ້ທຳນັ້ນທີ່ເປັນແອກເຫັນເຕີຣ໌ຂອງບືນ ດັ່ງແສດງໃນຮູບທີ 3.4

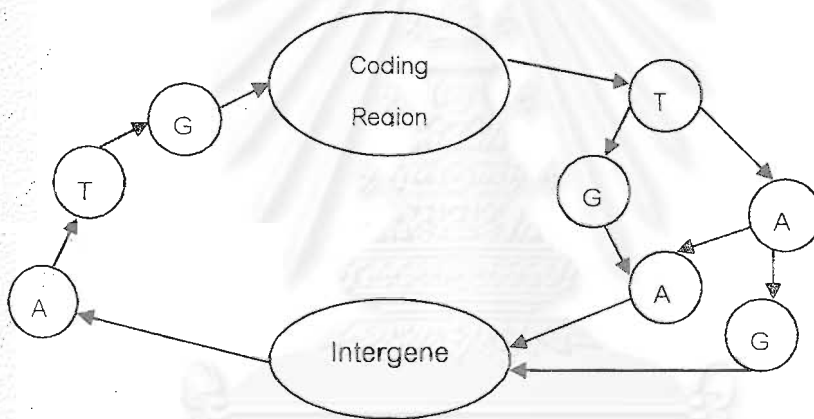


ຮູບທີ 3.4 ວິທີກາຣົນຫາບົວລິເວັນທີ່ມີໃຊ້ແອກເຫັນເຕີຣ໌ຂອງບືນ

จากนั้นนำข้อมูลทั้งหมดที่ได้จากการอ่านดังกล่าวทั้ง 4 บรรทัดไปหาค่าเมตริกซ์น้ำหนักเพื่อนำไปใช้เป็นค่าพารามิเตอร์ในการค้นหาข้อต่อไป

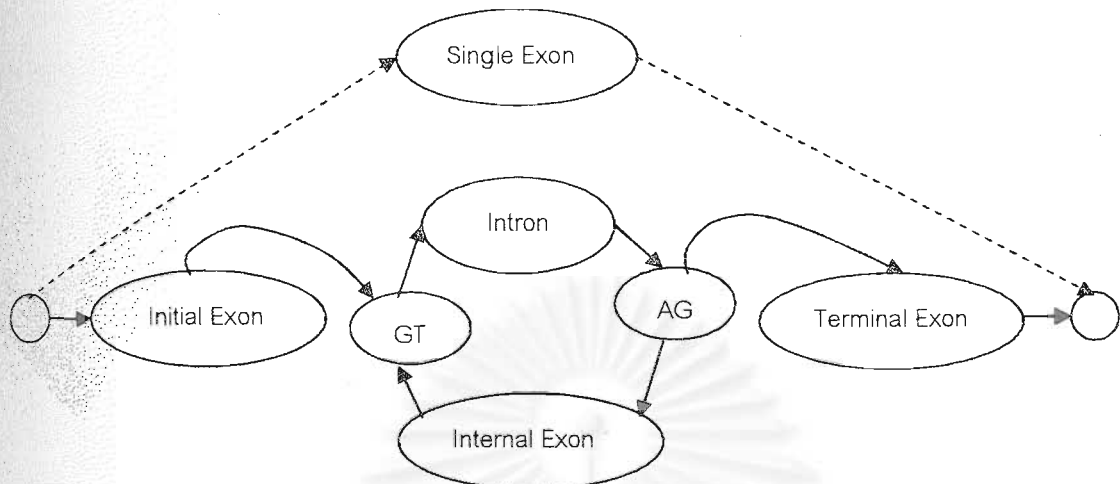
### การหาคุณสมบัติทางสถิติของลำดับเบสในสายดีเอ็นเอ (Search by Content)

การหาคุณสมบัติทางสถิติของลำดับเบสในสายดีเอ็นเอ เป็นวิธีการที่ใช้ในการวิเคราะห์คุณสมบัติของลำดับเบสที่ใช้สร้างโปรตีนในยีน (Coding region) ซึ่งจะมีลักษณะเฉพาะแตกต่างกันในสิ่งมีชีวิตแต่ละชนิด เพราะแนวโน้มการใช้คด/on ในยีนจะมีส่วนในการกำหนดลำดับเบสของดีเอ็นเอ ในการวิเคราะห์คุณสมบัติดังกล่าวของดีเอ็นเอจะใช้วิธีมาร์คคอฟโมเดลลำดับที่ 5 (5<sup>th</sup> Order Markov Model)



รูปที่ 3.5 แบบจำลองภาพรวมทั้งหมด

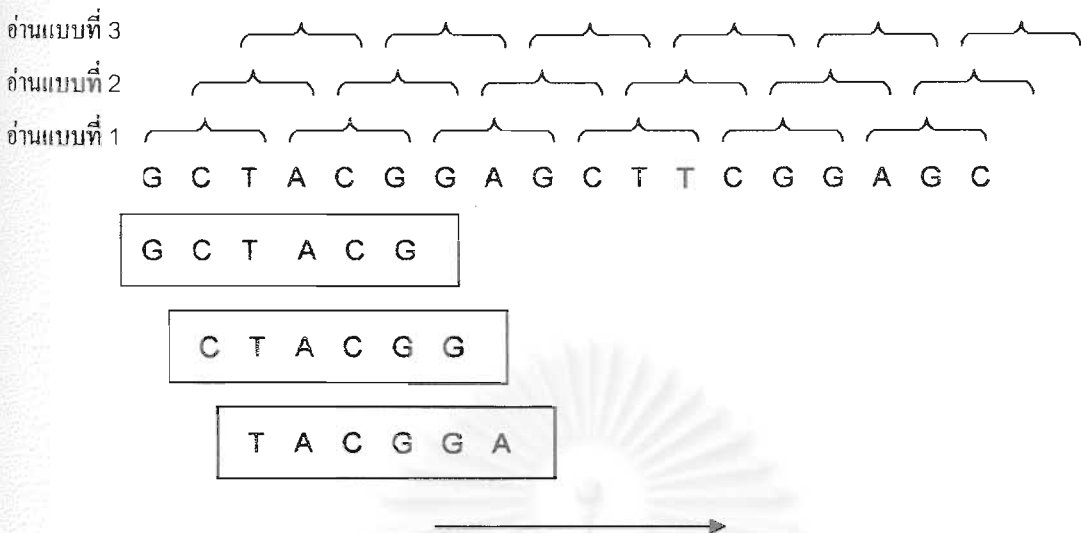
สำหรับการออกแบบโมเดลภาพรวมของการค้นหาข้อต่อไปจะมีลักษณะดังรูปที่ 3.5 เริ่มต้นจาก ATG ที่เป็นจุดเริ่มต้นของยีน ไปยังบริเวณที่จะถูกแปลงเป็นโปรตีน (Coding region) ซึ่งภายในจะมีอีกชุดและอินทรอนอยู่ และจบด้วยจุดสิ้นสุดของยีนซึ่งเป็นไปได้สามแบบ คือ TAA TAG และ TGA ต่อจากนั้นก็จะเป็นเบสที่ไม่ใช้ยีนแต่จะค้นอยู่ระหว่างยีนสองยีน (Intergene)



รูปที่ 3.6 โมเดลส่วนที่เป็นยีน (coding region model)

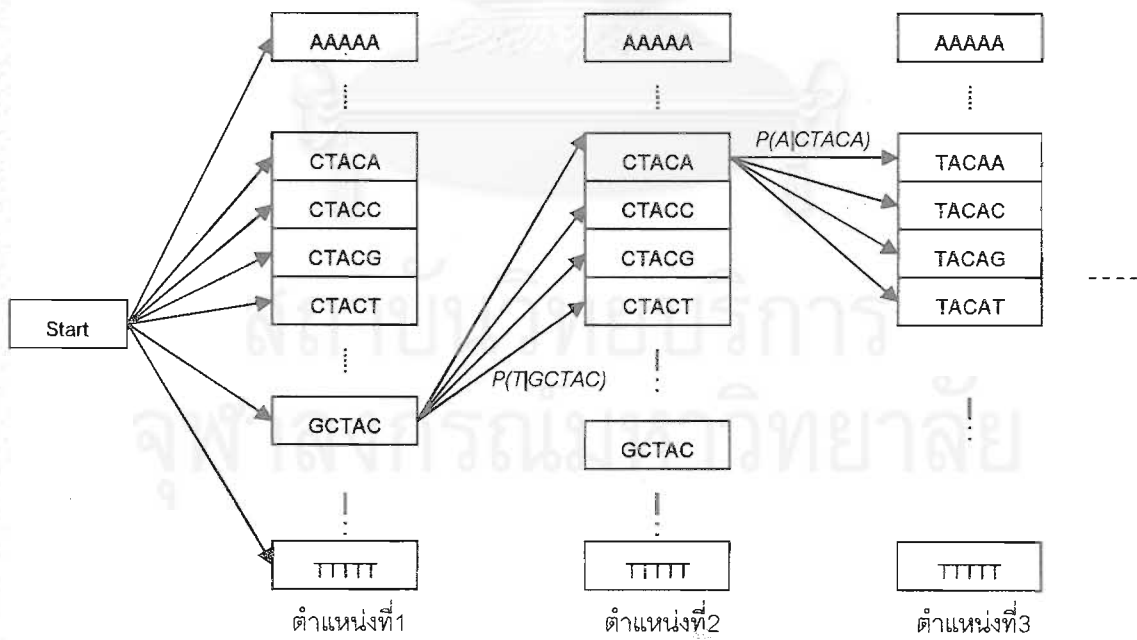
โมเดลในส่วนของยีน แสดงในรูปที่ 3.6 นั้นจะประกอบไปด้วย เอ็กซอน อินทรอน ดอร์เนอร์ (เบส GT) และ แอคเซพเตอร์ (เบส AG) โดยดอร์เนอร์จะเป็นจุดเริ่มต้นของอินทรอน และ แอคเซพเตอร์จะเป็นจุดสิ้นสุดของอินทรอน สำหรับเอ็กซอนจะมีทั้งหมด 4 แบบ ขึ้นกับว่า อยู่ที่ตำแหน่งใด ในกรณีที่ยีนมีเพียง 1 เอ็กซอน (Single Exon) ก็จะไปตามเส้นประของโมเดลซึ่ง จะเป็นเอ็กซอนที่อยู่ระหว่างจุดเริ่มต้นกับจุดสิ้นสุดของยีน ส่วนเส้นเข้มในโมเดลนั้นแสดงแทนกรณีที่ยีนมีมากกว่า 1 เอ็กซอน โดยในนี้จะต้องประกอบไปด้วย เอ็กซอนเริ่มต้น (Initial Exon) และ เอ็กซอนสุดท้าย (Terminal Exon) ส่วนเอ็กซอนกลาง (Internal Exon) นั้นจะมีหรือไม่มีก็ได้ หรืออาจจะมีมากกว่า 1 ก็ได้

สำหรับโมเดลในส่วนของเอ็กซอนนั้น เนื่องจากสายดีเอ็นເโอแต่ละสาย (Forward Strand และ Complementary Strand) สามารถอ่านได้ 3 แบบ (3 Reading Frames) ซึ่งคุณสมบัตินี้ ก็ได้ขึ้นจากการที่โคดอนเกิดจากการเรียงตัวกันของเบสสามตัวดังนั้นทำให้สายนิวคลีอ�다ร์ 1 สาย สามารถอ่านได้ 3 แบบขึ้นอยู่กับว่าเริ่มอ่านที่ตำแหน่งใดของโคดอน ดังรูป 3.7



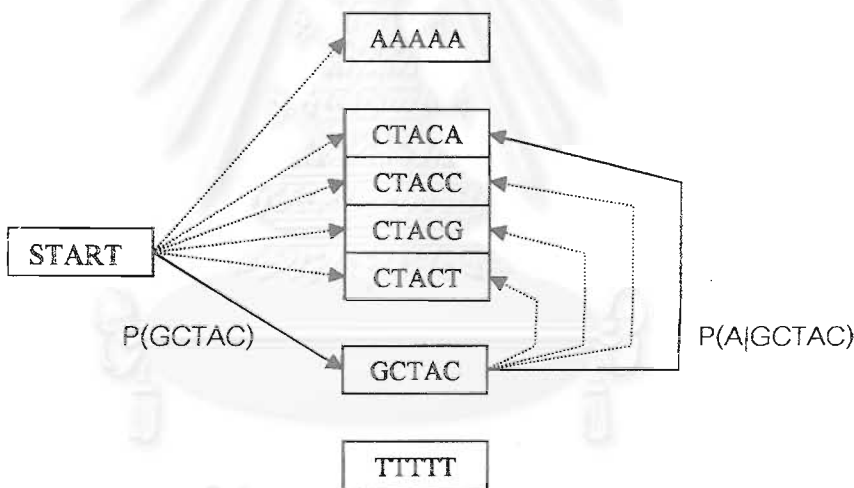
รูปที่ 3.7 การอ่านสายนิวคลีโอไฮด์ 3 แบบ

การอ่านนิวคลีโอไฮด์สามารถอ่านได้ 3 แบบนี้ ทำให้ในการสร้างโมเดลในส่วนของ เอกซอนต้องหาค่าพารามิเตอร์ของมาร์คอฟโมเดลตามตำแหน่งของโคดอนซึ่งมี 3 ตำแหน่ง ดังรูปที่ 3.8 เช่น ค่าพารามิเตอร์  $A_{\text{AA}} = P(A|CTACA)$  จะต้องหาทั้งหมด 3 ค่า คือ  $A_{\text{AA}} = P(A|CTACA)$ ,  $A_{\text{AT}} = P(A|CTACC)$ , และ  $A_{\text{AC}} = P(A|CTACG)$



รูปที่ 3.8 โมเดลเอกซอนที่มีการกำหนดตามตำแหน่งของโคดอน

เนื่องจากเราใช้มาრ์คอฟโมเดลลำดับที่ 5 ดังนั้นจึงต้องมีพารามิเตอร์ที่เป็นค่าความน่าจะเป็นเริ่มต้น (Initial probabilities) คือตั้งแต่สถานะ AAAAA จนกระทั่งถึงสถานะ TTTTT ทั้งหมดเท่ากับ 1024 ค่า ( $4^4 \cdot 4^4 \cdot 4^4 \cdot 4^4$ ) และเนื่องจากความแตกต่างกันในการเริ่มข่านค่าที่ตำแหน่งโดยตอนต่าง ๆ ดังนั้นจึงต้องคิดค่าพารามิเตอร์ที่เป็นค่าความน่าจะเป็นเริ่มต้นของทั้งตำแหน่งโดยตอนที่ 1 2 และ 3 ตามลำดับ ดังนั้นจึงมีค่าความน่าจะเป็นเริ่มต้นทั้งสิ้น 3072 ค่า สำหรับวิธีการคำนวณค่าความน่าจะเป็นในการเกิดชีเคนแบบต่างๆ สามารถคิดได้ดังรูปที่ 3.9 ซึ่งแสดงวิธีการคำนวณหาค่าความน่าจะเป็นในการเกิดชีเคน GCTACA โดยค่าความน่าจะเป็นในการเกิด GCTACA จะเท่ากับ  $P(GCTAC) * P(A|GCTAC)$  ดังนั้นค่าความน่าจะเป็นในการเปลี่ยนสถานะ (Transition probabilities) จึงมีจำนวนทั้งสิ้น 4096 ค่า ( $4^4 \cdot 4^4 \cdot 4^4 \cdot 4^4$ ) และเช่นเดียวกับค่าความน่าจะเป็นเริ่มต้นที่จะต้องหาตามตำแหน่งโดยตอนตัวอย่าง ดังนั้นจึงมีค่าความน่าจะเป็นในการเปลี่ยนสถานะทั้งสิ้น 12288 ค่า



รูปที่ 3.9 วิธีคำนวณหาค่าความน่าจะเป็นของมาร์คอฟโมเดลลำดับที่ 5

ในการคำนวณของโปรแกรมนั้นจะนำค่าพารามิเตอร์ไป nal ของการทีมอิกครั้ง เนื่องมาจากค่าพารามิเตอร์ที่ได้มาเมื่อนำมาคูณกันเข้าจะได้เลขที่เป็นจำนวนเล็กมาก อาจทำให้เกิดปัญหานในการคำนวณของเครื่องคอมพิวเตอร์ขึ้นได้ (Underflow)

## ขั้นตอนของการค้นหาเบิน

หลังจากรับข้อมูลสายนิวคลีโอไทด์ที่ต้องการค้นหาเบินแล้ว โปรแกรมจะมีขั้นตอนการทำงานดังแสดงในรูปที่ 3.14 ซึ่งมีรายละเอียดดังนี้ คือ

1. หากดีเริมต้น(ATG) จุดสิ้นสุด (TGA TAG หรือ TAA) ดอร์เนอร์ (GT) และ แอคเชพเตอร์ (AG) ที่เป็นไปได้ทั้งหมดของสายนิวคลีโอไทด์โดยใช้ค่าพารามิเตอร์จากเมตาวิธี น้ำหนัก

1.1 จุดเริมต้น (ATG) คำนวณค่า Log-odds Ratio ที่ตำแหน่งที่ -8 ถึง 5 รอบๆ เปส ATG ในสายนิวคลีโอไทด์

1.2 จุดสิ้นสุด (TGA TAG หรือ TAA) คำนวณค่า Log-odds Ratio ระหว่าง ตำแหน่งที่ -5 ถึง 3 รอบๆ เปส TAA TGA หรือ TAG ในสายนิวคลีโอไทด์

1.3 ดอร์เนอร์ (GT) คำนวณค่า Log-odds Ratio ระหว่างตำแหน่งที่ -3 ถึง 5 รอบๆ เปส GT ในสายนิวคลีโอไทด์

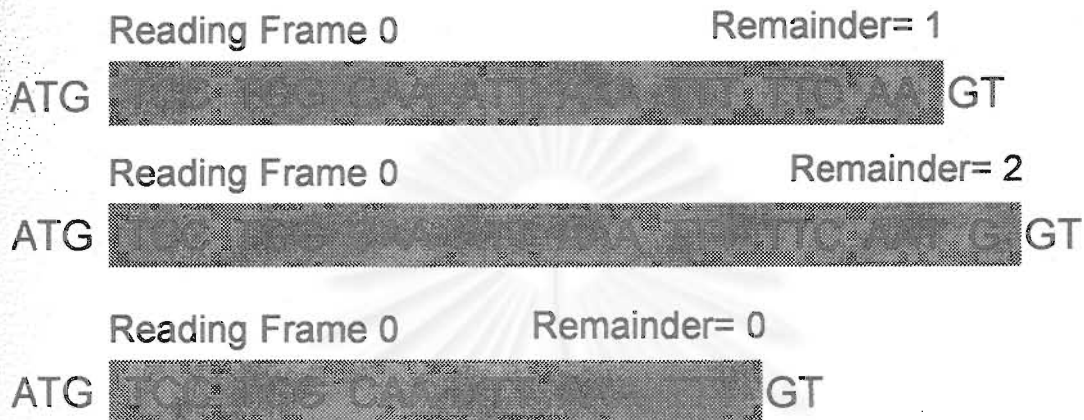
1.4 แอคเชพเตอร์ (AG) คำนวณค่า Log-odds Ratio ระหว่างตำแหน่งที่ -22 ถึง 1 รอบๆ เปส AG ในสายนิวคลีโอไทด์

จากจุดเริมต้น (ATG) จุดสิ้นสุด (TGA TAG หรือ TAA) ดอร์เนอร์ (GT) และ แอคเชพเตอร์ (AG) ที่เป็นไปได้ทั้งหมดนั้นจะคัดแต่เฉพาะที่มีค่าเกินค่าที่กำหนดไว้เท่านั้น โดย ค่าที่กำหนดจะคิดจากค่าต่าที่สุดที่สามารถเป็นไปได้ของปริมาณต่าง ๆ

2. หาเอ็กซอนที่เป็นได้ทั้งหมดโดยใช้ตำแหน่งของ จุดเริมต้นของยีน ดอร์เนอร์ แอคเชพเตอร์ และจุดสิ้นสุดของยีน

2.1 หาเอ็กซอนที่เป็นเอ็กซอนเริมต้น (Initial Exon) ซึ่งจะอยู่ระหว่างจุดเริมต้น ของยีน และ ดอร์เนอร์ โดยเริ่มจากจุดเริมต้นของยีน (ATG) ไปยังทุก ดอร์เนอร์ (GT) ที่อยู่ติด จากจุดเริมต้นของยีนโดยจะต้องไม่มีจุดสิ้นสุดของยีน (TAA ,TAG หรือ TGA) แทรกอยู่ ในกรณีที่ จากจุดเริมต้น (ATG) เดียวกันสามารถหาเอ็กซอนเริมต้นได้มากกว่าหนึ่งให้เลือกเฉพาะ เอ็กซอน ที่มีค่าความน่าจะเป็นของดอร์เนอร์สูงๆ และให้ค่า Reading Frame เท่ากับ 0 จากนั้นหาค่าเดซที่ เหลือเมื่อนำค่าความยาวหารด้วย 3 เพื่อให้ได้ขนาดเบสอีกตัวจึงจะสามารถแปลงเป็น โคดอนได้

ครบ ( หารด้วยสามลงตัว) และเก็บไว้เป็นค่า Remainder ซึ่งมีค่าได้ตั้งแต่ 0 1 และ 2 (ค่า Remainder และ Reading Frame นี้ไว้ใช้ในการรวมยืน) ตัวอย่างการคิด Reading Frame และ Remainder ของเอ็กซอนแรกดังแสดงในรูปที่ 3.10



รูปที่ 3.10 การคิด Reading Frame และ Remainder ของเอ็กซอนแรก

2.2 หาเอ็กซอนที่เป็นเอ็กซอนกลาง (Internal Exon) ซึ่งจะอยู่ระหว่าง ดอร์เนอร์ และ แอคเชพเตอร์ เริ่มจากแอคเชพเตอร์ (AG) ไปยังทุกๆ ดอร์เนอร์ (GT) ที่อยู่ถัดไป จากแอคเชพเตอร์โดยจะต้องไม่มีจุดสิ้นสุดของยืน (TA, TAG หรือ TGA) แทรกอยู่ ในการนี้ที่จาก แอคเชพเตอร์ (AG) เดียวกันสามารถหา เอ็กซอนกลางได้มากกว่าหนึ่ง ให้เลือกเฉพาะเอ็กซอนที่มี ค่าความนำžeเป็นของ ดอร์เนอร์สูงที่สุดจำนวน 5 ดอร์เนอร์ ในการหาเอ็กซอนกลางจะต้องหา จากทุก Reading Frame (0 1 และ 2) จากนั้นก็จะหาจุดสิ้นสุดของยืนในแต่ละ Reading Frame และจากนั้นจึงหาดอร์เนอร์ที่อยู่ภายใต้จุดสิ้นสุดของยืน และนำความยาวของเอ็กซอนที่ได้ บวกกับ ค่า Reading Frame และหารด้วยสาม เพื่อหาเศษเหลือ เพื่อหาว่ายังขาดเบลอกีตัวร่องจะครบ ตำแหน่งของโคดอนจากนั้นนำค่าสัมประสิทธิ์ไปเก็บไว้เป็นค่า Remainder ตัวอย่างการคิดค่า Reading Frame และ Remainder ของเอ็กซอนกลางจะแสดงดังรูปที่ 3.11

|    |                        |              |
|----|------------------------|--------------|
|    | Reading Frame 2        | Remainder= 1 |
| AG | GTGCGTCAATTCGAACTTGAT  | GT           |
|    | Reading Frame 1        | Remainder= 2 |
| AG | GTCGCGTCAATTCGAACTTGAT | GT           |
|    | Reading Frame 0        | Remainder= 0 |
| AG | GTGCGTCAATTCGAACTTGAT  | GT           |

รูปที่ 3.11 การคิด Reading Frame และ Remainder ของເອັກຂອນກາລາງ

2.3 หาເອັກຂອນທີ່ເປັນເອັກຂອນສຸດທ້າຍໃນຢືນ (Terminal Exon) ສິ່ງຈະອໝ່ຽວຮ່ວງແອັດເຫັນສູດຂອງຢືນ ເວີມຫາຈາກແອັດເຫັນສູດຂອງຢືນໄປຢັ້ງຈຸດສິ້ນສູດຂອງຢືນທີ່ອໝູ້ຄົດໄປໂດຍຫາໃນທຸກ Reading Frame (0 1 ແລະ 2) ແລະ ໄກສໍາ Remainder ທ່າກັນ 0 ດ້ວຍຍ່າງການ  
ກົດ Reading Frame ແລະ Remainder ຂອງເອັກຂອນສຸດທ້າຍ ດັ່ງແສດງໃນຮູບທີ່ 3.12

|    |                       |               |
|----|-----------------------|---------------|
|    | Reading Frame 2       | Remainder = 0 |
| AG | GTGCGTCAATTCGAACTTGAT | TGA           |
|    | Reading Frame 1       | Remainder = 0 |
| AG | GTGCGTCAATTCGAACTTGAT | TAA           |
|    | Reading Frame 0       | Remainder = 0 |
| AG | GTGCGTCAATTCGAACTTGAT | TAG           |

ຮູບທີ່ 3.12 ການກົດ Reading Frame ແລະ Remainder ຂອງເອັກຂອນສຸດທ້າຍ

2.4 หาเอ็กซอนที่เป็นเอ็กซอนเดี่ยว ๆ ในยีน (Single Exon) ซึ่งจะอยู่ระหว่างจุดเริ่มต้นของยีน กับ จุดสิ้นสุดของยีน เวิ่นหาจุดเริ่มต้นของยีนที่อยู่ใกล้ๆ กับจุดสิ้นสุดของยีน โดยต้องมีความยาวจากจุดเริ่มต้นของยีนไปยังจุดสิ้นสุดของยีนที่หารด้วยสามลงตัว (แปลงเป็นโคดอนได้ทุกตัว) ตัวอย่างการคิด Reading Frame และ Remainder ของเอ็กซอนเดี่ยว ดังแสดงในรูปที่

3.13

|     | Reading Frame 0   | Remainder= 0 |
|-----|---|--------------|
| ATG | T T G C A A T T T T T G C T T T T T T T T T G           | TAG          |
|     | Reading Frame 0   | Remainder= 0 |
| ATG | T T A T G A T T A T T C A A T G C T A T G A T G A       | TGA          |
|     | Reading Frame 0   | Remainder= 0 |
| ATG | T T T G C A A A T T G A T G C T T T T T T T T T T T A A | TAA          |

รูปที่ 3.13 การคิด Reading Frame และ Remainder ของเอ็กซอนเดี่ยว

3 คำนวน Log-odds Ratio เป็นของเอ็กซอนโดยใช้ค่าพารามิเตอร์ของมาร์คอฟไมเดลลำดับที่ 5 จากค่า Log-odds Ratio ของเอ็กซอนทั้งหมด จะเลือกแต่เฉพาะเอ็กซอนที่มีค่า Log-odds Ratio มากกว่าค่าที่กำหนดให้เท่านั้น โดยคำนวนดังนี้

เอ็กซอนแรก = ค่า Log-odds Ratio ของจุดเริ่มต้นของยีน + ค่า Log-odds Ratio ของมาร์คอฟไมเดล + ค่า Log-odds Ratio ของดอร์เนอร์

เอ็กซอนกลาง = ค่า Log-odds Ratio ของแอคเซปเตอร์ + ค่า Log-odds Ratio ของมาร์คอฟไมเดล + ค่า Log-odds Ratio ของดอร์เนอร์

เอ็กซอนสุดท้าย = ค่า Log-odds Ratio ของแอคเซปเตอร์ + ค่า Log-odds Ratio ของมาร์คอฟไมเดล + ค่า Log-odds Ratio ของจุดสิ้นสุดของยีน

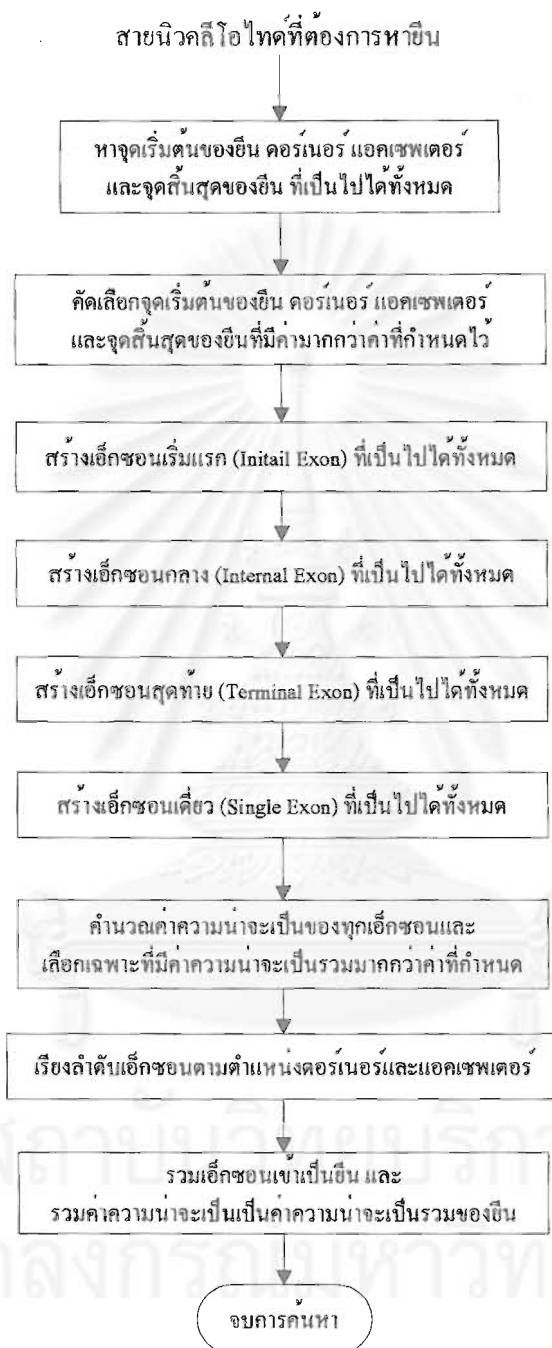
เอ็กซอนเดี่ยว = ค่า Log-odds Ratio ของจุดเริ่มต้นของยีน + ค่า Log-odds Ratio ของมาร์คอฟไมเดล + ค่า Log-odds Ratio ของจุดสิ้นสุดของยีน

โดยค่า Log-odds Ratio ของมาร์คอฟไมเดลนี้จะหาจากตำแหน่งของโคดอน (3 Reading frames) หรือ ค่า Reading Frame (0 1 และ 2)

4 จากເອັກຂອນເວີມຕົ້ນ ເອັກຂອນກລາງ ແລະ ເອັກຂອນສຸດທ້າຍຈະຕ້ອງນຳມາເຮື່ອງລຳດັບ  
ຕາມແອຄເຫັນເພື່ອຫາວ່າເອັກຂອນໃດຈັດອູ້ໃນຢືນເດີຍກັນບ້າງ

5 ລວມເອັກຂອນເຂົ້າເປັນຢືນ ແລະ ລວມຄໍາ Log-odds Ratio ຂອງເອັກຂອນເຂົ້າເປັນຄໍາ Log-odds Ratio ລວມຂອງຢືນ ໃນການລວມຢືນຈະໃຫ້ຄໍາ Reading Frame ແລະ Remainder ໃນການລວມຢືນ  
ໂດຍເອັກຂອນແກຣດັ່ງນີ້ Reading frame ເທົກັບ 0 ຈະມີRemainder ເທົາໄດ້ ແຕ່ Remainder  
ຂອງເອັກຂອນແກຣ ເມື່ອລວມກັບຄໍາ Reading Frame ຂອງເອັກຂອນດັ່ງໄປແລ້ວຈະຕ້ອງມີຄໍາລວມທີ່ການດ້ວຍ  
ສາມແລ້ວຈະຕ້ອງໄມ່ແລ້ວເສັ້ນ (Remainder 0 ລວມກັບ Reading Frame 0 Remainder 1 ລວມກັບ  
Reading Frame 2 ແລະ Remainder 2 ລວມກັບ Reading Frame 1) ການທຳເຊັ່ນນີ້ຈະທຳໃຫ້ການ  
ຍາວງາມທັງໝົດຂອງທຸກເອັກຂອນໃນຢືນຈະຕ້ອງການດ້ວຍສາມລົງດ້ວຍ (ແປ່ລັງເປັນໂຄດອນໄດ້ໜົດທຸກເບີສ  
ໃນຢືນ)

## ສານັບວິທຍບົງກາ ຈຸ່າພ້າລັງກຽມໜ້າວິທຍາລ້າຍ



รูปที่ 3.14 ขั้นตอนวิธีการค้นนายืน

## การพัฒนาโปรแกรม

เราได้พัฒนาโปรแกรมค้นหาบีนข้าวโดยใช้ภาษาซี Borland C++ builder มีชื่อว่า RGF (Rice Gene Finding program) โปรแกรม RGF จะทำงานบนระบบปฏิบัติการวินโดว์บันเครื่องคอมพิวเตอร์ส่วนบุคคล ข้อมูลนำเข้าของโปรแกรมจะมี 2 แฟ้มข้อมูล คือ ข้อมูลสายนิวเคลียติกที่ต้องการหาบีนที่อยู่ในรูปแบบ FASTA และ แฟ้มข้อมูลพารามิเตอร์ซึ่งประกอบด้วยความน่าจะเป็นเริ่มต้น ความน่าจะเป็นในการเปลี่ยนสถานะ และเมตริกซ์น้ำหนักของบริเวณต่างๆ

สำหรับการทำงานของโปรแกรม RGF จะเริ่มต้นจากค้นหาบริเวณต่างๆ เช่น จุดเริ่มต้นของยีน จุดสิ้นสุดของยีน ดอร์โนร์ และแอคเชพเตอร์ โดยใช้เมตริกซ์น้ำหนักเพื่อหาบริเวณที่เป็นไปได้ทั้งหมด โดยค่าเมตริกซ์น้ำหนักจะคำนวณเป็นค่าลอกการีทึม จากนั้นคำนวณหาเอ็กซอนที่เป็นไปได้ทั้งหมดโดยใช้ค่าความน่าจะเป็นเริ่มต้น และค่าความน่าจะเป็นในการเปลี่ยนสถานะของมาრคوفโมเดลลำดับที่ 5 โดยคำนวณค่าเป็นลอกการีทึมเช่นกัน จากนั้นนำเอ็กซอนที่ได้มาเรียงตามค่าความน่าจะเป็น และ รวมเอ็กซอนที่น่าจะเป็นยืนเดียวกันมารวมกัน โดยเอ็กซอนแรกจะต้องอยู่ระหว่างจุดเริ่มต้นของยีน กับดอร์โนร์ เอ็กซอนกลางจะอยู่ระหว่างดอร์โนร์และแอคเชพเตอร์ เอ็กซอนสุดท้ายจะอยู่ระหว่างดอร์โนร์กับจุดสิ้นสุดของยีน ผ่านเอ็กซอนเดียวจะอยู่ระหว่างจุดเริ่มต้นของยีนกับจุดสิ้นสุดของยีน จากนั้นนำค่าความน่าจะเป็นของเอ็กซอนมารวมกันเพื่อเป็นค่าความน่าจะเป็นรวมของยีน จากนั้นนำยีนที่ได้มาแสดงผล ซึ่งผลที่ได้จากการ RGF จะมีลักษณะดังนี้

พุธ 19 มิถุนายน 2002 10:46:20

Parameter File: d:\RiceProject\include\Oryza.txt Sequence File: C:\My Documents\Data\AP002867.fasta

Length of Input DNA sequence = 146480 bytes

Max score Genes 32 genes. Score = 2089.145287

Gene 1(Reverse). 4 exons. Score = 23.762019

| Terminal exon | From | 218  | To | 735  | 19.71 | - |
|---------------|------|------|----|------|-------|---|
| Internal exon | From | 925  | To | 1090 | -1.29 | - |
| Internal exon | From | 2892 | To | 2987 | 1.88  | - |
| First exon    | From | 3394 | To | 3433 | 3.46  | - |

Gene 2(Forward). 1 exons. Score = 20.067993

| Single exon | From | 5700 | To | 6098 | 20.07 | + |
|-------------|------|------|----|------|-------|---|
|             |      |      |    |      |       |   |

รูปที่ 3.15 ผลที่ได้จากการ RGF

ผลลัพธ์จากโปรแกรมในรูปที่ 3.15 จะบอกรายละเอียดดังนี้ คือ วันที่แล้วเวลาที่ส่งให้โปรแกรมทำงาน ซึ่งเพิ่มข้อมูลพารามิเตอร์ ชื่อสายนิวเคลียต์โอลิเก็ตที่เป็นข้อมูลนำเข้า ขนาดความยาวของสายข้อมูลนำเข้า จำนวนยืนที่หาได้ทั้งหมด และรายละเอียดของแต่ละยืนรวมทั้ง รายละเอียดของ เอ็กซอนภายในยืนนั้นๆ สำหรับรายละเอียดของเอ็กซอนจะมีดังนี้ คือ ตำแหน่งเริ่มต้นของ เอ็กซอน ตำแหน่งสุดท้ายของเอ็กซอน ค่าความกว้างเป็นของเอ็กซอน และบอกว่า เอ็กซอนนั้นอยู่ที่สายใด

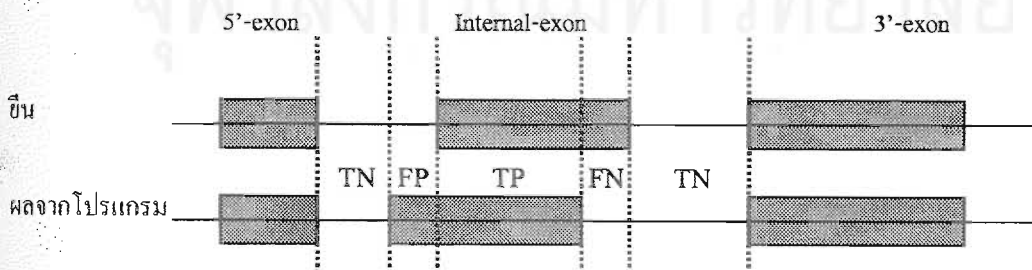
### วิธีการทดสอบผลของโปรแกรม

ในขั้นตอนการทดสอบผลของโปรแกรม RGF จะนำข้อมูลที่แบ่งไว้เป็นข้อมูลทดสอบ จำนวน 20 สายนิวเคลียต์โอลิเก็ต หรือ 547 ยืน มาทดสอบผลของโปรแกรม โดยนำผลที่ได้จากโปรแกรมมาเปรียบเทียบกับยืนจริงๆ ของข้อมูลทดสอบ จากนั้นนำมาคำนวณค่าทางสถิติที่ใช้วัดประสิทธิภาพของโปรแกรมในการค้นหายืน ซึ่งจะวัดผลของค่า 2 ค่า ดังนี้ คือ Sensitivity (Sn) และ Specificity (Sp) จากสูตรตามสมการที่ (3.1) และสมการที่ (3.2) ตามลำดับ

$$\text{Sensitivity} = \frac{\text{TP}}{\text{TP} + \text{FN}} \quad (3.1)$$

$$\text{Specificity} = \frac{\text{TP}}{\text{TP} + \text{FP}} \quad (3.2)$$

สำหรับค่า TP TN FP และ FN สามารถหาได้โดยเทียบผลลัพธ์ที่ได้จากโปรแกรมหานั้น กับสายนิวเคลียต์โอลิเก็ตที่หายใจไว้แล้ว ดังรูปที่ 3.16



รูปที่ 3.16 บริเวณที่เป็น TP TN FP และ FN

- โดยที่ TP แทน true positive ซึ่งเป็นบริเวณที่เป็นเอ็กซอนและสามารถบอกรู้ได้ถูกต้อง
- TN แทน true negative เป็นบริเวณที่ไม่ใช่เอ็กซอนและสามารถบอกรู้ได้ถูกต้อง
- FP แทน false positive บริเวณที่ระบุผิดพลาดโดยบอกว่าเป็นเอ็กซอนแต่จริงๆ แล้วบริเวณนั้นไม่ใช่เอ็กซอน
- FN แทน false negative บริเวณที่ระบุผิดพลาดโดยบอกว่าไม่ใช่เอ็กซอนแต่จริงๆ แล้ว บริเวณนั้นเป็นเอ็กซอน
- Sn แทน อัตราส่วนของ ส่วนของเอ็กซอนที่สามารถระบุได้ถูกต้องโดยโปรแกรม เทียบกับ เอ็กซอนจริงๆในยืน
- Sp แทน อัตราส่วนของ ส่วนของเอ็กซอนที่สามารถระบุได้ถูกต้องโดยโปรแกรม เทียบกับเอ็กซอนที่ทำนายได้จากโปรแกรม



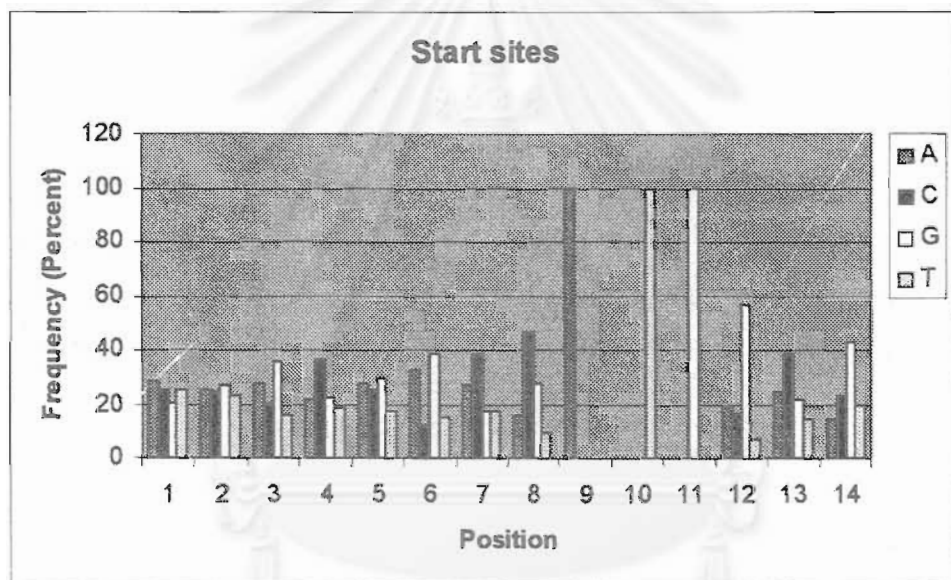
สถาบันวิทยบริการ  
จุฬาลงกรณ์มหาวิทยาลัย

## บทที่ 4

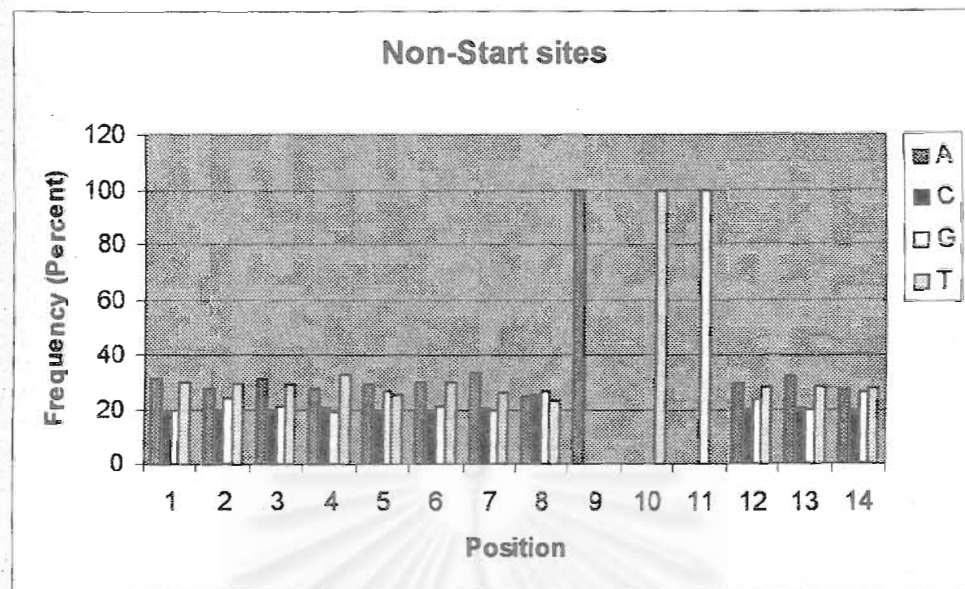
### ผลการทดสอบ

#### ผลที่ได้จากการหาค่าพารามิเตอร์ของโปรแกรม

จากการหาพารามิเตอร์แบบเมตวิกซ์น้ำหนักสำหรับบริเวณที่เป็นจุดเริ่มต้นของยีน  
จุดสินสุดของยีน คอร์โนร์ และแอกเชปเตอร์ ทำให้ได้ความถี่ของการพบเบส ณ ตำแหน่งต่างๆ  
ดังต่อไปนี้



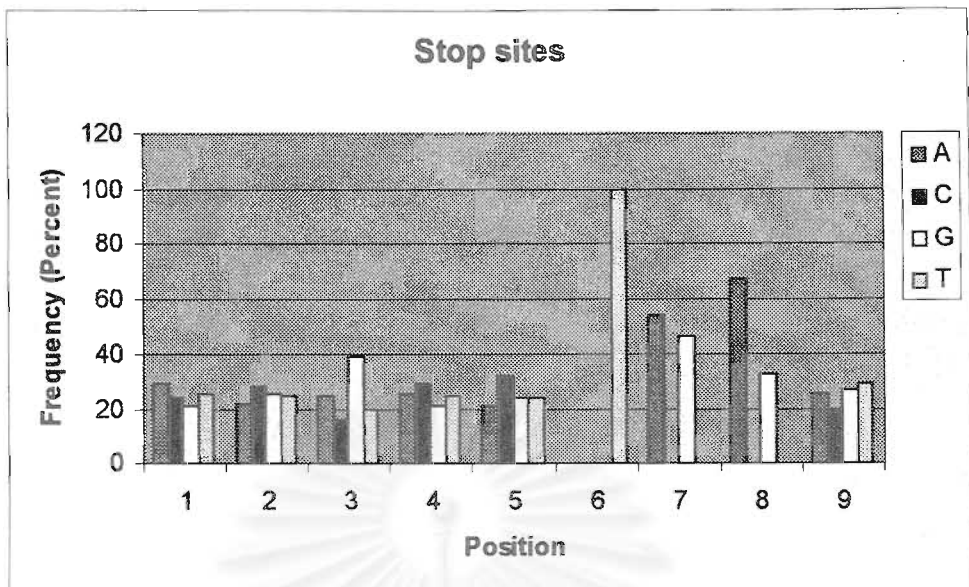
รูปที่ 4.1 ความถี่ของเบสรอบ ๆ ATG ที่เป็นจุดเริ่มต้นของยีน



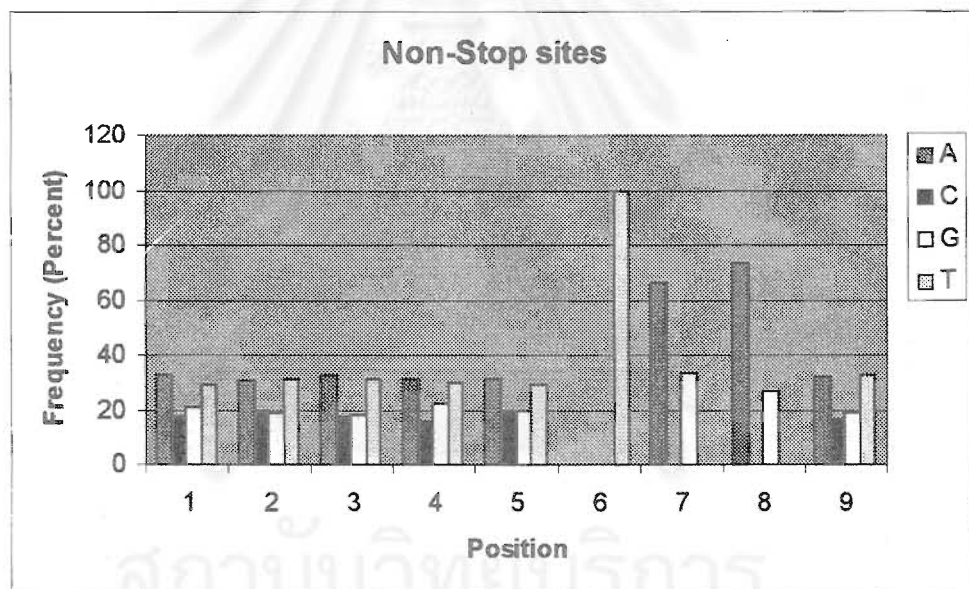
รูปที่ 4.2 ความถี่ของเบสรอบ ๆ ATG ที่ไม่ใช่จุดเริ่มต้นของยีน

กราฟในรูปที่ 4.1 แสดงความถี่ของเบสรอบห่วงตำแหน่งที่ -8 ถึง 5 รอบๆ ATG ที่เป็นจุดเริ่มต้นของยีน และ กราฟในรูปที่ 4.2 แสดงความถี่ของเบสรอบห่วงตำแหน่งที่ -8 ถึง 5 รอบๆ ATG ที่ไม่ใช่จุดเริ่มต้นของยีน จะเห็นว่าเบสที่ตำแหน่งรอบๆ ATG ที่ไม่ใช่จุดเริ่มต้นของยีน จะมีการเปลี่ยนความถี่ในการพบเบสต่างๆ ซึ่งต่างกับกราฟที่แสดงความถี่ของเบสรอบๆ จุดเริ่มต้นของยีน ซึ่งจะมีเบส C กับเบส G มากกว่าเบส A และ T เนื่องมาจากลักษณะสำคัญของยีนประเภทมุคาวิโอดที่จะการพบบริเวณที่เรียกว่า CpG Island อยู่บริเวณใกล้ ๆ ก่อนที่จะพบจุดเริ่มต้นของยีน

สถาบันวิทยบริการ  
จุฬาลงกรณ์มหาวิทยาลัย

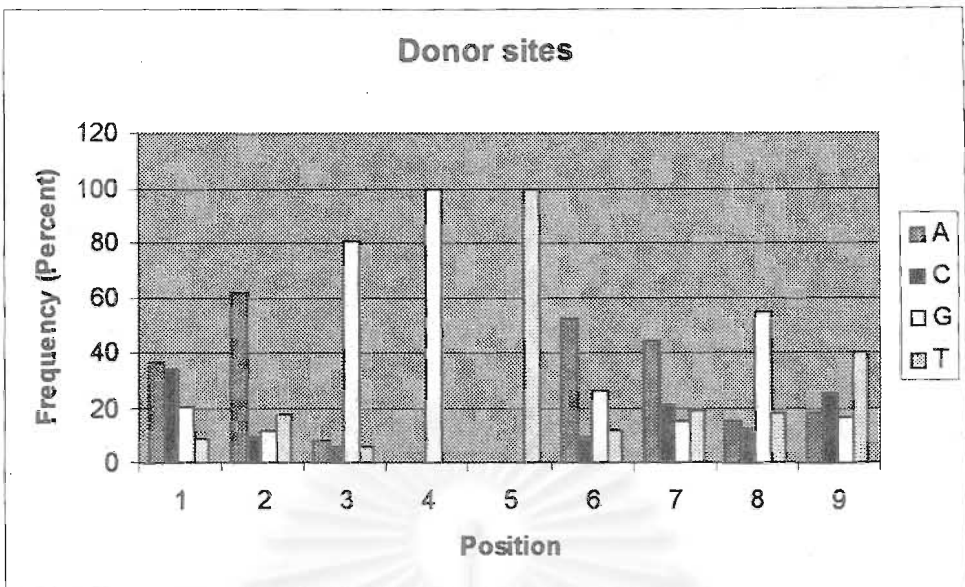


รูปที่ 4.3 ความถี่ของเบสรอบๆ TAA TGA หรือ TAG ที่เป็นจุดสิ้นสุดของยีน

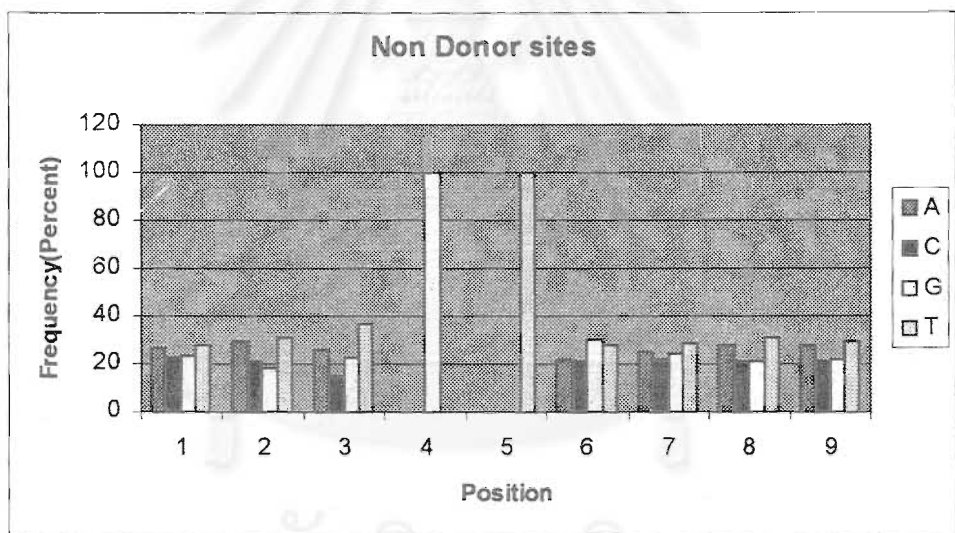


รูปที่ 4.4 ความถี่ของเบสรอบๆ TAA TGA หรือ TAG ที่ไม่ใช่จุดสิ้นสุดของยีน

กราฟรูปที่ 4.3 แสดงความถี่ของเบสรอบห่วงตัวແண່ງที่ -8 ถึง 5 รอบๆ TAA TGA หรือ TAG ซึ่งเป็นจุดสิ้นสุดของยีน และ กราฟรูปที่ 4.4 แสดงความถี่ของเบสรอบห่วงตัวແண່ງที่ -5 ถึง 3 รอบๆ TAA TGA หรือ TAG ที่ไม่ใช่จุดสิ้นสุดของยีน จะเห็นว่าความถี่ของเบสรอบๆ TAA TGA หรือ TAG ที่ไม่ใช่จุดสิ้นสุดของยีนจะมีความถี่ในการพับเบส A และเบส T มากกว่า

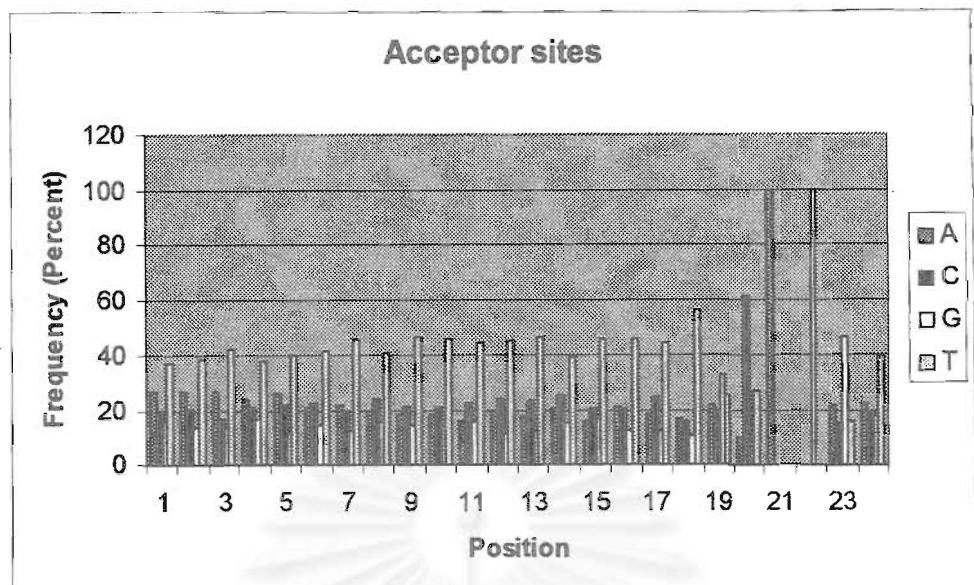


รูปที่ 4.5 ความถี่ของเบสระหัวงตำแหน่งที่ -3 ถึง 5 รอบๆ GT ที่เป็นดอร์เนคร์ของยีน

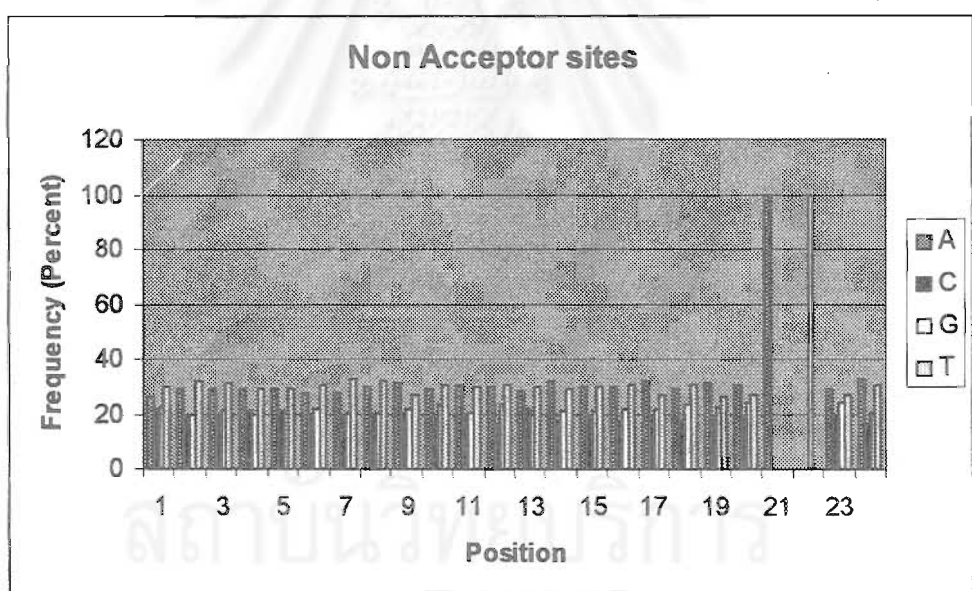


รูปที่ 4.6 ความถี่ของเบสระหัวงตำแหน่งที่ -3 ถึง 5 รอบๆ GT ที่ไม่ใช่ดอร์เนคร์ของยีน

กราฟรูปที่ 4.5 แสดงความถี่ของการพบเบสระหัวงตำแหน่งที่ -3 ถึง 5 รอบๆ GT ที่เป็นทำน้ำที่เป็นดอร์เนคร์ของยีน และ กราฟรูปที่ 4.6 แสดงความถี่ของเบสระหัวงตำแหน่งที่ -3 ถึง 5 รอบๆ GT ที่ไม่ใช่ดอร์เนคร์ของยีน จะพบว่าจากความถี่ที่แสดงในกราฟทำให้สามารถหารูปแบบของดอร์เนคร์ได้ โดยพบว่าส่วนมากดอร์เนคร์ที่พบในยีนข้าวจะมีรูปแบบดังนี้คือ AAGGTAAGT หรือ CAGGTAAGT



รูปที่ 4.7 ความถี่ของเบสระหว่างตำแหน่งที่ -22 ถึง 1 รอบๆ แอคเชพเตอร์ของยีน

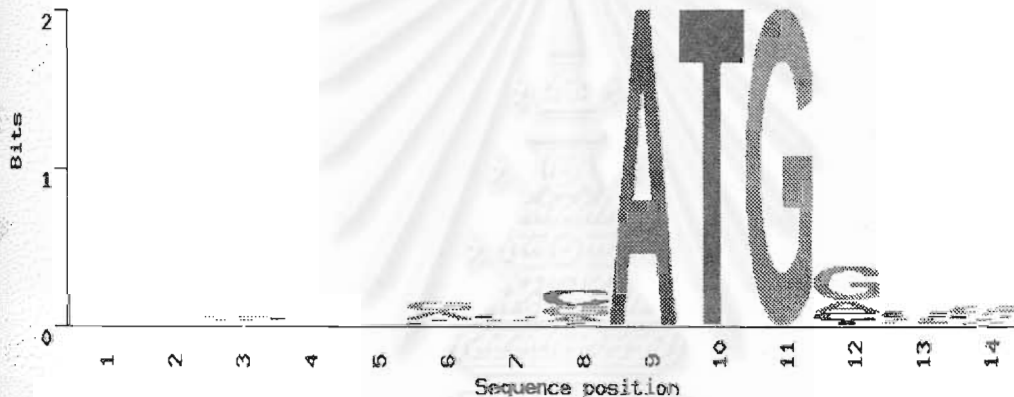


รูปที่ 4.8 ความถี่ของเบสระหว่างตำแหน่งที่ -22 ถึง 1 รอบๆ AG ที่ไม่ใช่แอคเชพเตอร์ของยีน

กราฟรูปที่ 4.7 แสดงความถี่ของเบสระหว่างตำแหน่งที่ -22 ถึง 1 รอบๆ AG ที่เป็นแอคเชพเตอร์ และ กราฟรูปที่ 4.8 แสดงความถี่ของเบสระหว่างตำแหน่งที่ -22 ถึง 1 รอบๆ AG ที่ไม่ใช่แอคเชพเตอร์ จะเห็นว่าความถี่ในการพับเบสต่างๆ รอบ AG ที่ไม่ใช่แอคเชพเตอร์จะมีโอกาส

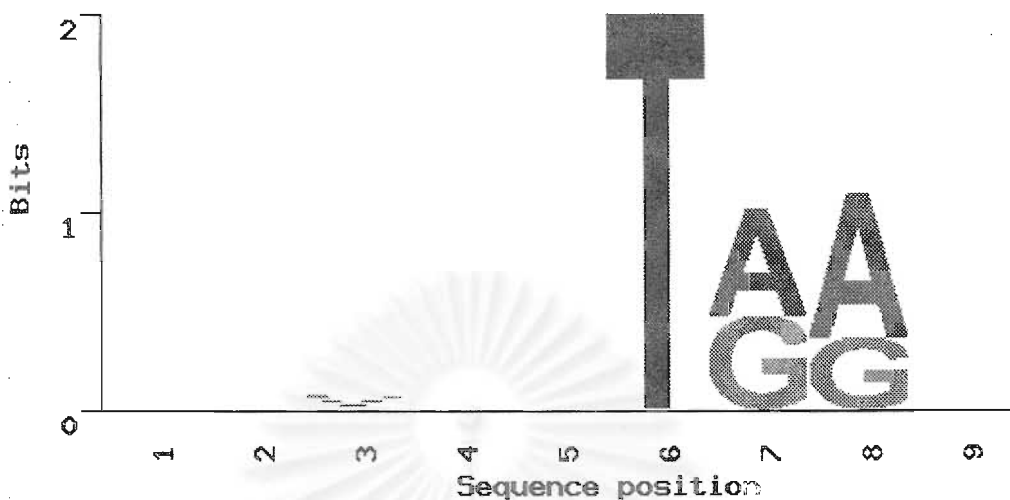
แบบสต่างๆ เคลื่อนกันไป แต่สำหรับความถี่ของการพบเบสรอบ ๆ แอคเซปเตอร์จะพบว่าโดยทั่วไปในยีนข้าวจะมีรูปแบบดังนี้คือ TTTCAGGTTCAGGT

เราสามารถนำผลจากการที่แสดงความถี่ของการพบเบสที่ตำแหน่งต่างๆรอบๆ เริ่มต้นของยีน จุดสิ้นสุดของยีน ดอร์โนร์ และแอคเซปเตอร์ ในรูปที่ 4.1 4.3 4.5 และ 4.7 มาแสดงให้เห็นภาพของบริเวณต่างๆ ได้ชัดเจนยิ่งขึ้นโดยนำมาสร้างเป็นเป็นชีคเคนโลโก้ (sequence logo) ซึ่งชีคเคนโลโก้นี้เป็นวิธีที่นิยมใช้ในงานที่เกี่ยวข้องกับการวิเคราะห์สายพันธุ์โดยเป็นการสร้างภาพแสดงการพบเบสที่ตำแหน่งต่างๆ เพื่อช่วยให้สามารถเห็นรูปแบบการเรียงตัวของเบส ณ ตำแหน่งต่างๆ ได้ชัดเจนยิ่งขึ้น



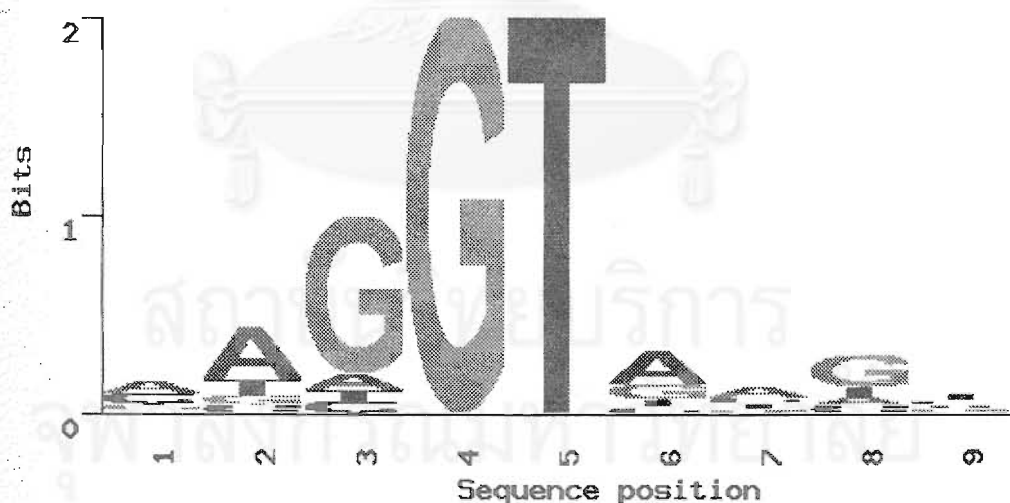
รูปที่ 4.9 ชีคเคนโลโก้แสดงจุดเริ่มต้นของยีนข้าว (ATG)

รูปที่ 4.9 แสดงให้เห็นรูปแบบของบริเวณรอบ ๆ จุดเริ่มต้นของยีน จะพบเบส C กับเบส G มากกว่าที่จะพบเบส A และเบส T ส่วนในตำแหน่งที่ไม่มีสัญลักษณ์ใดเลยในชีคเ肯โลโก้ เช่น ตำแหน่งที่ 1 2 4 และ 5 จะหมายถึงการที่เบสต่างๆ มีอัตราการเกิดพอดังนี้ กัน



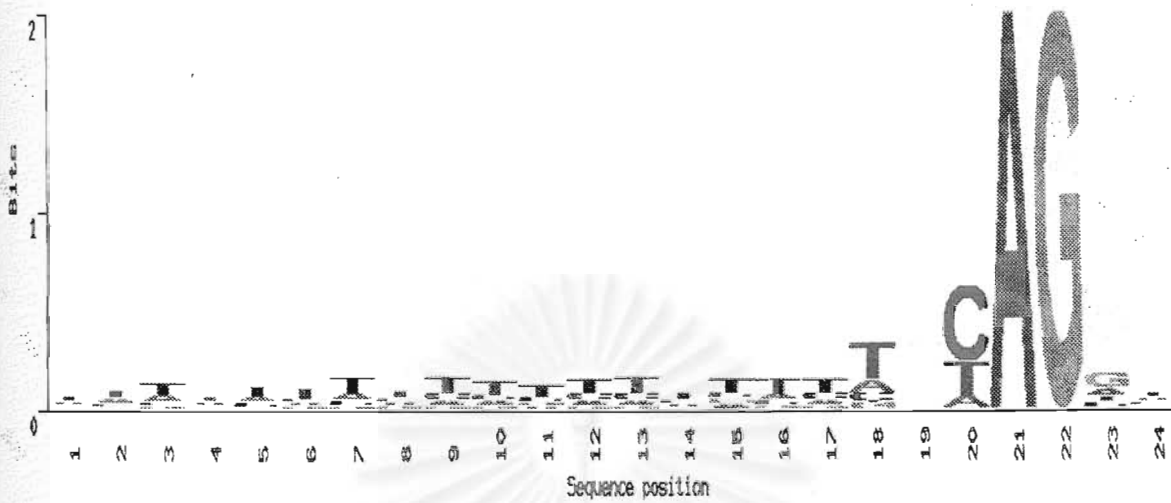
รูปที่ 4.10 ชีคเวนโลโก้แสดงจุดสิ้นสุดของยีนข้าว (TAG TAA และ TGA)

รูปที่ 4.10 แสดงว่าบริเวณรอบ ๆ จุดสิ้นสุดของยีน มีอัตราการพบเบสต่างๆ พอกัน



รูปที่ 4.11 ชีคเวนโลโก้แสดงดอร์เนอร์ของยีนข้าว (GT)

รูปที่ 4.11 แสดงบริเวณรอบ ๆ ดอร์เนอร์ของยีนข้าวพบว่ามีรูปแบบที่พอบอย 2 รูปแบบ คือ AAGGTAAAGT หรือ CAGGTAAAGT



รูปที่ 4.12 ชีเควนโลเก้แสดงแอกเซพเตอร์ของยีนข้าว (AG)

รูปที่ 4.12 แสดงให้เห็นว่าบริเวณก่อนที่จะพบแอกเซพเตอร์จะมีการพบเบส T มากกว่าเบสชนิดอื่น ๆ

สำหรับข้อมูลที่นำมาใช้ในการสร้างกราฟและชีเควนโลเก้นนั้นสามารถได้ที่ภาคผนวก ขผลที่ได้จากการหาจุดทางสถิติของโภคตอนในสายนิวคลีโอไทด์ข้าว

จากการนำข้อมูลสายนิวคลีโอไทด์จำนวน 217 สาย มาใช้เป็นข้อมูลสอนทำให้สามารถได้เรียนรู้ลักษณะเฉพาะบางประการของข้าว ดังนี้

1. ขนาดความยาวเฉลี่ยของເອົກຂອນໃນยีนข้าวจะมีความยาวประมาณ 219.9 ຄູບສ (bp)
2. ขนาดความยาวเฉลี่ยของອິນໂກຣອນໃນยีนข้าวจะมีความยาวประมาณ 296.6 ຄູບສ
3. ອິນໂກຣອນທີ່ມีขนาดສັນທິ່ສຸດມีความยาวประมาณ 57 ຄູບສ
4. ໃນອິນໂກຣອນໂດຍເລື່ອຈະມີ CG content ประมาณ 36.8 %
5. ໃນເອົກຂອນໂດຍເລື່ອຈະມີ CG content ประมาณ 55.5 %

เนื่องจากยีนของสิ่งมีชีวิตต่างชนิดกันจะประกอบไปด้วยโคดอนในปริมาณที่แตกต่างกัน ดังนั้น จากข้อมูลยีนเข้ารหัสทั้งหมดจึงได้นำมาหาความถี่ในการเกิดโคดอนแบบต่าง ๆ ของยีนเข้ารหัสที่ได้ค่าตามตารางที่ 4.1

ตารางที่ 4.1 ความถี่ของโคดอนทั้ง 64 โคดอน ในสายนิวคลีโอไทด์เข้ารหัสที่ใช้เป็นข้อมูลสอน

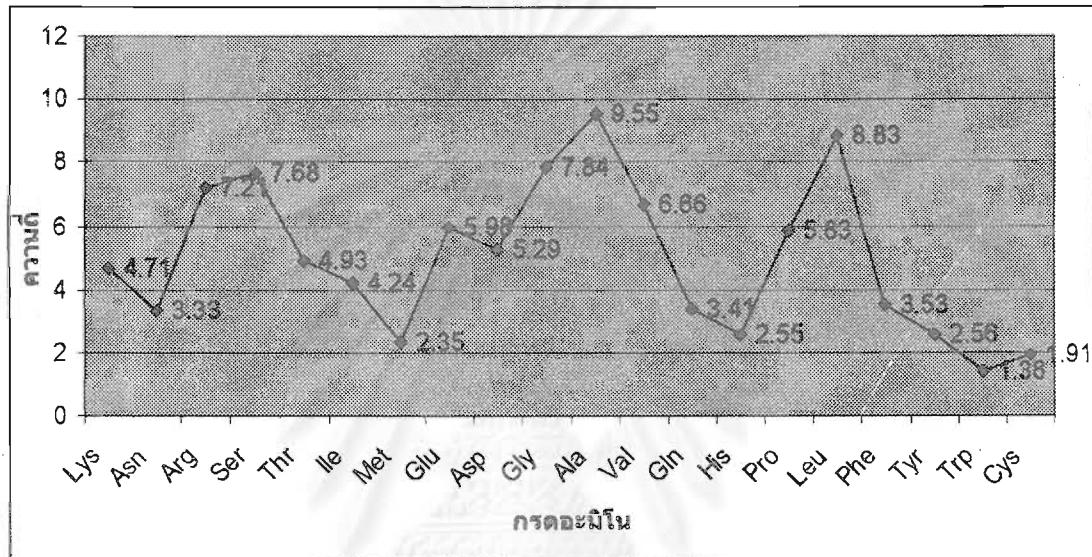
| Codon | Aa  | %    |
|-------|-----|------|-------|-----|------|-------|-----|------|-------|-----|------|
| AAA   | Lys | 1.53 | GAA   | Glu | 2.05 | CAA   | Gln | 1.31 | TAA   | *   | 0.07 |
| AAG   | Lys | 3.18 | GAG   | Glu | 3.93 | CAG   | Gln | 2.10 | TAG   | *   | 0.08 |
| AAC   | Asn | 1.91 | GAC   | Asp | 2.90 | CAC   | His | 1.45 | TAC   | Tyr | 1.59 |
| AAT   | Asn | 1.42 | GAT   | Asp | 2.39 | CAT   | His | 1.10 | TAT   | Tyr | 0.97 |
| AGA   | Arg | 1.01 | GGA   | Gly | 1.57 | CGA   | Arg | 0.71 | TGA   | *   | 0.12 |
| AGG   | Arg | 1.56 | GGG   | Gly | 1.73 | CGG   | Arg | 1.42 | TGG   | Trp | 1.38 |
| AGC   | Ser | 1.61 | GGC   | Gly | 3.08 | CGC   | Arg | 1.74 | TGC   | Cys | 1.30 |
| AGT   | Ser | 0.83 | GGT   | Gly | 1.46 | CGT   | Arg | 0.77 | TGT   | Cys | 0.61 |
| ACA   | Thr | 1.11 | GCA   | Ala | 1.69 | CCA   | Pro | 1.38 | TCA   | Ser | 1.14 |
| ACG   | Thr | 1.19 | GCG   | Ala | 2.72 | CCG   | Pro | 1.84 | TCG   | Ser | 1.24 |
| ACC   | Thr | 1.59 | GCC   | Ala | 3.21 | CCC   | Pro | 1.29 | TCC   | Ser | 1.67 |
| ACT   | Thr | 1.04 | GCT   | Ala | 1.93 | CCT   | Pro | 1.32 | TCT   | Ser | 1.19 |
| ATA   | Ile | 0.83 | GTA   | Val | 0.66 | CTA   | Leu | 0.74 | TTA   | Leu | 0.57 |
| ATG   | Met | 2.35 | GTG   | Val | 2.45 | CTG   | Leu | 2.09 | TTG   | Leu | 1.39 |
| ATC   | Ile | 2.03 | GTC   | Val | 2.06 | CTC   | Leu | 2.59 | TTC   | Phe | 2.27 |
| ATT   | Ile | 1.38 | GTT   | Val | 1.49 | CTT   | Leu | 1.45 | TTT   | Phe | 1.26 |

โดยข้อมูลในตารางจะแสดงรหัสโคดอนทั้ง 64 แบบ (Codon) กรดอะมิโนที่โคดอนตัวนั้นใช้สื่อความหมายแทน (Aa) และเปอร์เซ็นต์ของการพบโคดอนนั้นในยีนเข้ารหัส (%) สำหรับในช่อง Aa ที่มี \* อยู่จะหมายถึงโคดอนตัวนั้นๆ ไม่ได้ใช้สื่อแทนกรดอะมิโนตัวใด ๆ เลย แต่จะใช้สื่อความหมายแทนตัวสิ้นสุดของยีน หรือ Stop Codon

โคดอนที่พบมากในยีนเข้ารหัส GAG ซึ่งสามารถแปลงเป็นกรดอะมิโนกลูตามีน (Glutamine) โดยมีความถี่ที่พบประมาณร้อยละ 3.93 ส่วนโคดอนที่พบน้อยที่สุดในยีนเข้ารหัสคือ

TGA TAG และ TAA ซึ่งเป็นโคดอนที่ใช้ในการบอกรสีน้ำตาลสีน้ำเงินเท่านั้น ไม่สามารถแปลงเป็นกรดอะมิโนได้โดยมีค่าความถี่ที่พบตามลำดับดังนี้ คือ 0.12 0.08 และ 0.07

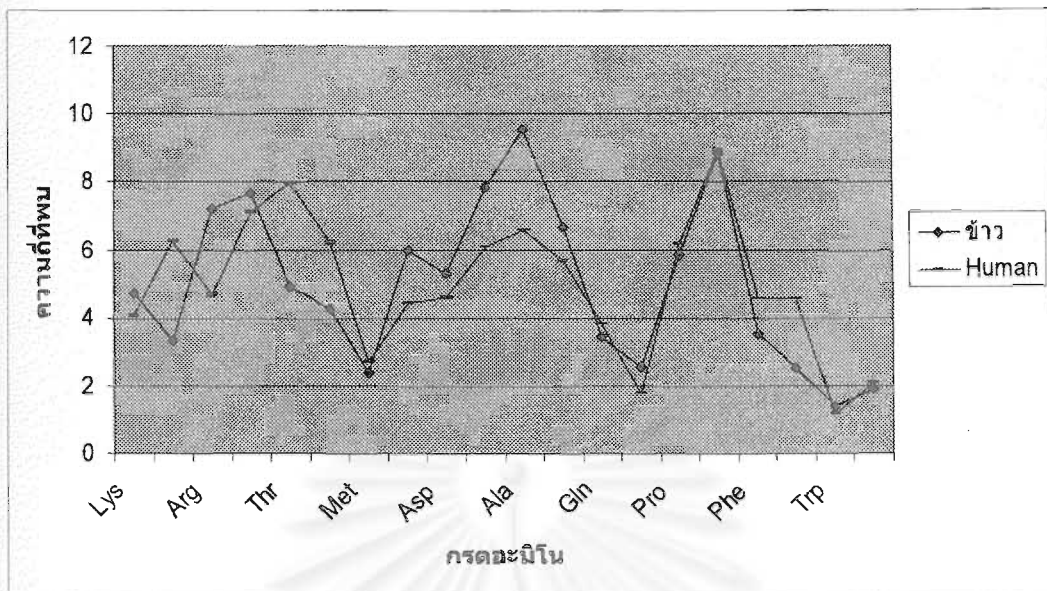
ข้อมูลในตารางที่ 4.1 สามารถหาความถี่ในการพบรกรดอะมิโนชนิดต่างๆ ในยีนข้าวและนำมาสร้างกราฟแสดงความถี่ในการพบรกรดอะมิโนทั้ง 20 ชนิดในยีนข้าวได้ดังรูปที่ 4.13



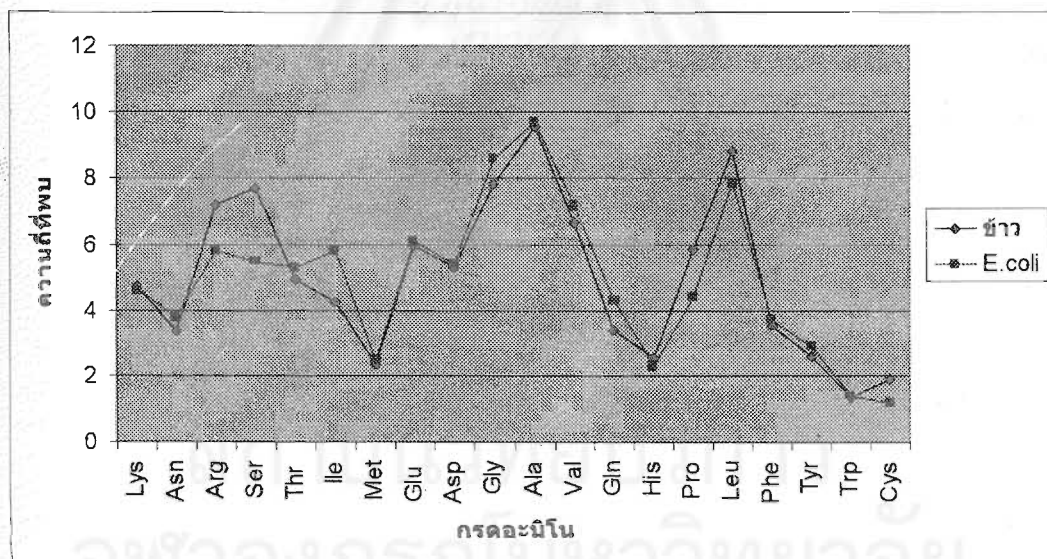
รูปที่ 4.13 ความถี่ของกรดอะมิโนชนิดต่างๆ ในยีนข้าว

กราฟในรูปที่ 4.13 แสดงให้เห็นว่ากรดอะมิโนที่พบมากในยีนข้าว คือ กรดอะมิโนอลานิน (Alanine) โดยมีความถี่ 9.55 เปอร์เซ็นต์ ซึ่งจะเกิดจากโคดอน GCC ประมาณ 3.21 เปอร์เซ็นต์ GCG ประมาณ 2.72 เปอร์เซ็นต์ GCT ประมาณ 1.93 เปอร์เซ็นต์ และ GCA ประมาณ 1.69 เปอร์เซ็นต์

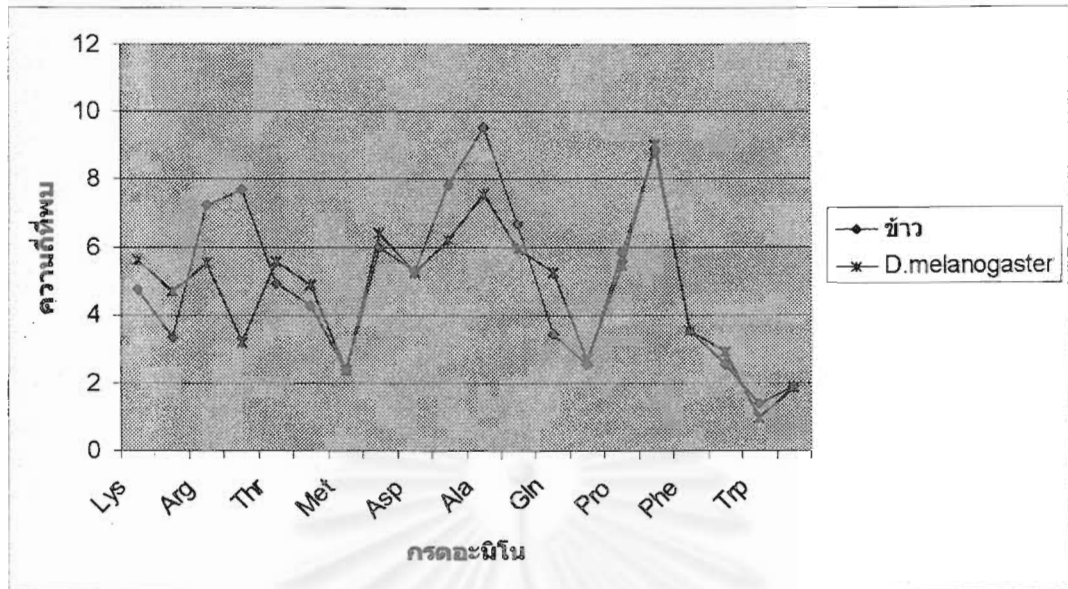
เมื่อนำข้อมูลความถี่ของการพบรกรดอะมิโนในยีนข้าวมาเปรียบเทียบกับการพบรกรดอะมิโนในสิ่งมีชีวิตชนิดต่างๆ จะได้ผลดังรูปที่ 4.14 – 4.19



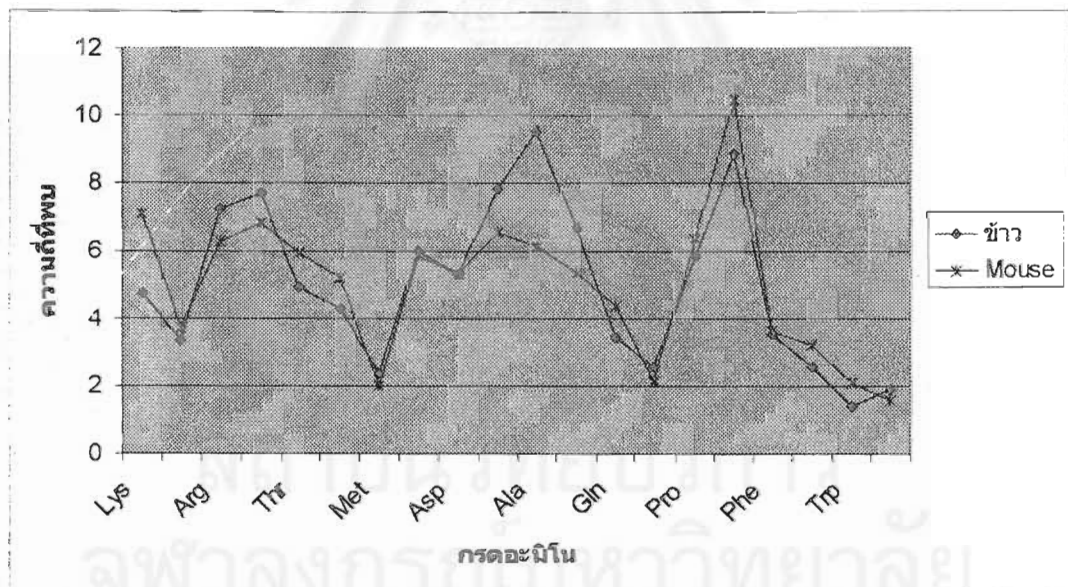
รูปที่ 4.14 เปรียบเทียบการพบรดอะมิโนในเยื่อข้าวกับเยื่อมนุษย์



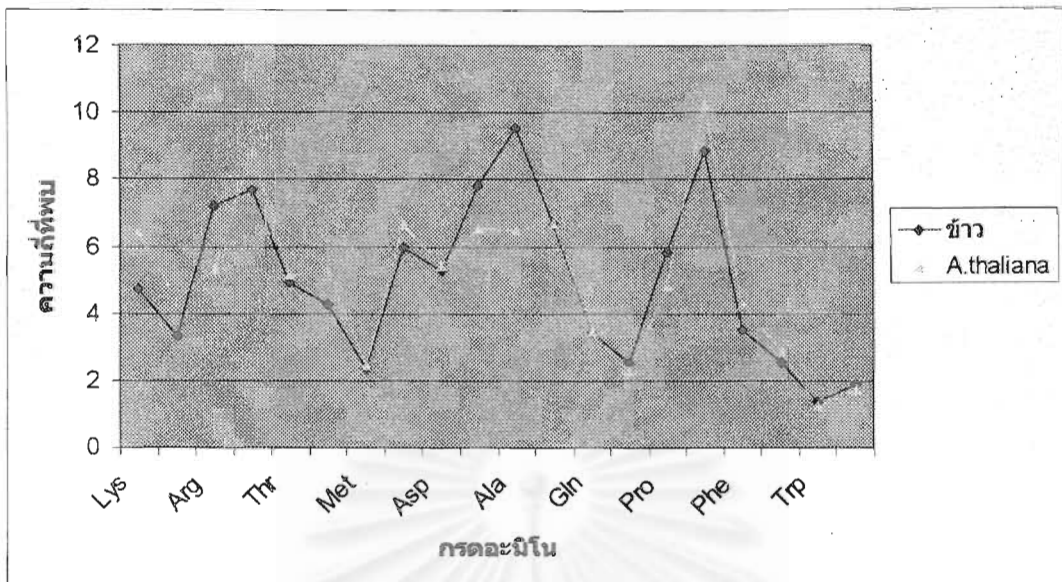
รูปที่ 4.15 เปรียบเทียบการพบรดอะมิโนในเยื่อข้าวกับเยื่อบакทีเรีย E.coli



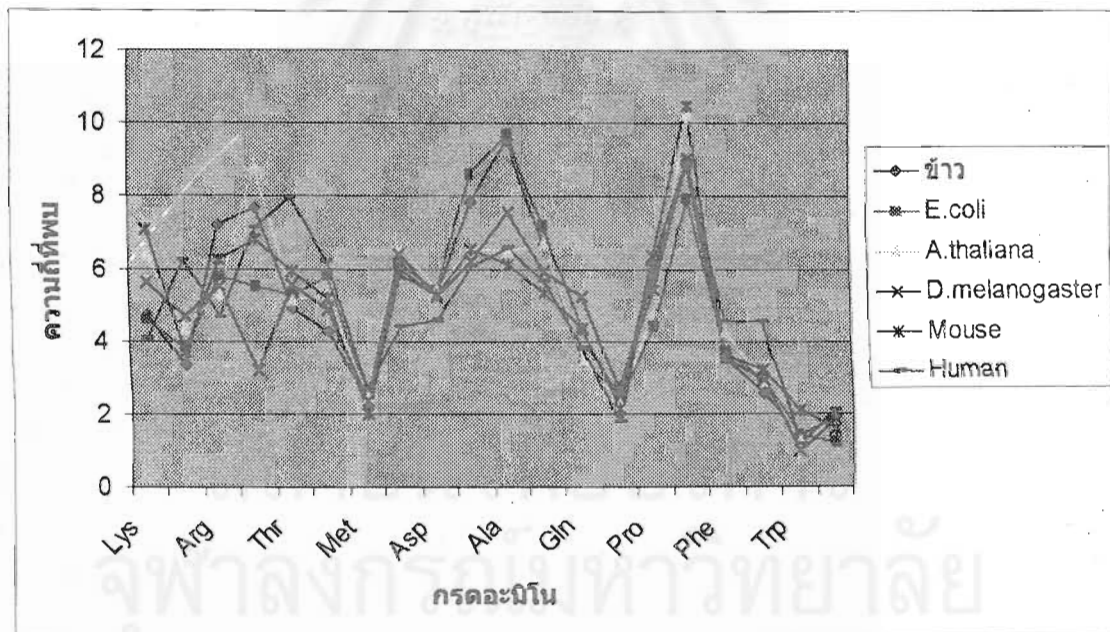
รูปที่ 4.16 เปรียบเทียบการพบรดคอามีโนในยีนข้าวกับยีนแมลงวันผลไม้



รูปที่ 4.17 เปรียบเทียบการพบรดคอามีโนในยีนข้าวกับยีนหนู



รูปที่ 4.18 เปรียบเทียบการพบรดอะมิโนในยีนข้าวกับยีนพืชขนาดเล็กชนิดหนึ่ง



รูปที่ 4.19 เปรียบเทียบการพบรดอะมิโนในยีนข้าวกับสิ่งมีชีวิตชนิดต่างๆ

กราฟในรูปที่ 4.19 แสดงการเปรียบเทียบการพบรดอะมิโนในยีนของสิ่งมีชีวิตชนิดต่างๆ เทียบกับที่พบในยีนข้าว จะพบว่ามีรดอะมิโนบางตัวที่สิ่งมีชีวิตส่วนใหญ่มีปริมาณการพบรดอะมิโนสูง เช่น รดอะมิโน histidine (Histidine) โพรลีน (Proline) ลิวซีน (Leucine) และไกล์เดียมกัน

ทริปโตเฟน (Tryptophan) และ ซิสทีน (Cystine) แต่เมื่อพิจารณาเข้าไปในส่วนของโคดอนที่ทำให้เกิดการตอบสนองเหล่านี้ พบร่วมกันในสิ่งมีชีวิตต่างชนิดกันก็จะมีอัตราการเกิดการตอบสนองโดยใช้โคดอนเดียวกันกันเลย เช่น กรดอะมิโนที่ชื่อโพรลีน ในยีนข้าวการตอบสนองในชนิดนี้ส่วนใหญ่จะเกิดจากโคดอน CCG (1.83 %) ส่วนในยีนมนุษย์นั้นกรดอะมิโนโพรลีนส่วนใหญ่มาจากโคดอน CCA (2.06 %) ส่วนในยีนแมลงวันผลไม้มีกรดอะมิโนโพรลีนส่วนใหญ่มาจากโคดอน CCC (1.8 %) และในยีนของพืชชนิด *A.thaliana* ส่วนใหญ่ได้มาจากโคดอน CCT (1.9 %) จะเห็นว่าการตอบสนองในชนิดเดียวกันแต่เกิดมาจากการโคดอนไม่เหมือนกันเลย

สำหรับแบคทีเรีย *E.coli* นั้นถึงแม้ว่าจะมีลักษณะการตอบกรดอะมิโนต่างๆ ใกล้เคียงกับยีนข้าว แต่จริงๆแล้วสิ่งมีชีวิตในประเภทแบคทีเรียนั้นมีความแตกต่างอย่างมากเมื่อเทียบกับสิ่งมีชีวิตอื่นๆ ที่นำมาเปรียบเทียบด้วย เนื่องจากจากสิ่งมีชีวิตที่นำมาเปรียบเทียบทั้งหมดนี้เป็นประเภททุกคริโอดทั้งหมดจึงมีเอกซอนและอินtronอยู่ภายใต้ยีน ในขณะที่แบคทีเรียนั้นเป็นสิ่งมีชีวิตประเภทโปรดักติโอด ดังนั้นภาษาในยีนของแบคทีเรียจึงไม่มีการแบ่งแยกเป็นเอกซอนและอินtron

### ผลการทดสอบโปรแกรม

ในการทดสอบโปรแกรม RGF จะใช้ข้อมูลทดสอบจำนวน 20 สายพันธุ์โลไทด์ ซึ่งรวมแล้วทั้งหมด 547 ยีน ที่เก็บจากฐานข้อมูล GenBank ซึ่งเป็นสายพันธุ์โลไทด์ข้าวที่ได้หายใจไว้แล้ว นำมาทดสอบหาค่า Sensitivity และค่า Specificity ผลที่ได้จากการทดสอบแสดงดังตารางที่ 4.2

**สรุปผลการทดสอบโปรแกรม RGF**

| ค่า         | ค่าเฉลี่ย (%) | ค่ามาตรฐาน (%) |
|-------------|---------------|----------------|
| Sensitivity | 95.0          | ± 1.0          |
| Specificity | 99.0          | ± 0.5          |
| ค่า F1      | 97.0          | ± 0.5          |

ตารางที่ 4.2 ผลการทดสอบโปรแกรม

| สายนิวคลีโอไทด์ข้าว | ขนาด     | จำนวนยืนยัน | ค่า Sensitivity | ค่า Specificity |
|---------------------|----------|-------------|-----------------|-----------------|
| AP002865            | 139399   | 31          | 0.817           | 0.876           |
| AP002866            | 169232   | 36          | 0.685           | 0.864           |
| AP002867            | 146480   | 31          | 0.774           | 0.827           |
| AP002870            | 122412   | 23          | 0.620           | 0.715           |
| AP002818            | 146807   | 26          | 0.794           | 0.769           |
| AP002537            | 142405   | 30          | 0.747           | 0.751           |
| AP002863            | 193666   | 31          | 0.769           | 0.813           |
| AP002843            | 150984   | 29          | 0.648           | 0.707           |
| AP002862            | 148117   | 28          | 0.805           | 0.851           |
| AP002913            | 143985   | 25          | 0.706           | 0.712           |
| AP002744            | 156160   | 36          | 0.741           | 0.795           |
| AP002881            | 111135   | 20          | 0.836           | 0.800           |
| AP003053            | 58769    | 15          | 0.833           | 0.862           |
| AP002871            | 145481   | 31          | 0.811           | 0.846           |
| AP002524            | 158750   | 27          | 0.802           | 0.819           |
| AP002872            | 159453   | 32          | 0.795           | 0.806           |
| AP002899            | 145859   | 31          | 0.772           | 0.886           |
| AP002909            | 143646   | 29          | 0.809           | 0.832           |
| AP002953            | 164586   | 24          | 0.855           | 0.896           |
| AP003315            | 148266   | 22          | 0.873           | 0.771           |
| เฉลี่ย              | 144779.6 | 27.35       | 0.775           | 0.810           |

โดยสรุปผลทดสอบโดยเฉลี่ยของโปรแกรม RGF จะได้ค่า Sensitivity ประมาณ 0.775 และ ค่า Specificity ประมาณ 0.81 สำหรับการเปรียบเทียบโปรแกรมค้นหาเชิงอัตโนมัติในการหาเชิงในสายนิวคลีโอไทด์ข้าวจะได้ค่า Sensitivity และ ค่า Specificity ดังแสดงในตารางที่ 4.3

ตารางที่ 4.3 ผลการนำโปรแกรมหาน้ำยีนตัวอื่นมาทดสอบหาอยู่ในสายนิวคลีโอไทด์ข้าว

| โปรแกรม  | ค่า Sensitivity | ค่า Specificity |
|----------|-----------------|-----------------|
| Glimmer  | 0.624           | 0.622           |
| GeneMark | 0.534           | 0.701           |
| Geneld   | 0.492           | 0.691           |
| RGF      | 0.775           | 0.810           |

ตารางที่ 4.3 เป็นการนำเอาโปรแกรมค้นหาอยู่ในสายนิวคลีโอไทด์ข้าว ซึ่งโปรแกรมที่นำมาทดสอบนั้นเป็นโปรแกรมที่นำข้อมูลสายนิวคลีโอไทด์ที่ไม่ใช่สายนิวคลีโอไทด์ข้าวมาเป็นข้อมูลในการสอนโปรแกรม เช่น Glimmer นำข้อมูลของแบคทีเรีย *E.coli* และ ข้อมูลสายนิวคลีโอไทด์ของสิงมีชีวิตขนาดเล็ก เช่น หนู มาเป็นข้อมูลสอน โปรแกรม Geneld ใช้สายนิวคลีโอไทด์ของ แมลงวันผลไม้ชนิดหนึ่ง (สปีชีส์ *Drosophila melanogaster*) เป็นข้อมูลสอน เป็นต้น

จากการทดสอบกับสายนิวคลีโอไทด์ข้าวพบว่า โปรแกรม Glimmer ค้นหาอยู่ในสายนิวคลีโอไทด์ข้าวโดยหาจำนวนยืนได้มากกว่าจำนวนยืนจริงๆ เช่น ในสายนิวคลีโอไทด์ AP002865 มีจำนวน 31 ยืน แต่จากโปรแกรม Glimmer สามารถค้นหาอยู่ได้ทั้งหมด 59 ยืนทำให้ค่าทดสอบโปรแกรมมีผลต่าง ส่วนโปรแกรม GeneMark และ Geneld นั้นหาจำนวนยืนได้น้อยกว่าจำนวนยืนจริงๆ อีกทั้งยังหาເ็กร่องได้น้อยกว่าความเป็นจริงด้วย ซึ่งส่งผลให้ค่าทดสอบต่างเช่นกัน ในขณะที่โปรแกรมค้นหาอยู่ข้าว RGF นั้นจะสามารถหาอยู่ได้ใกล้เคียงกับยืนจริง เช่น ในสายนิวคลีโอไทด์ AP002865 มีจำนวน 31 ยืน โปรแกรมจะหาได้ประมาณ 34 ยืน แต่ในส่วนของເ็กร่องภายในยืนนั้นจะหาได้ขนาดสั้นไปบ้าง หรือบางทีก็ยาวไปกว่าในยืนจริงๆ

## บทที่ 5

### สรุปผลการวิจัย

#### สรุปผลการวิจัย

งานวิจัยนี้มีจุดประสงค์เพื่อพัฒนาโปรแกรมที่ใช้ในการค้นหาในสายนิวคลีโอไทด์ข้าวโดยใช้วิธีมาร์คคอฟโมเดลลำดับที่ 5 โดยใช้เทคนิคของการค้นยืน 2 เทคนิค คือ วิธีนาบริเวณที่เกี่ยวข้องกับการควบคุมการแสดงออกของยีน (Search by Signal) และ วิธีนาคุณสมบัติทางสัตติของลำดับเบสในสายดีเอ็นเอ (Search by Content) จากการวิจัยสามารถสรุปผลการวิจัยได้ดังนี้

1. จากการหาค่าพารามิเตอร์ของบริเวณต่างๆที่เกี่ยวข้องกับการควบคุมการแสดงออกของยีน ทำให้ต้องเก็บข้อมูลความถี่ของการเกิดเบสต่างๆ รอบบริเวณจุดเริ่มต้น จุดสิ้นสุดของยีน คอร์เนอร์ และแอกเชพเตอร์ โดยการเก็บข้อมูลสายนิวคลีโอไทด์ที่ใช้เป็นข้อมูลสอน จากการเก็บข้อมูลเหล่านี้ทำให้สามารถหารูปแบบที่พบมาก(Consensus sequences)ของบริเวณต่างๆ ได้ดังนี้

1.1 บริเวณดอร์เนอร์ของยีนข้าว ส่วนมากจะมีลำดับเบสรอบๆ GT คือ AAGGTAAGT หรือ CAGGTAAAGT

1.2 บริเวณแอกเชพเตอร์ของยีนข้าวส่วนมากจะมีลำดับเบสรอบแอกเชพเตอร์ ลักษณะคือ TTTTTTTTTTTTTTTTTCAGGT

2. จากข้อมูลนิวคลีโอไทด์ข้าวที่ใช้เป็นข้อมูลสอนทำให้เรียนรู้ลักษณะเฉพาะบางประการของข้าว ดังนี้

2.1 ขนาดความยาวเฉลี่ยของเอ็กซอนในยีนข้าวประมาณ 219.9 คู่เบส

2.2 ขนาดความยาวเฉลี่ยของอินทรอนในยีนข้าวประมาณ 296.6 คู่เบส

2.3 อินทรอนที่มีขนาดสั้นที่สุดมีความยาวประมาณ 57 คู่เบส

2.4 ในอินทรอนโดยเฉลี่ยจะมี CG content ประมาณ 36.8 %

2.5 ในเอ็กซอนโดยเฉลี่ยจะมี CG content ประมาณ 55.5 %

3. โคดอนที่พบมากที่สุดในยีนข้าว คือ GAG ซึ่งใช้แปลงเป็นกรดอะมิโนกลูตามีน (Glutamine) โดยพบเป็นอัตราส่วนร้อยละ 3.93 จากยีนข้อมูลสอนทั้งหมด ส่วนโคดอนที่พบน้อยสุด มี 3 ตัว คือ TGA TAA และ TGA ซึ่งเป็นโคดอนที่ใช้ในการบอกรดสิ้นสุดของยีนข้าว

4. ผลการทดสอบโปรแกรมค้นหายีนข้าว RGF โดยนำมาทดสอบหาค่า Sensitivity และค่า Specificity ผลที่ได้จากการทดสอบได้ค่าโดยเฉลี่ยดังนี้ ค่า Sensitivity เท่ากับ 0.775 และ ค่า Specificity เท่ากับ 0.810 ซึ่งค่าทั้งสองนี้ใช้ในการทดสอบโปรแกรมค้นหายีน โดยทั่วไปค่าทั้งสองนี้ยิ่งมีใกล้เคียง 1 ยิ่งแสดงให้เห็นถึงประสิทธิภาพของโปรแกรมค้นหายีน

5. เมื่อเปรียบเทียบกับโปรแกรมค้นหายีนโปรแกรมอื่นๆ แล้ว โปรแกรมค้นหายีนข้าว RGF มีประสิทธิภาพในการค้นหายีนในสายนิวคลีโอไทด์ข้าวได้ดีกว่าโปรแกรมอื่น

### ปัญหาและข้อจำกัดที่ได้พบจากการวิจัย

1. เนื่องจากปัจจุบันข้อมูลสายนิวคลีโอไทด์ข้าวที่ทำการค้นหายีนไว้แล้วมีจำนวนไม่มากอีกทั้งข้อมูลที่มีอยู่ในฐานข้อมูล GenBank ก็ไม่สามารถนำมาใช้ได้ทั้งหมดเนื่องจากมีข้อมูลบางสายนิวคลีโอไทด์ที่มีข้อมูลพลาดเจิงไม่สามารถมาใช้เป็นข้อมูลสอนได้ ดังนั้นถ้าหากมีข้อมูลสอนจำนวนมากเท่าใด ก็ยังทำให้สามารถหา>yinได้ใกล้เคียงมากขึ้น

2. ในการหาค่าพารามิเตอร์ของบริเวณที่เกี่ยวข้องกับการควบคุมการแสดงออกของยีน (Search by signal) นั้น ในงานวิจัยนี้ได้นำเพียง 4 บริเวณพื้นฐาน เช่น จุดเริ่มต้นของยีน จุดสิ้นสุดของยีน คอร์เนอร์ และแอคเชฟเตอร์ เนื่องมาจากความจำกัดในความรู้ทางด้านชีวะไม่เลกุณของผู้วิจัย แต่ในความเป็นจริงแล้วในยีนยังมีบริเวณที่มีความสำคัญที่สามารถช่วยให้การค้นหายีนสามารถทำได้แม่นยำมากขึ้น เช่น บริเวณโปรไมเตอร์ บริเวณที่มีการเติม poly-A บริเวณที่มีลำดับเบสซ้ำ (Repetitive sequence) และ บริเวณ CpG Islands

3. การทำนายยีนยังมีข้อผิดพลาดอยู่ค่อนข้างมาก เนื่องจากมาร์คอฟโมเดลสามารถทำนายโดยอาศัยข้อมูลลำดับกรดอะมิโนในบริเวณใกล้เคียงเท่านั้น แต่ในธรรมชาติโครงสร้างของยีนอาจถูกบกวนโดยปฏิสัมพันธ์ระหว่างกรดอะมิโนที่อยู่ห่างไกลกันมากในสายปรตีน หรือแม้แต่กรดอะมิโนที่อยู่ในยีนอื่นด้วย

4. มาร์คอฟโมเดลยิ่งมีลำดับสูงขึ้นเท่าใดความแม่นยำจะมากขึ้น แต่ถ้ายิ่งเป็นโมเดลลำดับสูงขึ้นไปจำนวนของพารามิเตอร์ก็จะต้องเพิ่มมากขึ้น เช่น พารามิเตอร์ของดีเอ็นเอที่มีโมเดลลำดับที่  $n$  ก็จะต้องมีพารามิเตอร์ทั้งหมด  $4^{n+1}$  เป็นต้น ซึ่งทำให้จำเป็นต้องมีข้อมูลสอนจำนวนมาก

มากๆ แต่เนื่องจากความจำกัดในเรื่องของจำนวนของข้อมูลส่วนดังนั้นจึงเลือกใช้มาร์คอฟโมเดล ลำดับที่ 5 ซึ่งก็เป็นโมเดลลำดับที่ให้ผลลัพธ์น่าเชื่อถือ และใช้ปริมาณข้อมูลไม่ต้องมากเท่าใดนัก เมื่อเทียบกับมาร์คอฟโมเดลลำดับที่สูงขึ้นไป

### ข้อเสนอแนะ

1. หากาพารามิเตอร์ของบริเวณที่เกี่ยวข้องกับการควบคุมการแสดงออกของยีน (Search by signal) เพิ่ม เนื่องจากยังมีบริเวณที่สำคัญที่สามารถช่วยให้การค้นหายืนสามารถทำได้แม่นยำมากขึ้น เช่น บริเวณโปร์โนเมเตอร์ บริเวณที่มีการเติม poly-A บริเวณที่มีลำดับเบสซ้ำ (Repetitive sequence) หรือ บริเวณ CpG Islands
2. นำวิธีค้นหายืนอีกวิธีมาช่วยการค้นหายืน ซึ่งก็คือ วิธีการเทียบส่ายนิวคลีโอไทด์ในร่อง กับส่ายนิวคลีโอไทด์ที่รู้จักแล้วหรือส่ายนิวคลีโอไทด์ที่นาโนปรตีนได้แล้วซึ่งจะมาจากฐานข้อมูลปรตีน (Search by Sequence Similarity)
3. ทดลองนำหลักการอื่นๆ ทางคอมพิวเตอร์มาใช้ค้นหายืนข้าว เพื่อหาหลักการที่จะทำให้การค้นหายืนมีความถูกต้องยิ่งขึ้น

**สถาบันวิทยบริการ  
จุฬาลงกรณมหาวิทยาลัย**

## รายการอ้างอิง

### ภาษาอังกฤษ

Borodovsky, M. and McIninch, J. Genemark: Parallel gene recognition for both DNA strands. Compute. Chem. 17(1993) : 123-113.

Chen, T. and Zhang, M.Q. Pombe: A Gene-Finding and Exon-Intron Structure Prediction System For Fission Yeast. Yeast.14 (1998) :701-710.

Dash, D. and Gopalakrishnan, V. Modeling DNA Splice Regions by Learning Bayesian Networks. the Ninth International Conference on Intelligent Systems for Molecular Biology, February. 2001.

Durbin, R., Eddy S.R., Krogh, A. and Mitchison, G. Biological Sequence Analysis Probabilistic Models of proteins and nucleic acids. Cambridge university Press , 1998.

Parra, G., Blanco, E. and Guigo, R. GenoID in Drosophila. Genome Research. University Pompeu Fabra, 2000.

Rastogi, S.C. and Sharma, V.N. Concepts in Molecular Biology. Revised Edition. (n.p.) : New Age International, December 1995.

Reese, M.G., Hartzell, G., Harris, N.L., Ohler, U. and Lewis, S.E. Genome annotation assessment in Drosophila melanogaster. Genome Research, 2000.

Salzberg, S. L., Pertea, M., Delcher, A.L., Gardner, M.J. and Tettelin, H. Interpolated Markov models for eukaryotic gene finding. Genomics : 24-31,1999.

Wirth, A.I. A Plasmodium falciparum Genefinder. Department of Mathematics and Statistics, University of Melbourne, Parkville, 2000.

ภาคพนวก

สถาบันวิทยบริการ  
จุฬาลงกรณมหาวิทยาลัย

## ภาคผนวก ก

### ข้อมูลสอน (Training set)

| สายพันธุ์คลีโอทีเด็ร์ | ความยาว   |
|-----------------------|-----------|
| AP003018              | 142268 bp |
| AP003046              | 140952 bp |
| AP003074              | 150379 bp |
| AP003210              | 144404 bp |
| AP003311              | 175565 bp |
| AP003504              | 154298 bp |
| AP003256              | 170020 bp |
| AP003235              | 148892 bp |
| AP002540              | 167029 bp |
| AP003045              | 168253 bp |
| AP003103              | 132713 bp |
| AP003233              | 137879 bp |
| AP003075              | 155031 bp |
| AP003140              | 133242 bp |
| AP003076              | 161563 bp |
| AP003244              | 149610 bp |
| AP003263              | 190721 bp |
| AP003213              | 150022 bp |
| AP003793              | 151303 bp |
| AP003199              | 142320 bp |
| AP003204              | 156393 bp |
| AP003560              | 157987 bp |
| AP003337              | 112664 bp |
| AP003215              | 154137 bp |
| AP003255              | 161004 bp |

| สายนิวคลีโอไทด์ | ความยาว   |
|-----------------|-----------|
| AP003237        | 162776 bp |
| AP000815        | 142418 bp |
| AP000836        | 190014 bp |
| AP000837        | 151294 bp |
| AP000969        | 168655 bp |
| AP001072        | 145684 bp |
| AP001278        | 161266 bp |
| AP001366        | 146081 bp |
| AP001383        | 154378 bp |
| AP001551        | 151773 bp |
| AP001550        | 143209 bp |
| AP001859        | 150594 bp |
| AP001800        | 176935 bp |
| AP002092        | 176349 bp |
| AP002093        | 151806 bp |
| AP002094        | 148985 bp |
| AP002480        | 160769 bp |
| AP002483        | 167405 bp |
| AP002521        | 146335 bp |
| AP002522        | 163526 bp |
| AP002523        | 163095 bp |
| AP002525        | 139152 bp |
| AP002804        | 50487 bp  |
| AP002538        | 137462 bp |
| AP002835        | 147803 bp |
| AP002539        | 150150 bp |
| AP002860        | 134673 bp |
| AP002868        | 141079 bp |
| AP002869        | 158723 bp |

| สายนิวคลีโอไทด์ | ความยาว   |
|-----------------|-----------|
| AP002861        | 134967 bp |
| AP002747        | 147857 bp |
| AP003106        | 166421 bp |
| AP003144        | 136351 bp |
| AP002902        | 159242 bp |
| AP003047        | 141983 bp |
| AP002970        | 139201 bp |
| AP003105        | 158815 bp |
| AP002897        | 156425 bp |
| AP002971        | 152396 bp |
| AP002914        | 167587 bp |
| AP003020        | 159749 bp |
| AP003021        | 168258 bp |
| AP003275        | 167230 bp |
| AP003277        | 173555 bp |
| AP003023        | 132470 bp |
| AP003578        | 138376 bp |
| AP002541        | 145576 bp |
| AP002972        | 161290 bp |
| AP003294        | 141476 bp |
| AP003143        | 140229 bp |
| AP003417        | 146812 bp |
| AP003282        | 135295 bp |
| AP003285        | 162853 bp |
| AP000816        | 59843 bp  |
| AP002746        | 168372 bp |
| AP001073        | 152237 bp |
| AP001080        | 151369 bp |
| AP002839        | 143969 bp |

| สายพันธุ์สีไอ้ไทย | ความยาว   |
|-------------------|-----------|
| AP001081          | 140812 bp |
| AP001633          | 175072 bp |
| AP002070          | 170402 bp |
| AP002836          | 146921 bp |
| AP002484          | 137174 bp |
| AP002819          | 154561 bp |
| AP002817          | 140825 bp |
| AP002486          | 149699 bp |
| AP002487          | 78600 bp  |
| AP002816          | 158133 bp |
| AP002526          | 143515 bp |
| AP002910          | 172003 bp |
| AP003073          | 172541 bp |
| AP003048          | 157201 bp |
| AP003492          | 158084 bp |
| 10A191            | 99587 bp  |
| AP000492          | 147174 bp |
| AP000570          | 157903 bp |
| AP001539          | 168976 bp |
| AP002481          | 141111 bp |
| AP002482          | 187835 bp |
| AP002743          | 179714 bp |
| AP002820          | 137332 bp |
| AC069158          | 155154 bp |
| AP000366          | 35064 bp  |
| AP000367          | 126038 bp |
| AC079830          | 129655 bp |
| AC082644          | 158714 bp |
| AY013245          | 50000 bp  |

| สายนิวคลีโอไทด์ | ความยาว   |
|-----------------|-----------|
| AC084319        | 152883 bp |
| AC079736        | 135932 bp |
| AC084320        | 178161 bp |
| AC087851        | 111882 bp |
| AC079887        | 168761 bp |
| AC082645        | 143681 bp |
| AC084406        | 140044 bp |
| AC079853        | 152423 bp |
| AC087181        | 142711 bp |
| AC084404        | 156929 bp |
| AC087797        | 122497 bp |
| AC084831        | 167288 bp |
| AC084295        | 89172 bp  |
| AC084282        | 128017 bp |
| AC087852        | 149375 bp |
| AC084380        | 126164 bp |
| AC084767        | 163580 bp |
| AC091123        | 129778 bp |
| AC091247        | 115393 bp |
| AP000615        | 154128 bp |
| AC090485        | 159636 bp |
| H0212B02        | 118969 bp |
| H0423H10        | 76529 bp  |
| H0806H05        | 102515 bp |
| H0811E11        | 59348 bp  |
| AC051634        | 135789 bp |
| AC016781        | 151269 bp |
| AC026758        | 144798 bp |
| AC068924        | 152172 bp |

| สายพันธุ์อีโคไทยด์ | ความยาว   |
|--------------------|-----------|
| AC023240           | 131983 bp |
| AC073867           | 82909 bp  |
| AC037425           | 134058 bp |
| AC051633           | 138825 bp |
| AC078840           | 130059 bp |
| AC069145           | 135216 bp |
| AC026815           | 147452 bp |
| AC074283           | 156654 bp |
| AC069324           | 174752 bp |
| AC073166           | 142114 bp |
| AC018727           | 139999 bp |
| AC060755           | 172427 bp |
| AC021891           | 144593 bp |
| AC079685           | 131599 bp |
| AC084763           | 141307 bp |
| AC079936           | 143163 bp |
| AC078829           | 163278 bp |
| AC037426           | 135509 bp |
| AC022352           | 139398 bp |
| AC024594           | 178692 bp |
| AC025783           | 178024 bp |
| AC022457           | 162614 bp |
| AC079128           | 151163 bp |
| AC078891           | 109198 bp |
| AC079890           | 132927 bp |
| AC025296           | 165394 bp |
| AC079029           | 137613 bp |
| AC020666           | 158550 bp |
| AC034258           | 117157 bp |

| สายนิวคลีโอไทด์ | ความยาว   |
|-----------------|-----------|
| AC078944        | 164679 bp |
| AC079634        | 161250 bp |
| AC090487        | 63206 bp  |
| AC069300        | 147117 bp |
| AC051624        | 148263 bp |
| AC074354        | 146391 bp |
| AC074105        | 146836 bp |
| AC084884        | 134553 bp |
| AC079632        | 142381 bp |
| AC079037        | 157450 bp |
| AC091238        | 127068 bp |
| AC021893        | 151343 bp |
| AC091734        | 155843 bp |
| AC087192        | 113606 bp |
| AC090483        | 145417 bp |
| AC090441        | 139468 bp |
| AC091665        | 118101 bp |
| AF128457        | 70311 bp  |
| AC025098        | 151359 bp |
| AC037197        | 141017 bp |
| H0711G06        | 148608 bp |
| OSA243961       | 74658 bp  |
| OSA245900       | 124321 bp |
| OSB6015         | 131287 bp |
| OST17804        | 123337 bp |
| AP003044        | 152941 bp |
| AP002542        | 156266 bp |
| AB023482        | 156054 bp |
| AB026295        | 170371 bp |

| สายนิวคลีโอไทด์ | ความยาว   |
|-----------------|-----------|
| AP000391        | 155634 bp |
| AP000399        | 154180 bp |
| AF149806        | 33178 bp  |
| AC084218        | 164899 bp |
| AC079022        | 151589 bp |
| AC087551        | 145012 bp |
| AF111709        | 52684 bp  |
| AF111710        | 43422 bp  |
| AC079038        | 129838 bp |
| AP000364        | 137354 bp |
| AC078839        | 168192 bp |
| AC083945        | 147706 bp |
| AC080019        | 149654 bp |
| AF119222        | 77605 bp  |
| AP003414        | 158174 bp |
| AP003610        | 141966 bp |
| AP002069        | 151978 bp |
| AP001552        | 150120 bp |
| AP001389        | 157519 bp |

สถาบันวทยบรการ  
จุฬาลงกรณ์มหาวิทยาลัย

## ภาคผนวก ข

**ข้อมูลความถี่ของแบบสอบถามริเวณต่างๆ และเมตริกชั้นนำหัก**

| ตำแหน่ง | A     | C     | G     | T     |
|---------|-------|-------|-------|-------|
| -8      | 28.27 | 25.74 | 20.67 | 25.32 |
| -7      | 25.32 | 24.47 | 26.58 | 23.63 |
| -6      | 27.85 | 20.25 | 35.86 | 18.03 |
| -5      | 21.94 | 36.71 | 22.78 | 18.56 |
| -4      | 27.43 | 25.31 | 29.53 | 17.72 |
| -3      | 32.91 | 12.65 | 38.82 | 15.61 |
| -2      | 26.58 | 38.81 | 17.30 | 17.30 |
| -1      | 16.03 | 46.84 | 27.43 | 9.70  |
| 0       | 100   | 0     | 0     | 0     |
| 1       | 0     | 0     | 0     | 100   |
| 2       | 0     | 0     | 100   | 0     |
| 3       | 18.99 | 16.88 | 56.96 | 7.17  |
| 4       | 24.89 | 38.82 | 21.52 | 14.77 |
| 5       | 14.77 | 23.20 | 42.62 | 19.41 |

ตารางที่ ข.1 ความถี่ของการพูดแบบรุจุดเดียวต้นของยืน

| ตำแหน่ง | A       | C       | G      | T       |
|---------|---------|---------|--------|---------|
| -8      | -0.134  | 0.446   | 0.0512 | -0.2504 |
| -7      | -0.128  | 0.3383  | 0.1529 | -0.298  |
| -6      | -0.158  | 0.1     | 0.7525 | -0.8417 |
| -5      | -0.339  | 0.836   | 0.249  | -0.808  |
| -4      | -0.0718 | 0.443   | 0.1424 | -0.5415 |
| -3      | 0.1525  | -0.6024 | 0.8855 | -0.95   |
| -2      | -0.34   | 0.9239  | -0.165 | -0.614  |
| -1      | -0.63   | 0.87    | 0.043  | -1.24   |
| 0       | 0       | -9999   | -9999  | -9999   |
| 1       | -9999   | -9999   | -9999  | 0       |
| 2       | -9999   | -9999   | 0      | -9999   |
| 3       | -0.597  | -0.2315 | 1.2918 | -1.974  |
| 4       | -0.358  | 0.9435  | 0.1222 | -0.93   |
| 5       | -0.869  | 0.2999  | 0.7014 | -0.526  |

ตารางที่ ข.2 เมตริกซ์นำหนักของจุดเริ่มต้นของปืน

จุฬาลงกรณ์มหาวิทยาลัย

| ตำแหน่ง | A     | C     | G     | T     |
|---------|-------|-------|-------|-------|
| -5      | 29.38 | 24.29 | 20.90 | 25.42 |
| -4      | 21.47 | 28.25 | 25.42 | 24.86 |
| -3      | 24.86 | 15.82 | 39.55 | 19.77 |
| -2      | 25.42 | 28.81 | 20.90 | 24.86 |
| -1      | 20.90 | 31.64 | 23.73 | 23.73 |
| 0       | 0     | 0     | 0     | 100   |
| 1       | 53.67 | 0     | 46.33 | 0     |
| 2       | 67.23 | 0     | 32.77 | 0     |
| 3       | 25.42 | 19.21 | 26.55 | 28.81 |

ตารางที่ ข.3 ความถี่ของการพับแบบจุดสิ้นสุดของยีน

| ตำแหน่ง | A       | C      | G       | T       |
|---------|---------|--------|---------|---------|
| -5      | -0.1448 | 0.475  | 0.0109  | -0.2045 |
| -4      | -0.5248 | 0.5511 | 0.4437  | -0.325  |
| -3      | -0.395  | -0.147 | 1.1138  | -0.6725 |
| -2      | -0.306  | 0.8477 | -0.1146 | -0.267  |
| -1      | -0.59   | 0.6928 | 0.2716  | -0.304  |
| 0       | -9999   | -9999  | -9999   | 0       |
| 1       | -0.303  | -9999  | 0.4556  | -9999   |
| 2       | -0.123  | -9999  | 0.291   | -9999   |
| 3       | -0.315  | 0.211  | 0.4808  | -0.182  |

ตารางที่ ข.4 เมตริกซ์นำหนักของจุดสิ้นสุดของยีน

| ตำแหน่ง | A     | C     | G     | T     |
|---------|-------|-------|-------|-------|
| -3      | 36.73 | 34.07 | 20.35 | 8.85  |
| -2      | 61.50 | 9.73  | 11.50 | 17.26 |
| -1      | 7.96  | 5.75  | 80.53 | 5.75  |
| 0       | 0     | 0     | 100   | 0     |
| 1       | 0     | 0     | 0     | 100   |
| 2       | 52.65 | 9.73  | 26.11 | 11.50 |
| 3       | 44.69 | 20.80 | 15.49 | 19.03 |
| 4       | 15.04 | 12.39 | 54.42 | 18.14 |
| 5       | 18.14 | 25.66 | 16.37 | 39.82 |

ตารางที่ ข.5 ความถี่ของการพบเบสราบดอร์เนอร์

| ตำแหน่ง | A       | C       | G       | T       |
|---------|---------|---------|---------|---------|
| -3      | 0.4746  | 0.5787  | -0.1973 | -1.6316 |
| -2      | 1.0703  | -1.097  | -0.698  | -0.855  |
| -1      | -1.708  | -1.382  | 1.835   | -2.6619 |
| 0       | -9999   | -9999   | 0       | -9999   |
| 1       | -9999   | -9999   | -9999   | 0       |
| 2       | 1.294   | -1.105  | -0.2    | -1.262  |
| 3       | 0.829   | -0.0846 | -0.651  | -0.5815 |
| 4       | -0.8537 | -0.7774 | 1.4019  | -0.772  |
| 5       | -0.6203 | 0.277   | -0.3832 | 0.4289  |

ตารางที่ ข.6 เมตริกซ์นำหน้าของดอร์เนอร์

| ตัวแหน่ง | A     | C     | G     | T     |
|----------|-------|-------|-------|-------|
| -22      | 26.97 | 20    | 16.06 | 36.97 |
| -21      | 26.97 | 20.61 | 13.94 | 38.48 |
| -20      | 27.27 | 16.67 | 13.94 | 42.12 |
| -19      | 24.24 | 21.21 | 16.67 | 37.88 |
| -18      | 26.36 | 21.82 | 12.12 | 39.69 |
| -17      | 20.91 | 22.73 | 14.85 | 41.52 |
| -16      | 21.82 | 20    | 12.42 | 45.76 |
| -15      | 19.39 | 23.94 | 15.76 | 40.91 |
| -14      | 18.18 | 20.91 | 14.24 | 46.67 |
| -13      | 18.48 | 20.91 | 14.85 | 45.76 |
| -12      | 16.36 | 22.73 | 16.36 | 44.55 |
| -11      | 19.69 | 23.94 | 11.52 | 44.85 |
| -10      | 17.58 | 23.33 | 12.73 | 46.36 |
| -9       | 20.30 | 25.45 | 15.15 | 39.09 |
| -8       | 16.36 | 20.61 | 16.97 | 46.06 |
| -7       | 20.91 | 20.61 | 12.42 | 46.06 |
| -6       | 18.18 | 24.85 | 12.42 | 44.55 |
| -5       | 16.67 | 16.36 | 10.61 | 56.36 |
| -4       | 22.12 | 19.39 | 32.73 | 25.76 |
| -3       | 10.30 | 60.91 | 1.52  | 27.27 |
| -2       | 100   | 0     | 0     | 0     |
| -1       | 0     | 0     | 100   | 0     |
| 0        | 22.12 | 15.45 | 46.67 | 15.76 |
| 1        | 22.73 | 20    | 17.88 | 39.40 |

ตารางที่ ข.7 ความถี่ของกิจกรรมแบบสรอบแคลเซปเตอร์

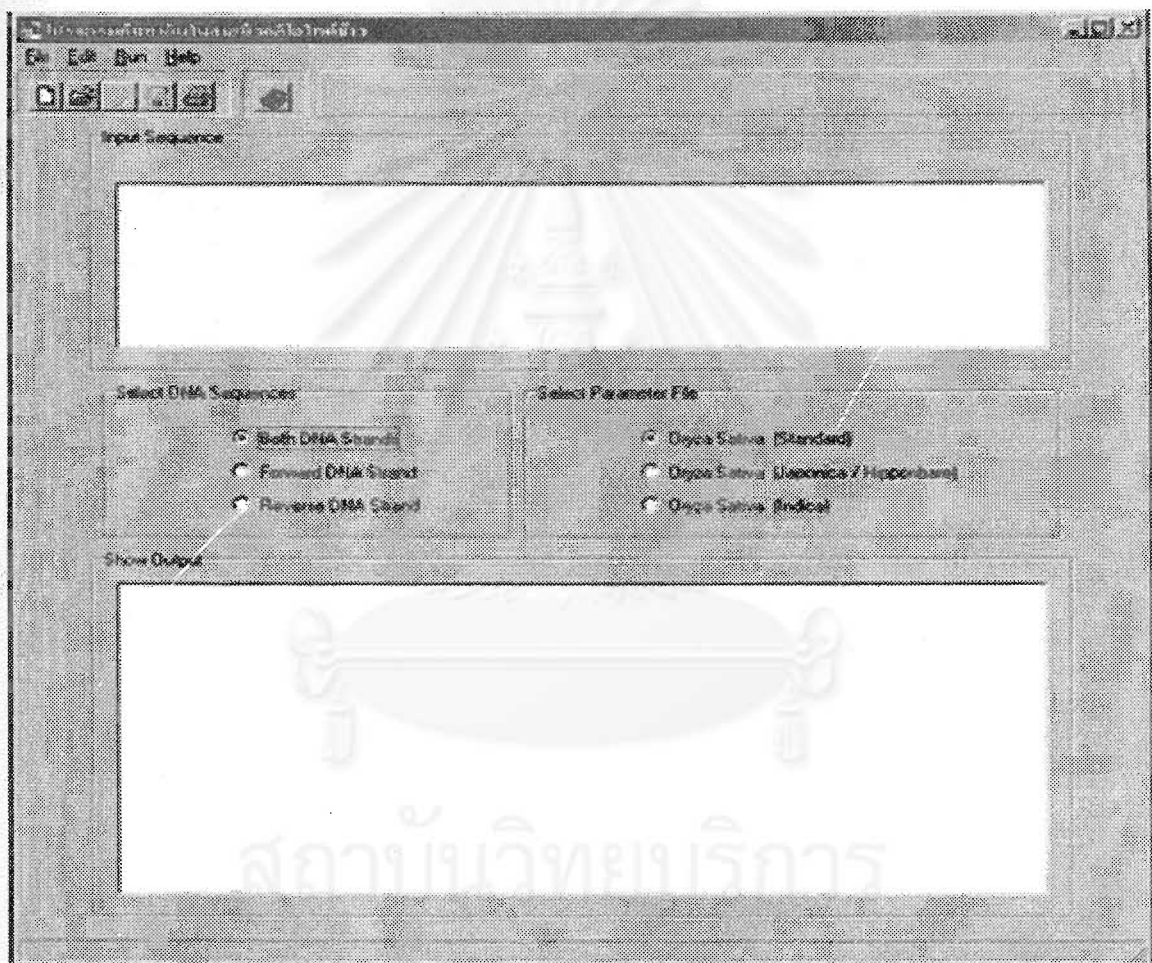
| ตำแหน่ง | A       | C       | G       | T       |
|---------|---------|---------|---------|---------|
| -22     | 0.0504  | -0.1458 | -0.4734 | 0.324   |
| -21     | -0.114  | 0.1186  | -0.5208 | 0.274   |
| -20     | -0.0812 | -0.1744 | -0.6159 | 0.4433  |
| -19     | -0.2806 | -0.0159 | 0.263   | 0.38    |
| -18     | -0.1386 | 0.0536  | -0.7648 | 0.4351  |
| -17     | -0.4213 | 0.228   | -0.5588 | 0.4343  |
| -16     | -0.3333 | 0.01233 | -0.7051 | 0.4968  |
| -15     | -0.6067 | 0.4011  | -0.3683 | 0.3543  |
| -14     | -0.7963 | 0.058   | -0.5963 | 0.7997  |
| -13     | -0.638  | 0.2264  | -0.635  | 0.595   |
| -12     | -0.8928 | 0.21545 | -0.3259 | 0.593   |
| -11     | -0.5884 | 0.5434  | -1.0074 | 0.5417  |
| -10     | -0.7022 | 0.11591 | -0.6521 | 0.6342  |
| -9      | -0.6678 | 0.51708 | -0.4607 | 0.4255  |
| -8      | -0.8724 | 0.1122  | -0.3321 | 0.6371  |
| -7      | -0.5106 | 0.2401  | -0.8216 | 0.5802  |
| -6      | -0.8232 | 0.4017  | -0.8103 | 0.7098  |
| -5      | -0.7959 | -0.0712 | -1.1471 | 0.8915  |
| -4      | -0.5094 | 0.0183  | 0.5155  | -0.0393 |
| -3      | -1.5602 | 1.6953  | -3.9956 | 0.0339  |
| -2      | 0       | -9999   | -9999   | -9999   |
| -1      | -9999   | -9999   | 0       | -9999   |
| 0       | -0.4043 | -0.3283 | 0.9543  | -0.7894 |
| 1       | -0.524  | 0.2766  | -0.1679 | 0.3586  |

ตารางที่ ข.8 เมตริกซ์นำหน้าของแอคเชปเตอร์

## ภาคผนวก ๑

### โปรแกรมค้นหาycinข้าว

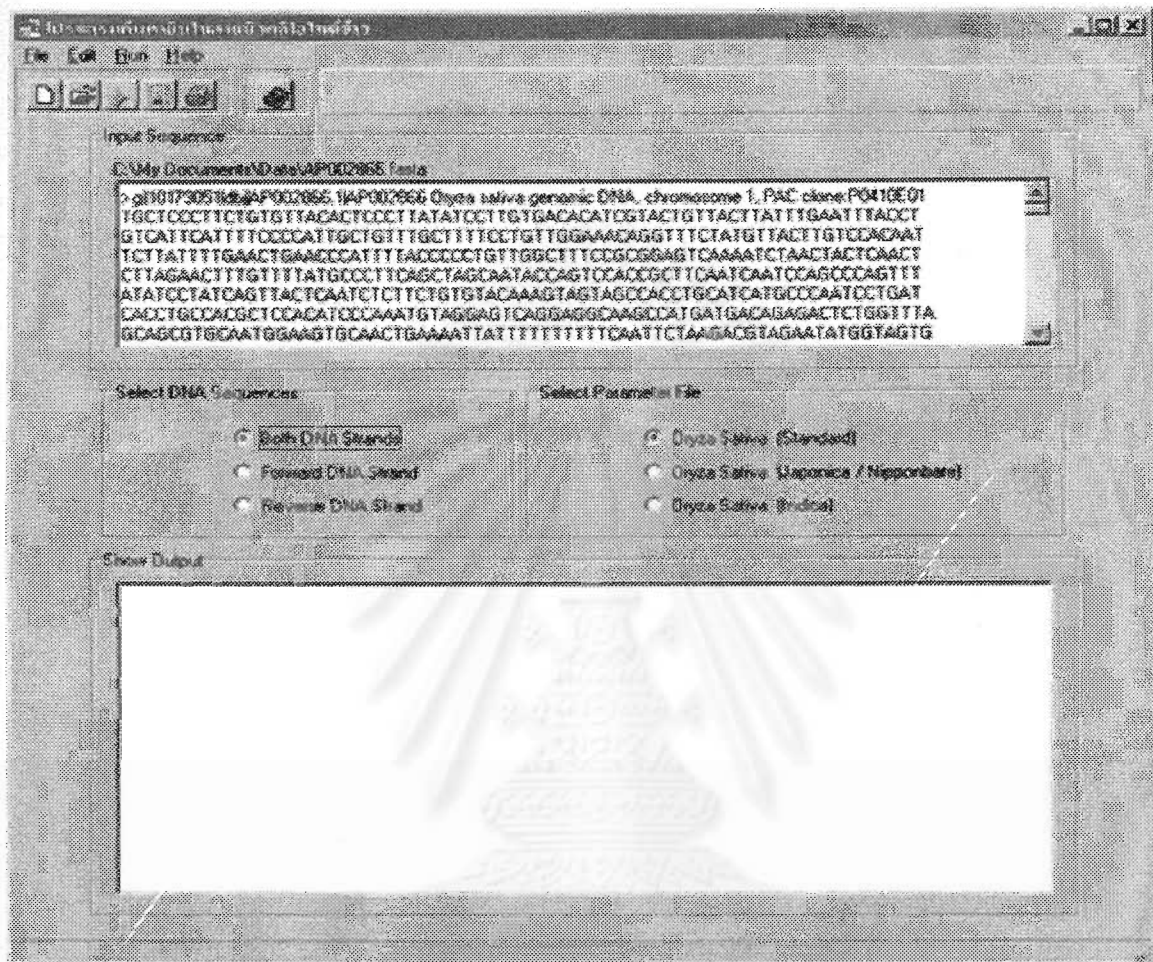
เมื่อเปิดโปรแกรมค้นหาycinข้าวขึ้นมาจะมีลักษณะส่วนติดต่อกับผู้ใช้ ดังรูปที่ ค.1 โดยโปรแกรมจะประกอบด้วยส่วนหลักๆ 3 ส่วน คือ ส่วนแสดงข้อมูลนำเข้า ส่วนแสดงผลลัพธ์ และ ส่วนเมนูต่างๆ



รูปที่ ค.1 โปรแกรมค้นหาycinข้าว

โปรแกรมนี้จะรับไฟล์ข้อมูลนำเข้าที่อยู่ในรูปแบบ FASTA เท่านั้น (\*.FASTA, \*.FAS) เมื่อต้องการค้นหาycinในสายนิวคลีโ Ikeda ให้เลือกที่เมนู File และเลือก Open Sequence File หรือเลือกรูป Open File ที่ ทูลบาร์ จากนั้นจะมีไดอะล็อกบ็อกซ์ (Dialog Box) ขึ้นมาให้เลือกไฟล์ข้อมูลสายนิวคลีโ Ikeda เมื่อเลือกข้อมูลสายนิวคลีโ Ikeda ที่ต้องการหาycinแล้ว ข้อมูลจะถูกแสดงทางส่วน

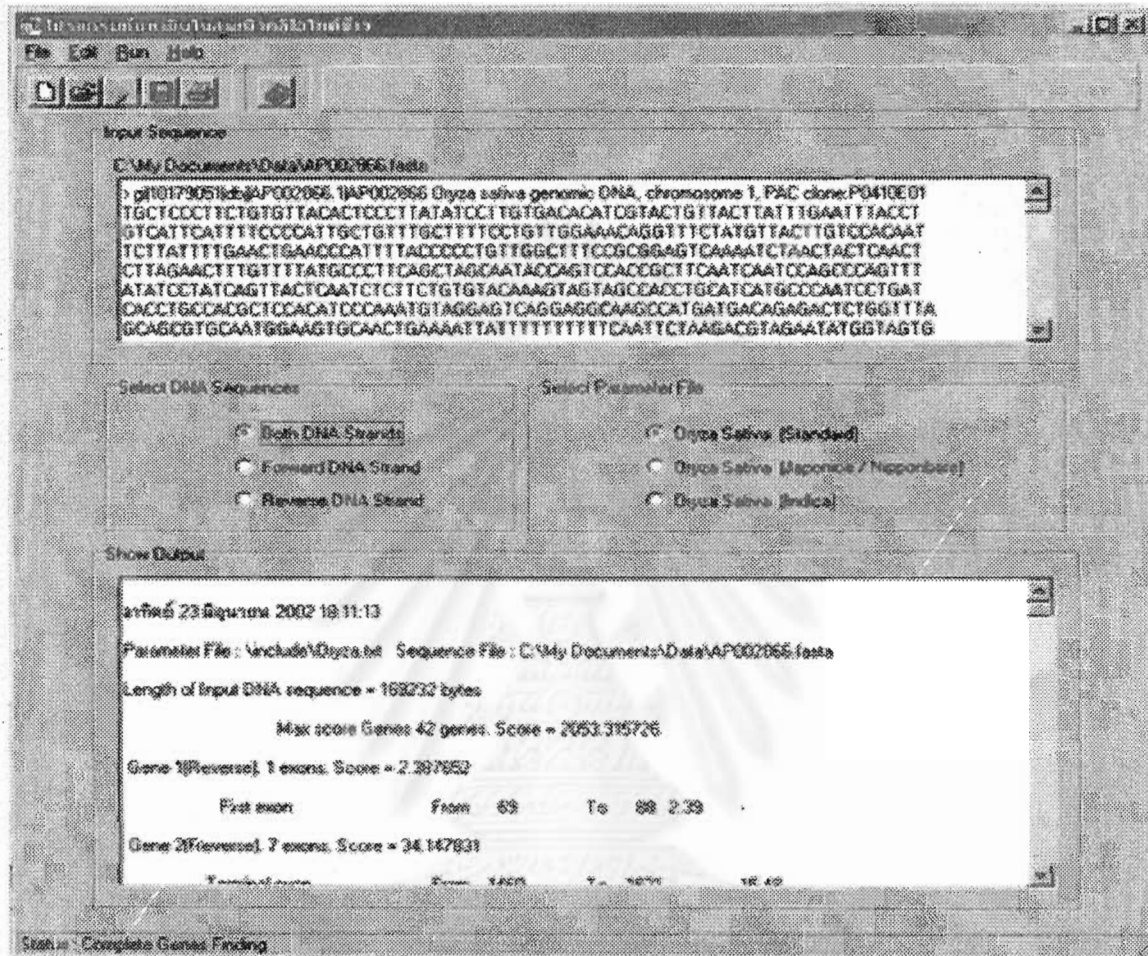
Input Sequence ดังรูป ค.2 และเมื่อเลือกสายนิวคลีโอไทด์แล้วโปรแกรมจะสามารถสั่งรันโปรแกรมได้



### รูปที่ ค.2 การนำข้อมูลเข้าสู่โปรแกรม

เมื่อเลือกข้อมูลเข้าได้แล้ว จะนั่นให้เลือกสายดีเอ็นเอที่ต้องการหายืน โดยเลือกที่ส่วน Select DNA sequence ซึ่งโดยปกติโปรแกรมจะเลือกไว้ให้แล้วทั้งสองสายคือ สายปฏิ (Forward Strand) กับ สายตรงข้าม (Complementary strand) ด้วย แต่หากต้องการเปลี่ยนก็สามารถเลือกได้ว่าต้องการหายืนในสายดีเอ็นเอน้ำดี จากนั้นให้เลือกพารามิเตอร์ที่ต้องการใช้ โดยจะมีให้เลือกสามไฟล์พารามิเตอร์ แต่เมื่อเริ่มเปิดโปรแกรมขึ้นมา โปรแกรมจะเลือกพารามิเตอร์มาตรฐาน(Standard)ไว้ให้แล้ว ไฟล์พารามิเตอร์มาตรฐานนั้นเกิดจากการสอนด้วยข้อมูลจากทุกสายนิวคลีโอไทด์ในกลุ่มข้อมูลสอน แต่หากต้องการเปลี่ยนไฟล์พารามิเตอร์ก็สามารถทำได้ และสิ่งให้โปรแกรมทำงานโดยเลือก เมนู Run และเลือก Run program ผลที่ได้จาก การหายืนจะแสดงที่ส่วน Show output ดังรูปที่ ค.3 ซึ่งหากต้องการเชฟข้อมูลเก็บไว้เป็นไฟล์ก็ให้

เลือกที่ file และเลือก save output หรือ เลือกที่ทูลบาร์ แต่หากต้องการพิมพ์ข้อมูลออกทางเครื่องพิมพ์ให้เลือก File และ เลือก print output หรือเลือกรูปเครื่องพิมพ์บนทูลบาร์แทนได้



### รูปที่ ค.3 การแสดงผลลัพธ์ของโปรแกรม

เมื่อต้องการเริ่มต้นการทำงานของโปรแกรมใหม่ โดยลบข้อมูลทั้งหมดที่แสดงอยู่ในโปรแกรมให้อยู่ในรูปแบบเหมือนเพิ่งเปิดโปรแกรมขึ้นมาใหม่ ทำได้โดยการเลือกที่ File และ Clear all หรือเลือกที่ทูลบาร์โดยเลือก New บนทูลบาร์

## ภาคผนวก ๔

### รูปแบบ FASTA (FASTA format)

รูปแบบ FASTA มีรูปแบบเป็นดังนี้

```
>gi|14090356|dbj|AP003233.3|AP003233 Oryza sativa genomic DNA, chromosome 1, PAC clone:P0037C04
TTACTTTGTTTCTTCGCCAATACCTCTGGACACAGGGCAAGTTAGACCCTATTAGATGGAC
TAAATCCCTATCATATCGAATGTTGGATACTAATTATAAAATTAAACGTGGACTATTAATAAACCCAT
TCTATAACCCAGAACTAATCGCGAGACGAATCTATTGAGCCTAATTAAATCAATGATTAGCCCATGTGAT
GCTACAGTAAACATACGCTAGTTATGGATTAATTAGGCTTAAAAAATTATCACGCGAATTAGCTTCTTA
TTATGTAATTAGTTTATAAAATAGTCTATGTTAATCTCCAAATTCCATCCGTTATGACATGGACTAA
GTTTAGTCTTGGATCCAAACTTATTCTCAAACITCAACTTTCCATCACATCAAAACTATCCTACAC
ACACAAAATTCAATTTCCTTCATATCGTTCTAACITCAACCCAAACTCTAATTAAACGTGAAC
AACACACCCACAGTACACATGGGAAAGAAGCTGGTTCCAGGGTTAAAGGTCTGCAC TGCAAGCGTTGGC
TGCGCTGGACAGAaaaaaaaaaaATGACCAACCAAAACCGAACTGAATTAAACAGAGACCGAGAAATTGAT
CATCAGTTGTGACTAATTGAATTAAACACTGTCTTTAAAACGAAATAACTGAGCTGACCGAATCGATGT
```

รูปที่ ๔.๑ ตัวอย่าง FASTA format

FASTA format เริ่มต้นโดยบรรทัดแรกจะมีเครื่องหมายมากกว่า (>) ตามด้วยคำบรรยายจำนวน 1 บรรทัด เรียกว่า FASTA definition line ซึ่งจะบอกเกี่ยวกับ Accession number หรือ GenBank Identifier และ Locus number ล้วนบรรทัดต่อไปเป็นลำดับซึ่งมีความกว้างไม่เกิน 80 คอลัมน์ (คือความตัวอักษรและช่องว่าง)

สำหรับอักษรย่อที่ใช้แทนนิวคลีโอไทด์หรือกรดอะมิโนต้องเป็นไปตามมาตรฐาน

IUB/IUPAC ดังนี้

นิวคลีโอไทด์ :

A แทน adenosine

M แทน A C (amino)

C แทน cytidine

S แทน G C (strong)

G แทน guanine

W แทน A T (weak)

T แทน thymidine

B แทน G T C

U แทน uridine

D แทน G A T

R แทน purine

H แทน A C T

|                  |                     |
|------------------|---------------------|
| Y ແກນ pyrimidine | V ແກນ G C A         |
| K ແກນ GT (keto)  | N ແກນ A G C T (any) |
| - ແກນ gap        |                     |

ກວດຂະໜົດໃນ:

|                               |                              |
|-------------------------------|------------------------------|
| A ແກນ alanine                 | P ແກນ proline                |
| B ແກນ aspartate or asparagine | Q ແກນ glutamine              |
| C ແກນ cystine                 | R ແກນ arginine               |
| D ແກນ aspartate               | S ແກນ serine                 |
| E ແກນ glutamate               | T ແກນ threonine              |
| F ແກນ phenylalanine           | U ແກນ selenocysteine         |
| G ແກນ glycine                 | V ແກນ valine                 |
| H ແກນ histidine               | W ແກນ tryptophan             |
| I ແກນ isoleucine              | Y ແກນ tyrosine               |
| K ແກນ lysine                  | Z ແກນ glutamate or glutamine |
| L ແກນ leucine                 | X ແກນ any                    |
| M ແກນ methionine              | * ແກນ translation stop       |
| N ແກນ asparagine              | - ແກນ gap of indeterminate   |

ສຕາບັນວິທຍບົງການ  
ຈຸ່າທຳລົງກາຮັມໜ້າວິທຍາລັ້ມ

## ประวัติผู้เปียนวิทยานิพนธ์

นางสาวปวีณา เลิศคำไฟพร เกิดวันที่ 12 เมษายน พ.ศ. 2522 ที่จังหวัดกรุงเทพมหานคร สำเร็จการศึกษาระดับปริญญาตรีสังคมศาสตรบัณฑิต สาขาเทคโนโลยีสารสนเทศเพื่อธุรกิจ คณะพาณิชยศาสตร์และการบัญชี จุฬาลงกรณ์มหาวิทยาลัย ในปีการศึกษา 2542 และเข้าศึกษาต่อในหลักสูตรวิทยาศาสตร์รัฐมนตรีบัณฑิต สาขาวิชาวิทยาศาสตร์คอมพิวเตอร์ คณะวิศวกรรมศาสตร์ จุฬาลงกรณ์มหาวิทยาลัย เมื่อ พ.ศ. 2543



**สถาบันวิทยบริการ  
จุฬาลงกรณ์มหาวิทยาลัย**